
**METODI
METODI I
METODI IT
METODI ITE
METODI ITER
METODI ITERA
METODI ITERAT
METODI ITERATI
METODI ITERATIV
METODI ITERATIVI**

per

SISTEMI LINEARI

Luigi Brugnano

Cecilia Magherini

In memoria di Cecilia

*Tutti gli avvenimenti sono concatenati
nel migliore dei mondi possibili: ...
– È giusto, rispose Candido, ma biso-
gna coltivare il nostro giardino.*

Voltaire, *Candido*.

Indice

Prefazione	v
Notazioni	vii
1 Introduzione e motivazioni	1
1.1 Matrici sparse	1
1.2 Un esempio	2
2 Nozioni preliminari	7
2.1 Norme indotte su matrice	7
2.2 Direzioni coniugate e norme indotte	9
2.3 Polinomi di matrici	11
2.4 Fattorizzazione LU di una matrice	13
2.5 Fattorizzazione QR di una matrice	14
2.6 Il problema dei minimi quadrati	17
2.7 M -matrici	20
2.8 Equazioni alle differenze lineari	23
2.9 Polinomi di Chebyshev	26
3 Metodi iterativi di base	29
3.1 I metodi di Jacobi, Gauss-Seidel e SOR	29
3.2 Splitting regolari di matrici	34
3.3 Generalizzazione a blocchi dei metodi	38
3.4 Il metodo semi-iterativo di Chebyshev	40
3.5 Il metodo SOR simmetrico (SSOR)	44
4 Il caso A sdp	47
4.1 Fattorizzazione $AU = UT$	47
4.2 Il metodo dei gradienti coniugati (GC)	50
4.3 Implementazione efficiente del metodo dei GC	54
4.4 Criteri di arresto	59

4.5	Velocità di convergenza del metodo dei GC	63
5	Precondizionamento	67
5.1	Fattorizzazione $CAU = UT$	67
5.2	Fattorizzazioni incomplete	71
5.3	Fattorizzazione incompleta di Cholesky	75
5.4	Fattorizzazione incompleta modificata	77
5.5	Generalizzazione a blocchi	79
5.6	Precondizionatori polinomiali	82
5.7	Dettagli implementativi	84
6	Il caso A simmetrica	91
6.1	Introduzione	91
6.2	Il metodo di Lanczos	92
6.3	MINRES	94
6.4	Implementazione efficiente di MINRES	97
7	Il caso A non simmetrica	103
7.1	Il metodo di Arnoldi	103
7.2	GMRES	105
7.3	Il metodo di Lanczos non simmetrico	110
7.4	I gradienti bi-coniugati (Bi-CG)	113
7.5	QMR	117
7.6	Implementazione alternativa del QMR	120
7.7	Bidiagonalizzazione	124
7.8	CGS	126
7.9	Bi-CGstab	131
A	Memorizzazione di matrici sparse	135
A.1	Memorizzazione compressa per righe	135
A.2	Memorizzazione compressa per colonne	136
A.3	Memorizzazione compressa per diagonali	137
	Bibliografia	139

Prefazione

Queste note intendono dare le nozioni di base riguardo ai metodi iterativi per la risoluzione di sistemi di equazioni lineari.

Il materiale presentato è sufficiente per un modulo di 40-45 ore di lezione. Inoltre, gli esercizi proposti possono essere argomento di ulteriori ore di esercitazione.

La trattazione, sebbene non esaustiva, ha comunque l'obiettivo di fornire, in un contesto il più possibile omogeneo ed autoconsistente, le idee principali che hanno ispirato le tecniche di risoluzione più note. Di queste ultime si daranno molti dettagli, sebbene l'aspetto implementativo non sarà, per brevità, approfondito.

Anche la bibliografia è ispirata da analoghi criteri: sono infatti riportate solo le fonti bibliografiche essenziali, dove i principi che hanno portato alla derivazione delle principali metodologie sono descritti. Nel fare questo, tuttavia, non vi sono pretese di esaustività. A questo riguardo, si sottolinea che alcuni dei testi riportati in bibliografia contengono riferimenti bibliografici molto più approfonditi.

Le note sono suddivise in 7 capitoli ed una appendice:

1. un breve capitolo introduttivo;
 2. un capitolo contenente le nozioni di base;
 3. un capitolo che illustra i metodi iterativi di base;
 4. un capitolo dedicato al caso di sistemi con matrici simmetriche e definite positive;
 5. un capitolo riguardante il preconditionamento di matrici simmetriche e definite positive;
 6. un capitolo dedicato al caso di sistemi con matrici solo simmetriche;
 7. un capitolo finale dedicato al caso di matrici nonsingolari generiche;
- A. una appendice riguardante la memorizzazione di matrici sparse.

Gli esempi riportati sono stati codificati in Matlab.

Ringraziamenti

Si ringraziano gli studenti del corso di Analisi Numerica della scuola estiva SMI 2002, Perugia, e quelli del corso di Analisi Numerica per Informatica, a.a. 2001/02, presso l'Università degli Studi di Firenze, per le loro osservazioni e gli utili commenti.

Edizione corretta

Questa è una versione delle note pubblicate da Pitagora Editrice Bologna nel 2003 (ISBN 88-371-1367-6) in cui si fissano alcuni errori nel testo, oltre ad apportare delle piccole modifiche.

Notazioni

- \mathbb{N} denota l'insieme dei numeri naturali;
- \mathbb{R} (\mathbb{C}) denota il campo reale (complesso);
- \mathbb{R}^+ , \mathbb{R}^- indicano la semiretta reale positiva e negativa, rispettivamente;
- \mathbb{R}^m è lo spazio vettoriale dei vettori reali di dimensione m ;
- $\mathbb{R}^{m \times n}$ è lo spazio vettoriale delle matrici reali $m \times n$;
- ∇f denota il gradiente di una funzione f ;
- \mathbf{v}^\top denota il trasposto del vettore \mathbf{v} , \mathbf{v}^* ne denota il trasposto e coniugato; simile notazione è utilizzata per le matrici;
- $\sigma(A)$ denota lo spettro della matrice quadrata A ;
- $\rho(A)$ denota il raggio spettrale di A , $\max_{\lambda \in \sigma(A)} |\lambda|$;
- $\text{rank}(A)$ denota il rango della matrice A ;
- $A \sim B$ denota che le due matrici (quadrate) A e B sono simili;
- Π_k denota lo spazio vettoriale dei polinomi a coefficienti reali di grado al più k ;
- Π'_k denota l'insieme dei polinomi monici a coefficienti reali di grado k ;
- $A \otimes B$ denota il prodotto di Kronecker, o tensoriale, delle matrici A e B . Se $A = (a_{ij})$, si ottiene la matrice a blocchi $A \otimes B = (a_{ij}B)$;
- I denota la matrice identità, le cui dimensioni sono deducibili dal contesto;
- I_N denota la matrice identità di dimensione $N \times N$;

- O denota la matrice nulla di dimensione opportuna deducibile dal contesto;
- $\mathbf{0}$ denota il vettore (colonna) nullo, di dimensione opportuna deducibile dal contesto;
- *sdp* è l'acronimo di (matrice) *simmetrica e definita positiva*;
- $\|\cdot\|$ indica la norma su vettore o, a seconda del contesto, quella indotta su matrice. Quando non altrimenti specificato, la norma è la norma 2;
- $\kappa(A)$ indica il numero di condizione della matrice A , $\|A\| \cdot \|A^{-1}\|$. Se non altrimenti specificato, la norma è la norma 2;
- E_i indica l' i -esimo versore in \mathbb{R}^n , dove la dimensione n dello spazio è deducibile dal contesto;
- $E_i^{(k)}$ indica l' i -esimo versore in \mathbb{R}^k ;
- $[\mathbf{u}_1, \dots, \mathbf{u}_k]$ denota il sottospazio generato dai vettori racchiusi tra parentesi. In altre parole, il *range*, $\text{ran}(U_k)$, della matrice U_k , avente per colonne i vettori $\{\mathbf{u}_i\}$;
- \leftarrow indica, nella descrizione degli algoritmi, la riscrittura del membro sinistro con il risultato del membro destro.
- *matvec*, *scal*, *axpy*: denotano, rispettivamente, il *prodotto matrice-vettore*, il *prodotto scalare* tra vettori, e l'operazione
“*vettore* \leftarrow *scalare* \times *vettore* + *vettore*”.

Capitolo 1

Introduzione e motivazioni

Ci occuperemo della risoluzione di sistemi lineari “sparsi”. In questo breve capitolo introduttivo introduciamo il concetto di matrice sparsa, dando una motivazione pratica per la trattazione successiva.

1.1 Matrici sparse

La risoluzione di molti problemi applicativi comporta la risoluzione di sistemi di equazioni lineari,

$$A\mathbf{x} = \mathbf{b}, \quad (1.1)$$

in cui $\mathbf{x}, \mathbf{b} \in \mathbb{R}^n$, e $A \in \mathbb{R}^{n \times n}$ è una matrice nonsingolare, avente la caratteristica aggiuntiva di essere *sparsa*. Queste caratteristiche di A saranno sempre assunte nel seguito.

Definizione 1.1 *Diremo che una matrice $n \times n$ è sparsa quando il numero dei suoi elementi non nulli è proporzionale ad n , invece che a n^2 .*

Per matrici sparse, esistono efficienti tecniche di memorizzazione che consentono di memorizzare, essenzialmente, solo gli elementi significativi della matrice (o poco più di questi). In tal modo, la occupazione di memoria, all'interno di un calcolatore, può essere notevolmente ridotta, rispetto alle canoniche n^2 celle di memoria richieste da una matrice piena di pari dimensioni. In tal caso, i metodi diretti di risoluzione, basati sul calcolo di opportune fattorizzazioni della matrice A , risultano essere in generale non convenienti, sia per quanto riguarda l'occupazione di memoria, che in termini di operazioni da effettuare.

Infatti, i fattori di una matrice sparsa sono difficilmente matrici sparse a loro volta. Pertanto, salvo casi particolari, essi necessitano di una occupazione di memoria molto più elevata, rispetto alla matrice originaria.

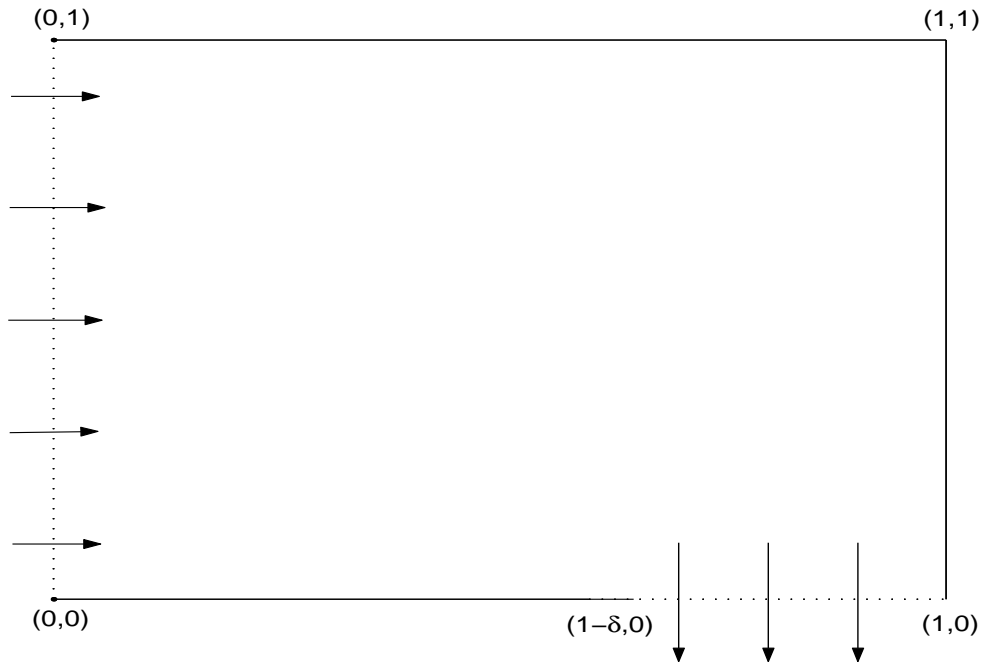


Figura 1.1: Flusso di un fluido in un mezzo poroso.

Inoltre, per quanto riguarda il costo computazionale, i metodi di fattorizzazione diretta richiedono generalmente un numero di operazioni proporzionale al cubo della dimensione di A , con un costo quindi molto elevato, anche per valori di n non eccessivamente grandi. D'altro canto, osserviamo che se A possiede $O(n)$ elementi significativi, allora il prodotto di A per un vettore può essere convenientemente formulato in modo da richiedere $O(n)$ operazioni.

1.2 Un esempio

Si consideri il flusso di un fluido incompressibile attraverso una cavità, contenente un mezzo poroso omogeneo, disposta parallelamente al livello di riferimento della gravità. Si considererà una sezione orizzontale della cavità. Supporremo inoltre che il fluido abbia raggiunto un regime di flusso stazionario e che non vi siano, all'interno della cavità, sorgenti o pozzi. In tal caso, supponendo che il fluido entri nella cavità da sinistra e fuoriesca in basso da

destra (vedi Figura 1.1), le equazioni che descrivono il flusso sono date, dopo opportune normalizzazioni, da:

$$\begin{aligned}
u(x, y) &= -\frac{\partial p}{\partial x}(x, y), \\
v(x, y) &= -\frac{\partial p}{\partial y}(x, y), \\
-\Delta p(x, y) &= 0, \quad (x, y) \in (0, 1) \times (0, 1), \\
p(0, y) &\equiv 1, \quad y \in (0, 1), \\
p(x, 0) &\equiv 0, \quad x \in (1 - \delta, 1), \\
\frac{\partial p}{\partial n}(x, 0) &\equiv 0, \quad x \in (0, 1 - \delta], \\
\frac{\partial p}{\partial n}(x, 1) &\equiv 0, \quad x \in [0, 1], \\
\frac{\partial p}{\partial n}(1, y) &\equiv 0, \quad y \in [0, 1],
\end{aligned} \tag{1.2}$$

in cui u e v sono le componenti della velocità del fluido, p è il campo delle pressioni, δ è l'ampiezza della apertura da cui il fluido fuoriesce, ed n è il versore normale alla frontiera del dominio.

Un modo per approssimare il campo delle pressioni consiste nel discretizzare il dominio $[0, 1] \times [0, 1]$, ad esempio nel seguente modo:

$$(ih, jh), \quad i, j = 0, \dots, N + 1, \quad h = \frac{1}{N + 1}.$$

Su tale dominio discreto, indicando con p_{ij} la approssimazione di $p(ih, jh)$, l'equazione di Laplace,

$$-\Delta p \equiv -\left(\frac{\partial^2}{\partial x^2} p + \frac{\partial^2}{\partial y^2} p\right) = 0,$$

viene approssimata mediante delle differenze finite,

$$\frac{-p_{i,j-1} - p_{i-1,j} + 4p_{ij} - p_{i+1,j} - p_{i,j+1}}{h^2} = 0, \quad i, j = 1, \dots, N. \tag{1.3}$$

Infine, le condizioni sulla frontiera si traducono in:

$$\begin{aligned}
p_{0j} &= 1, \quad j = 1, \dots, N, \\
p_{i0} &= 0, \quad i = \nu + 1 \equiv \frac{1 - \delta}{h} + 1, \dots, N,
\end{aligned}$$

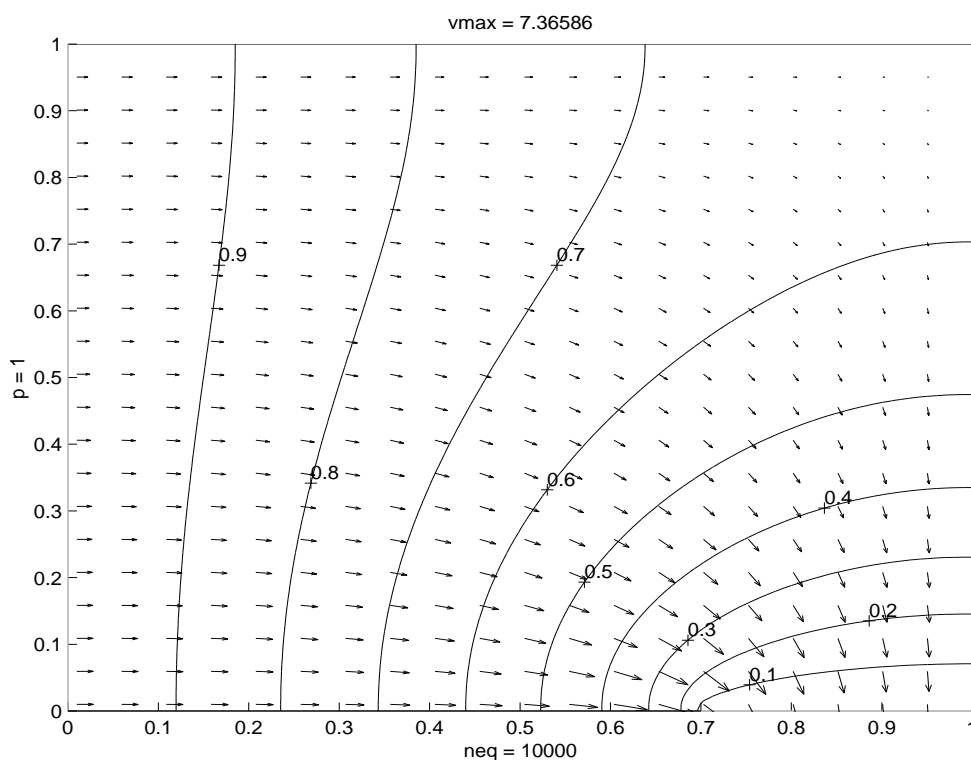


Figura 1.2: Soluzione dell'equazione (1.5), approssimante (1.2), $N = 100$.

Esercizio 1.1 *Dimostrare che la discretizzazione dell'equazione di Poisson,*

$$-\Delta u(x, y) = x + y, \quad (x, y) \in \Omega = [0, 1] \times [0, 1],$$

con la condizione

$$u(x, y) = 0, \quad (x, y) \in \partial\Omega,$$

utilizzando un passo costante

$$h = \frac{1}{N+1}$$

su entrambe le direzioni spaziali, porta alla risoluzione del sistema lineare

$$\mathbf{A}\mathbf{u} = \mathbf{b}, \quad (1.6)$$

dove

$$\mathbf{u} = (u_{11}, \dots, u_{N1}, \dots, u_{1N}, \dots, u_{NN})^\top,$$

$$\mathbf{b} = h^3((1+1), \dots, (N+1), \dots, (1+N), \dots, (N+N))^\top,$$

$$A = T_N \otimes I_N + I_N \otimes T_N,$$

con

$$u_{ij} \approx u(ih, jh), \quad i, j = 1 \dots, N,$$

e la matrice T_N definita come

$$T_N = \begin{pmatrix} 2 & -1 & & & \\ -1 & \ddots & \ddots & & \\ & \ddots & \ddots & -1 & \\ & & -1 & 2 & \end{pmatrix}_{N \times N}.$$

Capitolo 2

Nozioni preliminari

In questo capitolo verranno date alcune nozioni preliminari, riguardo a questioni di algebra lineare ed equazioni alle differenze, utili alla trattazione fatta nei successivi cinque capitoli. In questo modo, gli unici prerequisiti che assumeremo sono nozioni di base di algebra lineare e di teoria delle matrici, quest'ultima confinata al solo caso delle matrici hermitiane (per questi argomenti si vedano, ad esempio, [3, 16]).

2.1 Norme indotte su matrice

Sia $\mathbf{x} = (x_i) \in \mathbb{R}^n$. La norma p di \mathbf{x} è definita da

$$\|\mathbf{x}\|_p = \left(\sum_{i=1}^n |x_i|^p \right)^{\frac{1}{p}}.$$

Norme molto utilizzate in Analisi Numerica sono:

- $\|\mathbf{x}\|_1 = \sum_{i=1}^n |x_i|$;
- $\|\mathbf{x}\|_2 = \sqrt{\mathbf{x}^\top \mathbf{x}}$ (indotta dall'usuale prodotto scalare);
- $\|\mathbf{x}\|_\infty = \lim_{p \rightarrow \infty} \left(\sum_{i=1}^n |x_i|^p \right)^{\frac{1}{p}} = \max_i |x_i|$.

Una generica norma $\|\cdot\|$ soddisfa alle seguenti proprietà caratteristiche:

N1: $\|\mathbf{x}\| \geq 0$, $\|\mathbf{x}\| = 0 \Leftrightarrow \mathbf{x} = \mathbf{0}$;

N2: per ogni $\alpha \in \mathbb{R}$: $\|\alpha \mathbf{x}\| = |\alpha| \cdot \|\mathbf{x}\|$;

N3: $\|\mathbf{x} + \mathbf{y}\| \leq \|\mathbf{x}\| + \|\mathbf{y}\|$.

Esercizio 2.1 Verificare che, se $Q \in \mathbb{R}^{n \times n}$ è una matrice ortogonale, allora $\|\mathbf{x}\|_2 = \|Q\mathbf{x}\|_2$.

Sia ora $A \in \mathbb{R}^{m \times n}$ e sia $\|\cdot\|_p$ la norma p su vettore. Definiamo *norma p della matrice A* , indotta dalla norma su vettore assegnata, la quantità:

$$\|A\|_p = \sup_{\|\mathbf{x}\|_p=1} \|A\mathbf{x}\|_p.$$

Osserviamo che, nella precedente definizione, $\mathbf{x} \in \mathbb{R}^n$ e $A\mathbf{x} \in \mathbb{R}^m$.

La definizione appena vista definisce effettivamente una norma, in quanto si verifica facilmente che, se $A, B \in \mathbb{R}^{m \times n}$ (per brevità, nel seguito ometteremo il pedice p della norma, ove non strettamente necessario):

1. $\|A\| \geq 0$, $\|A\| = 0 \Leftrightarrow A = O$, la matrice nulla;
2. per ogni $\alpha \in \mathbb{R}$: $\|\alpha A\| = |\alpha| \cdot \|A\|$;
3. $\|A + B\| \leq \|A\| + \|B\|$.

Ulteriori proprietà, la cui semplice dimostrazione è lasciata come esercizio, sono le seguenti:

4. la norma indotta su matrice e la corrispondente norma su vettore sono *compatibili*: $\|A\mathbf{x}\| \leq \|A\| \cdot \|\mathbf{x}\|$;
5. più in generale, se A e B sono matrici per le quali è definito il prodotto AB : $\|AB\| \leq \|A\| \cdot \|B\|$;
6. se B è una sottomatrice di A , allora $\|B\| \leq \|A\|$.

Vediamo alcune delle norme indotte di utilizzo più comune in Analisi Numerica; siano $A = (a_{ij}) \in \mathbb{R}^{m \times n}$, $\mathbf{x} = (x_i) \in \mathbb{R}^n$:

- se $\|\mathbf{x}\|_1 = \sum_i |x_i|$, allora $\|A\|_1 = \max_j \sum_i |a_{ij}|$;
- se $\|\mathbf{x}\|_\infty = \max_i |x_i|$, allora $\|A\|_\infty = \max_i \sum_j |a_{ij}|$;
- se $\|\mathbf{x}\|_2 = \sqrt{\mathbf{x}^\top \mathbf{x}}$, allora $\|A\|_2 = \sqrt{\rho(A^\top A)}$.

Esercizio 2.2 Verificare che, se Q e U sono matrici ortogonali di dimensione m ed n , rispettivamente, allora $\|QAU\|_2 = \|A\|_2$.

Sulla scorta delle precedenti proprietà e definizioni, dimostriamo i seguenti risultati che riguardano il caso in cui la matrice A sia quadrata.

Teorema 2.1 *Se $A \in \mathbb{R}^{n \times n}$, allora per ogni $\lambda \in \sigma(A) : |\lambda| \leq \|A\|$, per ogni norma indotta su matrice.*

Dim. Sia λ un autovalore di A , e sia \mathbf{x} un corrispondente autovettore tale che $\|\mathbf{x}\| = 1$. Si ottiene:

$$|\lambda| = \|\lambda \mathbf{x}\| = \|A\mathbf{x}\| \leq \|A\| \cdot \|\mathbf{x}\| = \|A\|.$$

□

Corollario 2.1 $\rho(A) \leq \|A\|$.

Corollario 2.2 *Se A è nonsingolare, allora, per ogni $\lambda \in \sigma(A)$:*

$$\|A^{-1}\|^{-1} \leq |\lambda|.$$

Il seguente teorema è solo enunciato, sebbene la sua dimostrazione discenda da semplici argomenti di teoria delle matrici.

Teorema 2.2 $A^k \rightarrow O$, per $k \rightarrow \infty$, se e solo se $\rho(A) < 1$.

Definizione 2.1 *Una matrice A che soddisfi la condizione $\rho(A) < 1$ si dice convergente.*

Osserviamo che la prima implicazione, nel Teorema 2.2, può essere dimostrata ricorrendo alle norme indotte su matrice. Infatti, se per assurdo, esistesse $\lambda \in \sigma(A)$, $|\lambda| \geq 1$, allora, detto \mathbf{x} un corrispondente autovettore di norma unitaria, si avrebbe, per $k \rightarrow \infty$:

$$0 \leftarrow \|A^k\| \geq \|A^k \mathbf{x}\| = \|\lambda^k \mathbf{x}\| = |\lambda^k| \geq 1.$$

Inoltre, dal Corollario 2.1 discende facilmente il seguente risultato.

Corollario 2.3 *Se, per qualche norma indotta, $\|A\| < 1$, allora la matrice A è convergente.*

2.2 Direzioni coniugate e norme indotte

Gli argomenti di questa sezione sono da riguardare come una generalizzazione del concetto di ortogonalità.

Definizione 2.2 Data una matrice simmetrica A e vettori reali $\{\mathbf{v}_1, \dots, \mathbf{v}_k\}$ tali che

$$\mathbf{v}_i^\top A \mathbf{v}_j = 0, \quad i \neq j,$$

diremo che i vettori sono tra loro A -ortogonali.

Evidentemente, quando $A = I$, la matrice identità, allora la nozione di A -ortogonalità coincide con quella classica di ortogonalità.

Teorema 2.3 Se A è simmetrica e definita positiva (sdp) e $\{\mathbf{v}_1, \dots, \mathbf{v}_k\}$ sono k vettori non banali e tra di loro A -ortogonali, allora tali vettori sono linearmente indipendenti.

Dim. Bisogna dimostrare che una combinazione lineare dei predetti vettori, che dia il vettore banale, deve essere a coefficienti tutti nulli. Infatti, se

$$\alpha_1 \mathbf{v}_1 + \dots + \alpha_k \mathbf{v}_k = \mathbf{0},$$

allora, moltiplicando a sinistra per $\mathbf{v}_i^\top A$, si ottiene, tenendo conto della A -ortogonalità dei vettori,

$$0 = \mathbf{v}_i^\top A (\alpha_1 \mathbf{v}_1 + \dots + \alpha_k \mathbf{v}_k) = \mathbf{v}_i^\top A \mathbf{v}_i \alpha_i,$$

e di conseguenza $\alpha_i = 0$, dato che A è sdp e che $\mathbf{v}_i \neq \mathbf{0}$. \square

Assumendo, nel seguito, che A sia sdp di dimensione n , osserviamo che la forma bilineare

$$\mathbf{x}^\top A \mathbf{y}$$

definisce un prodotto scalare. Infatti, si verifica facilmente che, per ogni $\mathbf{x}, \mathbf{y}, \mathbf{z} \in \mathbb{R}^n$ e $\alpha \in \mathbb{R}$:

- $\mathbf{x}^\top A \mathbf{y} = \mathbf{y}^\top A \mathbf{x}$;
- $\mathbf{x}^\top A (\mathbf{y} + \mathbf{z}) = \mathbf{x}^\top A \mathbf{y} + \mathbf{x}^\top A \mathbf{z}$;
- $(\alpha \mathbf{x})^\top A \mathbf{y} = \mathbf{x}^\top A (\alpha \mathbf{y}) = \alpha (\mathbf{x}^\top A \mathbf{y})$;
- $\mathbf{x}^\top A \mathbf{x} \geq 0$; $\mathbf{x}^\top A \mathbf{x} = 0 \Leftrightarrow \mathbf{x} = \mathbf{0}$.

Come l'usuale prodotto scalare in \mathbb{R}^n induce la norma euclidea, così il prodotto scalare definito da A induce una norma corrispondente, che chiameremo A -norma:

$$\|\mathbf{x}\|_A = \sqrt{\mathbf{x}^\top A \mathbf{x}}.$$

Verifichiamo che, in effetti, questa è una norma:

- $\|\mathbf{x}\|_A \geq 0$ e $\|\mathbf{x}\|_A = 0 \Leftrightarrow \mathbf{x} = \mathbf{0}$. Questo discende dal fatto che A è sdp;
- se $\alpha \in \mathbb{R}$, $\|\alpha\mathbf{x}\|_A = |\alpha| \cdot \|\mathbf{x}\|_A$. Anche questa proprietà è evidente;
- $\|\mathbf{x} + \mathbf{y}\|_A \leq \|\mathbf{x}\|_A + \|\mathbf{y}\|_A$. Infatti, dalla diseguaglianza di Cauchy-Schwarz e tenendo conto che se A è sdp tale è anche $A^{1/2}$ (che è una matrice reale), segue che:

$$\begin{aligned}
 \|\mathbf{x} + \mathbf{y}\|_A^2 &= (\mathbf{x} + \mathbf{y})^\top A(\mathbf{x} + \mathbf{y}) = \mathbf{x}^\top A\mathbf{x} + \mathbf{y}^\top A\mathbf{y} + 2\mathbf{x}^\top A\mathbf{y} \\
 &= \|\mathbf{x}\|_A^2 + \|\mathbf{y}\|_A^2 + 2(\mathbf{x}^\top A^{1/2})(A^{1/2}\mathbf{y}) \\
 &\leq \|\mathbf{x}\|_A^2 + \|\mathbf{y}\|_A^2 + 2\sqrt{(\mathbf{x}^\top A\mathbf{x})(\mathbf{y}^\top A\mathbf{y})} \\
 &= \|\mathbf{x}\|_A^2 + \|\mathbf{y}\|_A^2 + 2\|\mathbf{x}\|_A\|\mathbf{y}\|_A = (\|\mathbf{x}\|_A + \|\mathbf{y}\|_A)^2.
 \end{aligned}$$

Osservazione 2.1 *Chiaramente, la precedente norma su vettore ne può indurre una corrispondente su matrice, per matrici che abbiano le stesse dimensioni di A .*

2.3 Polinomi di matrici

Sia assegnata una matrice $A \in \mathbb{R}^{n \times n}$ ed un polinomio $p(x) \in \Pi_k$,

$$p(x) = \sum_{i=0}^k c_i x^i.$$

Il *polinomio di matrice* $p(A)$ è quindi definito da

$$p(A) = \sum_{i=0}^k c_i A^i.$$

Per tali polinomi, e più in generale per funzioni di matrice, valgono molte e interessanti proprietà che dipendono dalla struttura di A (si vedano, ad esempio, [15, 16]). Noi siamo interessati solo ad alcune semplici proprietà che riportiamo nel seguito. Innanzitutto, se la forma canonica di Jordan di A è

$$A = V\Lambda V^{-1},$$

allora si dimostra facilmente per induzione che

$$A^i = V\Lambda^i V^{-1}, \quad i = 0, 1, 2, \dots$$

Ne consegue che

$$p(A) = \sum_{i=0}^k c_i A^i = \sum_{i=0}^k c_i V \Lambda^i V^{-1} = V \left(\sum_{i=0}^k c_i \Lambda^i \right) V^{-1} = V p(\Lambda) V^{-1}.$$

Nel caso in cui A sia diagonalizzabile, ovvero quando

$$\Lambda = \begin{pmatrix} \lambda_1 & & \\ & \ddots & \\ & & \lambda_n \end{pmatrix},$$

si perviene alla, più semplice, espressione

$$p(A) = V p(\Lambda) V^{-1} = V \begin{pmatrix} p(\lambda_1) & & \\ & \ddots & \\ & & p(\lambda_n) \end{pmatrix} V^{-1}.$$

Questo sicuramente avviene quando A è simmetrica, nel quale caso la matrice V è una matrice ortogonale e, pertanto,

$$p(A) = V p(\Lambda) V^{\top} = V \begin{pmatrix} p(\lambda_1) & & \\ & \ddots & \\ & & p(\lambda_n) \end{pmatrix} V^{\top}.$$

Osservazione 2.2 A e $p(A)$ commutano, ovvero $Ap(A) = p(A)A$.

Osservazione 2.3 Se A è simmetrica, allora la matrice $p(A)$ è ancora simmetrica.

Osservazione 2.4 Se A è simmetrica ed $f(x)$ è una funzione analitica in un dominio contenente lo spettro, $\sigma(A)$, di A , allora $f(A) \equiv p(A)$, dove $p(x)$ è il polinomio che interpola $f(x)$ sui punti di $\sigma(A)$: $\lambda \in \sigma(A) \Rightarrow p(\lambda) = f(\lambda)$. Per approfondimenti sulle funzioni di matrice, si vedano [15, 16].

Esercizio 2.3 Se $\lambda \in \sigma(A)$, allora $p(\lambda) \in \sigma(p(A))$.

Esercizio 2.4 Sia $L \in \mathbb{R}^{n \times n}$ una matrice strettamente triangolare. Dimostrare che

$$(I - L)^{-1} = I + L + L^2 + \dots + L^{n-1}.$$

Concludere, quindi, che

$$(I - L)^{-1}L = L(I - L)^{-1}.$$

2.4 Fattorizzazione LU di una matrice

In questa sezione si richiamano le definizioni e le proprietà essenziali (ai fini della trattazione seguente) riguardo alla fattorizzazione LU di una matrice nonsingolare $A \in \mathbb{R}^{n \times n}$.

Definizione 2.3 *Se esistono due matrici triangolari, rispettivamente inferiore e superiore,*

$$L = \begin{pmatrix} \ell_{11} & & & \\ \vdots & \ddots & & \\ \ell_{n1} & \dots & \ell_{nn} & \end{pmatrix}, \quad \ell_{ii} = 1, \quad i = 1, \dots, n,$$

$$U = \begin{pmatrix} u_{11} & \dots & u_{1n} \\ & \ddots & \vdots \\ & & u_{nn} \end{pmatrix},$$

tali che

$$A = LU, \quad (2.1)$$

allora A dicesi fattorizzabile LU .

Valgono le seguenti proprietà:

LU1: se A è fattorizzabile LU , la sua fattorizzazione (2.1) è unica;

LU2: A è fattorizzabile LU se e solo se tutti i suoi minori principali sono non nulli.

L'ultima proprietà è senz'altro vera nel caso di matrici sdp , i cui minori principali sono tutti positivi. In tal caso, si vede facilmente dalla LU1 che A è fattorizzabile nella forma

$$A = LDL^T, \quad (2.2)$$

con D matrice diagonale. Ovvero la matrice U della fattorizzazione LU di A è scrivibile nella forma $U = DL^T$.

Esercizio 2.5 *Verificare che, nel caso in cui A sia tridiagonale e sdp ,*

$$A = \begin{pmatrix} a_1 & b_1 & & & \\ b_1 & \ddots & \ddots & & \\ & \ddots & \ddots & b_{n-1} & \\ & & b_{n-1} & a_n & \end{pmatrix},$$

allora essa è fattorizzabile nella forma (2.2) con

$$L = \begin{pmatrix} 1 & & & & \\ \mu_1 & 1 & & & \\ & \ddots & \ddots & & \\ & & \mu_{n-1} & 1 & \\ & & & & 1 \end{pmatrix}, \quad D = \begin{pmatrix} d_1 & & & & \\ & \ddots & & & \\ & & \ddots & & \\ & & & \ddots & \\ & & & & d_n \end{pmatrix},$$

dove $d_1 = a_1$ e

$$\mu_i = \frac{b_i}{d_i}, \quad d_{i+1} = a_{i+1} - b_i \mu_i, \quad i = 1, \dots, n-1.$$

2.5 Fattorizzazione QR di una matrice

Tratteremo ora la fattorizzazione QR di una matrice $A \in \mathbb{R}^{m \times n}$, $m \geq n$. Gli argomenti esposti in questa sezione riguardano più gli aspetti teorici che non quelli computazionali. Per una completa trattazione di questi ultimi, si veda, ad esempio, [12].

Preliminarmente, poniamoci il problema, assegnato un vettore $\mathbf{v} \in \mathbb{R}^m$, di annullarne tutte le componenti a partire dalla $(k+1)$ -esima, per un assegnato $k \in \{1, \dots, m-1\}$, preservando la norma euclidea del vettore.

A questo fine, osserviamo che il problema può essere decomposto in $m-k$ sottoproblemi consecutivi. Infatti, se $\mathbf{v} = (v_1, \dots, v_m)^\top$, allora possiamo pensare di annullare, innanzitutto, l'ultima componente, considerando le ultime due. Lo strumento per ottenere questo sarà una *matrice di rotazione* tale che:

$$\begin{pmatrix} c_m & s_m \\ -s_m & c_m \end{pmatrix} \begin{pmatrix} v_{m-1} \\ v_m \end{pmatrix} = \begin{pmatrix} \hat{v}_{m-1} \\ 0 \end{pmatrix},$$

dove gli scalari c_m, s_m sono individuati (a meno del segno) dalle equazioni

$$c_m^2 + s_m^2 = 1, \quad c_m v_m = s_m v_{m-1}.$$

Si ricava:

$$\rho_m = \|(v_{m-1}, v_m)^\top\|_2, \quad c_m = v_{m-1}/\rho_m, \quad s_m = v_m/\rho_m.$$

Chiaramente, se $v_{m-1} = v_m = 0$, è sufficiente porre $c_m = 1, s_m = 0$. In questo modo, abbiamo trasformato il vettore $(v_1, \dots, v_m)^\top$ nel vettore $(v_1, \dots, v_{m-2}, \hat{v}_{m-1}, 0)^\top$.

Esercizio 2.6 Verificare che i due precedenti vettori hanno la stessa norma euclidea.

La procedura può essere, quindi, applicata iterativamente al sottovettore di componenti $(v_{m-2}, \hat{v}_{m-1})^\top$ che, mediante moltiplicazione a sinistra per la matrice di rotazione

$$\begin{pmatrix} c_{m-1} & s_{m-1} \\ -s_{m-1} & c_{m-1} \end{pmatrix},$$

è trasformato nel vettore $(\hat{v}_{m-2}, 0)^\top$, e così via.

In notazione vettoriale, avremo operato la trasformazione

$$G_{k+1} \cdot G_{k+2} \cdots G_m \mathbf{v} = (v_1, \dots, v_{k-1}, \hat{v}_k, 0, \dots, 0)^\top \equiv \hat{\mathbf{v}}, \quad (2.3)$$

con le *matrici di Givens* G_j definite da

$$G_j = \begin{pmatrix} I_{j-2} & & & \\ & \begin{pmatrix} c_j & s_j \\ -s_j & c_j \end{pmatrix} & & \\ & & & I_{m-j} \end{pmatrix}, \quad j = k+1, \dots, m.$$

Esercizio 2.7 Verificare che le matrici G_j in (2.3) sono ortogonali e che i vettori \mathbf{v} e $\hat{\mathbf{v}}$ hanno la stessa norma euclidea.

Sia data, ora, una matrice rettangolare $A \in \mathbb{R}^{m \times n}$, in cui supporremo che $m \geq n \equiv \text{rank}(A)$. Vale il seguente risultato.

Teorema 2.4 A è fattorizzabile nella forma $A = QR$, dove $Q \in \mathbb{R}^{m \times m}$ è ortogonale e

$$R = \begin{pmatrix} R_1 \\ O \end{pmatrix} \in \mathbb{R}^{m \times n}, \quad (2.4)$$

con R_1 matrice $n \times n$ triangolare superiore e nonsingolare.

Dim. Che R_1 sia nonsingolare discende dal fatto che A ha rango massimo e Q è nonsingolare. Pertanto rimane solo da dimostrare che la fattorizzazione $A = QR$ esiste. Usando argomenti simili a quelli visti per derivare la (2.3), è possibile definire $m - 1$ matrici di Givens $G_m^{(1)}, \dots, G_2^{(1)}$ tali che

$$G_2^{(1)} \cdots G_m^{(1)} A = \begin{pmatrix} a_{11}^{(1)} & a_{12}^{(1)} & \cdots & a_{1n}^{(1)} \\ 0 & a_{22}^{(1)} & \cdots & a_{2n}^{(1)} \\ \vdots & \vdots & & \vdots \\ 0 & a_{m2}^{(1)} & \cdots & a_{mn}^{(1)} \end{pmatrix} \equiv A^{(1)}.$$

Similmente, sarà possibile definire $m - 2$ matrici di Givens $G_m^{(2)}, \dots, G_3^{(2)}$ tali che

$$G_3^{(2)} \cdots G_m^{(2)} A^{(1)} = \begin{pmatrix} a_{11}^{(1)} & a_{12}^{(1)} & a_{13}^{(1)} & \cdots & a_{1n}^{(1)} \\ 0 & a_{22}^{(2)} & a_{23}^{(2)} & \cdots & a_{2n}^{(2)} \\ \vdots & 0 & a_{33}^{(2)} & \cdots & a_{3n}^{(2)} \\ \vdots & \vdots & \vdots & & \vdots \\ 0 & 0 & a_{m3}^{(2)} & \cdots & a_{mn}^{(2)} \end{pmatrix} \equiv A^{(2)}.$$

Ragionando per induzione, si definiranno ulteriori matrici di Givens

$$G_i^{(j)}, \quad i = j + 1, \dots, m, \quad j = 3, \dots, n,$$

tali che, infine,

$$Q^T A \equiv G_{n+1}^{(n)} \cdots G_m^{(n)} \cdots G_2^{(1)} \cdots G_m^{(1)} A = \begin{pmatrix} a_{11}^{(1)} & \cdots & a_{1n}^{(1)} \\ 0 & \ddots & \vdots \\ \vdots & \ddots & a_{nn}^{(n)} \\ \vdots & & 0 \\ \vdots & & \vdots \\ 0 & \cdots & 0 \end{pmatrix} \equiv \begin{pmatrix} R_1 \\ O \end{pmatrix}.$$

□

Osservazione 2.5 È da sottolineare il fatto che la generica matrice di Givens $G_i^{(j)}$ assolve alla funzione di azzerare, in modo selettivo, l'elemento in posizione (i, j) della matrice corrente. Nel fare questo, modifica il contenuto delle righe $i - 1$ ed i , senza reintrodurre fill-in negli elementi già azzerati, a patto che l'ordine delle matrici sia quello specificato. Questo permette di ridurre il numero delle matrici necessarie per ottenere la fattorizzazione, quando A è in forma di Hessemberg (superiore),

$$A = \begin{pmatrix} a_{11} & \cdots & a_{1n} \\ a_{21} & \ddots & \vdots \\ 0 & \ddots & a_{nn} \\ \vdots & \ddots & a_{n+1,n} \\ \vdots & & 0 \\ \vdots & & \vdots \\ 0 & \cdots & 0 \end{pmatrix}.$$

Infatti, si verifica agevolmente che, in questo caso, sono richieste, nell'ordine, le sole matrici

$$G_2^{(1)}, G_3^{(2)}, \dots, G_{n+1}^{(n)}$$

per ottenere la fattorizzazione QR di A .

Per ultimo, osserviamo che, se A è anche tridiagonale,

$$A = \begin{pmatrix} a_{11} & a_{12} & 0 & \dots & 0 \\ a_{21} & \ddots & \ddots & \ddots & \vdots \\ 0 & \ddots & \ddots & \ddots & 0 \\ \vdots & \ddots & \ddots & \ddots & a_{n-1,n} \\ \vdots & & \ddots & a_{n,n-1} & a_{nn} \\ \vdots & & & \ddots & a_{n+1,n} \\ \vdots & & & & 0 \\ \vdots & & & & \vdots \\ 0 & \dots & \dots & \dots & 0 \end{pmatrix},$$

allora tale è anche il suo fattore R . Infatti, si verifica che (vedi (2.4))

$$R_1 = \begin{pmatrix} r_{11} & r_{12} & r_{13} & 0 & \dots & 0 \\ & \ddots & \ddots & \ddots & \ddots & \vdots \\ & & \ddots & \ddots & \ddots & 0 \\ & & & \ddots & \ddots & r_{n-2,n} \\ & & & & \ddots & r_{n-1,n} \\ & & & & & r_{nn} \end{pmatrix}.$$

2.6 Il problema dei minimi quadrati

Sia assegnata una funzione

$$f : \mathbf{x} \in \mathbb{R}^m \rightarrow \mathbb{R},$$

di classe C^2 , di cui si vuole ricercare il minimo. Se non vi sono vincoli sulla \mathbf{x} , allora ricercheremo la soluzione tra i punti stazionari della f , ovvero risolvendo l'equazione

$$\nabla f(\mathbf{x}) = \mathbf{0}^\top.$$

Se \mathbf{x}^* è soluzione di tale equazione, allora esso sarà un punto di minimo stretto (locale, in generale) per f se la matrice Hessiana, $\nabla^2 f(\mathbf{x}^*)$, è sdp.

Supponiamo, adesso, di voler ricercare un punto di minimo della f non in tutto \mathbb{R}^m ma, piuttosto, nella varietà affine

$$\Psi = \{\mathbf{x} \in \mathbb{R}^m : \mathbf{x} = \mathbf{x}_0 + B\mathbf{z}, \mathbf{z} \in \mathbb{R}^n\},$$

dove \mathbf{x}_0 è un punto assegnato e $B \in \mathbb{R}^{m \times n}$, $n \leq m$, è una matrice avente rango massimo n . In tal caso,

$$\min_{\mathbf{x} \in \Psi} f(\mathbf{x}) = \min_{\mathbf{z} \in \mathbb{R}^n} f(\mathbf{x}_0 + B\mathbf{z}) \equiv \min_{\mathbf{z} \in \mathbb{R}^n} f(g(\mathbf{z})).$$

Applicando la regola di derivazione per funzioni composte, si ottiene che, se $\mathbf{x}^* = g(\mathbf{z}^*)$ è il punto di minimo, allora dovrà aversi

$$\nabla f(\mathbf{x}^*)B = \mathbf{0}^\top.$$

Ovvero, il gradiente della f , nel punto di minimo, deve essere ortogonale alle colonne della matrice B che individua lo spazio affine. Questa condizione, che è in generale solo necessaria, diviene anche sufficiente nel caso del problema lineare dei minimi quadrati. In tal caso, infatti, per un assegnato vettore $\mathbf{b} \in \mathbb{R}^m$,

$$f(\mathbf{x}) = \frac{1}{2}\|\mathbf{b} - \mathbf{x}\|_2^2 \equiv \frac{1}{2}(\mathbf{b} - \mathbf{x})^\top(\mathbf{b} - \mathbf{x}). \quad (2.5)$$

Al solito, se \mathbf{x} potesse variare in tutto \mathbb{R}^m , allora la scelta banale, $\mathbf{x} = \mathbf{b}$, sarebbe la soluzione del problema di minimo. Se, tuttavia, restringiamo $\mathbf{x} \in \Psi$, allora il punto stazionario sarà soluzione dell'equazione

$$(\mathbf{b} - \mathbf{x})^\top B = \mathbf{0}^\top. \quad (2.6)$$

Tenendo conto che $\mathbf{x} = \mathbf{x}_0 + B\mathbf{z}$, questo porta al sistema di equazioni lineari

$$B^\top B\mathbf{z} = B^\top(\mathbf{b} - \mathbf{x}_0). \quad (2.7)$$

Poichè la matrice dei coefficienti, $B^\top B$, è sdp (vedi Esercizio 2.8), ne consegue che l'unica soluzione è

$$\mathbf{z}^* = (B^\top B)^{-1}B^\top(\mathbf{b} - \mathbf{x}_0). \quad (2.8)$$

Osserviamo che il corrispondente punto in Ψ ,

$$\mathbf{x}^* = \mathbf{x}_0 + B\mathbf{z}^*, \quad (2.9)$$

sarà un punto di minimo, in quanto $\nabla^2 f(\mathbf{x}^*) = B^\top B$, che è sdp. Quindi, come detto innanzi, nel caso del problema lineare dei minimi quadrati, la condizione necessaria (2.6) è anche sufficiente.

Esercizio 2.8 *Dimostrare che, se $B \in \mathbb{R}^{m \times n}$, $m \geq n$, ed il rango di B è uguale a n , allora $B^\top B$ è sdp.*

Esercizio 2.9 *Determinare l'approssimazione ai minimi quadrati del vettore $(\alpha \ \alpha \ \beta)^\top$ nel sottospazio di \mathbb{R}^3 generato dai vettori $(1, 1, 1)^\top$ e $(1, -1, 0)^\top$.*

Osservazione 2.6 *Il problema (2.5) può essere generalizzato al caso di una qualunque norma indotta da una matrice sdp A (vedi Sezione 2.2). Infatti, in tal caso, la (2.5) diviene*

$$f(\mathbf{x}) = \frac{1}{2} \|\mathbf{b} - \mathbf{x}\|_A^2 \equiv \frac{1}{2} (\mathbf{b} - \mathbf{x})^\top A (\mathbf{b} - \mathbf{x}), \quad (2.10)$$

ed il sistema lineare (2.7) diviene

$$(B^\top AB)\mathbf{z} = B^\top A(\mathbf{b} - \mathbf{x}_0),$$

la cui matrice dei coefficienti è ancora sdp.

Osservazione 2.7 *Osserviamo che la condizione (2.6), che è necessaria e sufficiente per il punto di minimo, nel caso del problema lineare dei minimi quadrati, può essere interpretata come la condizione di ortogonalità dell'errore,*

$$\mathbf{b} - \mathbf{x},$$

ai vettori che generano il sottospazio. Nel caso della A -norma (2.10), la corrispondente condizione,

$$(\mathbf{b} - \mathbf{x})^\top AB = \mathbf{0}^\top,$$

può essere analogamente interpretata come la A -ortogonalità dell'errore alle colonne di B .

Osservazione 2.8 *Il vettore \mathbf{z}^* non è convenientemente ottenuto risolvendo (2.5). È invece preferibile risolvere, in alternativa, il problema di minimo:*

$$\min_{\mathbf{z} \in \mathbb{R}^n} \|B\mathbf{z} - (\mathbf{b} - \mathbf{x}_0)\|_2^2.$$

Infatti, fattorizzando $B = QR$, con R come in (2.4), si ottiene:

$$\|Bz - (\mathbf{b} - \mathbf{x}_0)\|_2^2 = \|Rz - Q^\top(\mathbf{b} - \mathbf{x}_0)\|_2^2 \equiv \|Rz - \mathbf{g}\|_2^2.$$

Partizionando il vettore $\mathbf{g} = (\mathbf{g}_1, \mathbf{g}_2)^\top$, con $\mathbf{g}_1 \in \mathbb{R}^n$, si ottiene, quindi,

$$\|Rz - \mathbf{g}\|_2^2 = \|R_1z - \mathbf{g}_1\|_2^2 + \|\mathbf{g}_2\|_2^2,$$

che è minimizzato dalla scelta $\mathbf{z}^* = R_1^{-1}\mathbf{g}_1$, essendo R_1 nonsingolare (vedi Teorema 2.4).

Osservazione 2.9 La soluzione (2.9) è invariante per scalamento delle colonne della matrice B . Infatti, se

$$\Sigma = \begin{pmatrix} \sigma_1 & & \\ & \ddots & \\ & & \sigma_n \end{pmatrix}$$

è nonsingolare, allora

$$\mathbf{x}^* = \mathbf{x}_0 + Bz^* = \mathbf{x}_0 + (B\Sigma)(\Sigma^{-1}z^*) \equiv \mathbf{x}_0 + \hat{B}\hat{z},$$

con (vedi (2.8))

$$\begin{aligned} \hat{z} &\equiv \Sigma^{-1}z^* = \Sigma^{-1}(B^\top B)^{-1}B^\top(\mathbf{b} - \mathbf{x}_0) \\ &= ((B\Sigma)^\top(B\Sigma))^{-1}(B\Sigma)^\top(\mathbf{b} - \mathbf{x}_0) \\ &\equiv (\hat{B}^\top \hat{B})^{-1}\hat{B}^\top(\mathbf{b} - \mathbf{x}_0). \end{aligned}$$

Cambia, quindi, solo la sua rappresentazione.

2.7 M -matrici

In questa sezione riportiamo alcune proprietà relative alle cosiddette M -matrici. Saranno esaminate solo le proprietà strettamente attinenti alla trattazione seguente. Per maggiori approfondimenti, si rimanda a [3, 16, 24].

Definizione 2.4 Diremo che una matrice $B = (b_{ij})$ è non negativa, e scriveremo $B \geq 0$, se per ogni $i, j : b_{ij} \geq 0$.

Valgono le seguenti, semplici, proprietà, per matrici quadrate non negative.

Teorema 2.5 *Se $A, B \geq 0$, allora $AB \geq 0$; se $A \geq B \geq 0$, allora $A^j \geq B^j \geq 0$, $j = 0, 1, 2, \dots$.*

Si può inoltre dimostrare il seguente risultato, che discende dal *Teorema di Perron-Frobenius* (vedi, ad esempio, [16]).

Teorema 2.6 *Se $A \geq 0$, allora esiste $\lambda \in \sigma(A)$ tale che $\lambda \equiv \rho(A)$. Ad esso corrisponde un autovettore $\mathbf{v} \geq 0$.*

Per esemplificare il risultato del precedente teorema, si consideri

$$A = \begin{pmatrix} 0 & 1 \\ 1 & 0 \end{pmatrix} \geq 0.$$

Si ha:

$$\sigma(A) = \{-1, 1\}, \quad A \begin{pmatrix} 1 \\ 1 \end{pmatrix} = \begin{pmatrix} 1 \\ 1 \end{pmatrix} \geq 0.$$

Esercizio 2.10 *Determinare il raggio spettrale della matrice*

$$A = \begin{pmatrix} 1 & 2 & 3 & 4 & 5 \\ 2 & 3 & 4 & 5 & 1 \\ 3 & 4 & 5 & 1 & 2 \\ 4 & 5 & 1 & 2 & 3 \\ 5 & 1 & 2 & 3 & 4 \end{pmatrix}.$$

Vale, infine, la seguente proprietà di monotonia.

Teorema 2.7 *Se $0 \leq B \leq C$, allora $\rho(B) \leq \rho(C)$.*

Dim. Infatti, si verifica facilmente che, per ogni $\varepsilon > 0$,

$$0 \leq \frac{C}{\rho(C) + \varepsilon}$$

è una matrice convergente. Dalle ipotesi, e dal Teorema 2.5, segue quindi che, per ogni $\varepsilon > 0$,

$$0 \leq \left(\frac{B}{\rho(C) + \varepsilon} \right)^j \leq \left(\frac{C}{\rho(C) + \varepsilon} \right)^j \rightarrow 0, \quad \text{per } j \rightarrow \infty.$$

Se ne conclude che, per ogni $\varepsilon > 0$, $\rho(B) < \rho(C) + \varepsilon$. La tesi segue passando al limite per $\varepsilon \rightarrow 0$. \square

La definizione di matrice non negativa ci consente di dare anche quella seguente.

Definizione 2.5 Una matrice $A \in \mathbb{R}^{m \times m}$ è una M -matrice se

$$A = \alpha I - B, \quad B \geq 0, \quad \alpha > \rho(B). \quad (2.11)$$

Se $A = A^\top$, ovvero $B = B^\top$, la matrice dicesi matrice di Stieltjes.

Osservazione 2.10 Gli elementi extradiagonali di una M -matrice sono non positivi. La matrice A in (1.5) è una matrice di Stieltjes.

Valgono le seguenti proprietà, la cui dimostrazione è lasciata come esercizio.

Teorema 2.8 Una M -matrice è nonsingolare; una matrice di Stieltjes è definita positiva.

La proprietà fondamentale di una M -matrice è descritta nel seguente teorema.

Teorema 2.9 Se A è una M -matrice, allora $A^{-1} \geq 0$.

Dim. Se A è una M -matrice, allora essa è scrivibile nella forma (2.11). Inoltre, la matrice $\alpha^{-1}B$ risulta essere non negativa e convergente. Ne consegue che

$$A^{-1} = (\alpha I - B)^{-1} = \alpha^{-1} \sum_{j=0}^{\infty} (\alpha^{-1}B)^j \geq 0.$$

□

Da questa proprietà discendono immediatamente le seguenti altre.

M1: se A e B sono M -matrici, $A \leq B$, allora:

$$A^{-1} \geq B^{-1}, \quad B^{-1}A \leq I \leq A^{-1}B, \quad AB^{-1} \leq I \leq BA^{-1};$$

M2: dato il sistema di disequaglianze $A\mathbf{x} \leq \mathbf{b}$, allora, se A è una M -matrice, segue che $\mathbf{x} \leq A^{-1}\mathbf{b}$;

M3: gli elementi diagonali di una M -matrice sono positivi.

Esercizio 2.11 *Dimostrare le proprietà M1-M3.*

Sulla scorta del Teorema 2.7, si può dimostrare il seguente risultato.

Teorema 2.10 *Se $A_1 = \alpha I - B_1 \leq A_2 = \alpha I - B_2$, $B_1, B_2 \geq 0$, e A_1 è una M -matrice, allora lo è anche A_2 .*

Dim. Infatti, si ha che $0 \leq B_2 \leq B_1$ e, quindi, $\rho(B_2) \leq \rho(B_1) < \alpha$. \square

Corollario 2.4 *Se la matrice A_1 è ottenuta da una M -matrice A azzerando qualche elemento extradiagonale di quest'ultima, allora A_1 è, a sua volta, una M -matrice.*

2.8 Equazioni alle differenze lineari

Una equazione alle differenze lineare a coefficienti costanti di ordine k ha la forma

$$\sum_{i=0}^k \alpha_i x_{n+i} = \beta_n, \quad n = 0, 1, 2, \dots, \quad (2.12)$$

in cui i coefficienti $\{\alpha_i\}$ sono fissati e la successione $\{\beta_n\}$ è nota. Quando quest'ultima coincide con la successione nulla, l'equazione si dice *omogenea*. Nel seguito, considereremo il caso di equazioni omogenee: per una trattazione esaustiva sulle equazioni alle differenze, si rimanda a [15]. Se $\alpha_0 \alpha_k \neq 0$, la precedente equazione avrà esattamente ordine k : questo sarà assunto sistematicamente. Inoltre, poichè la equazione (2.12) è definita a meno di una costante moltiplicativa non nulla, assumeremo la normalizzazione

$$\alpha_k = 1.$$

Una successione (eventualmente ad elementi complessi) $\{x_n\}$ che soddisfi la precedente equazione, ne costituisce una *soluzione*. Nel seguito studieremo, quindi, le soluzioni della equazione

$$\sum_{i=0}^k \alpha_i x_{n+i} = 0, \quad n = 0, 1, 2, \dots, \quad \alpha_k = 1, \alpha_0 \neq 0. \quad (2.13)$$

È evidente che, essendo $\alpha_k \neq 0$, una qualunque soluzione di (2.13) rimane univocamente individuata assegnandone le prime k componenti,

$$x_0, x_1, \dots, x_{k-1}, \quad (2.14)$$

ovvero, assegnando k condizioni iniziali. Siamo interessati, a riguardo, a stabilire la forma generale della soluzione di (2.13), in funzione delle condizioni iniziali (2.14). Preliminarmente, enunciamo il seguente risultato.

Teorema 2.11 *L'insieme delle soluzioni dell'equazione (2.13) è uno spazio vettoriale di dimensione k .*

Dim. Il fatto che l'insieme delle soluzioni sia uno spazio vettoriale discende facilmente dal fatto che, considerate due qualunque soluzioni $\{x_n\}$ e $\{y_n\}$ di (2.13), e comunque si fissino due scalari γ e δ , la successione $\{\gamma x_n + \delta y_n\}$ è ancora una soluzione di (2.13). Il fatto che la dimensione dello spazio sia k deriva, infine, dal fatto che per individuare univocamente una soluzione dell'equazione si devono imporre le k condizioni iniziali (2.14). \square

Da questo risultato, segue che possiamo scrivere la generica soluzione dell'equazione (2.13) come combinazione lineare di k soluzioni linearmente indipendenti. Se $\{x_n^{(1)}\}, \dots, \{x_n^{(k)}\}$ sono tali soluzioni, allora, la generica soluzione di (2.13) sarà della forma

$$x_n = \sum_{i=1}^k c_i x_n^{(i)},$$

dove le costanti c_1, \dots, c_k saranno univocamente determinate dalle k condizioni iniziali (2.14). Ciò premesso, andiamo a ricercare soluzioni di (2.13) nella forma

$$x_n = z^n,$$

in cui z è uno scalare, eventualmente complesso. Si vede facilmente che, se la soluzione è non banale, allora z deve essere una radice del *polinomio caratteristico*,

$$p(z) = \sum_{i=0}^k \alpha_i z^i, \tag{2.15}$$

associato all'equazione (2.13). Nel seguito assumeremo che le k radici di tale polinomio siano semplici, in quanto questo è il caso che ci riguarderà nel seguito. Per l'analisi del caso più generale, in cui sia contemplato anche il caso di radici multiple, si veda [15] oppure [6, cap.2].

Siano, dunque, z_1, z_2, \dots, z_k le radici (distinte) del polinomio (2.15). Vale il seguente risultato.

Teorema 2.12 *La soluzione generale di (2.13) è*

$$x_n = \sum_{i=1}^k c_i z_i^n, \quad n = 0, 1, \dots, \quad (2.16)$$

dove le costanti c_1, \dots, c_k sono univocamente individuate dalle condizioni iniziali (2.14).

Dim. Infatti, la (2.16) è evidentemente soluzione di (2.13). Viceversa, basta dimostrare che si possono scegliere le costanti c_1, \dots, c_k in modo da ottenere una qualunque k -pla di valori iniziali (2.14). Dalla (2.16), per $n = 0, 1, \dots, k-1$, si ottiene il sistema di equazioni lineare:

$$V\mathbf{c} = \mathbf{x},$$

in cui

$$\mathbf{c} = \begin{pmatrix} c_1 \\ \vdots \\ c_k \end{pmatrix}, \quad \mathbf{x} = \begin{pmatrix} x_0 \\ \vdots \\ x_{k-1} \end{pmatrix}, \quad V = \begin{pmatrix} z_1^0 & \dots & z_k^0 \\ \vdots & & \vdots \\ z_1^{k-1} & \dots & z_k^{k-1} \end{pmatrix}.$$

La matrice V risulta essere una matrice di *Vandermonde*, che è noto essere nonsingolare se e solo se gli scalari z_1, \dots, z_k che la definiscono sono distinti, come abbiamo assunto. Pertanto

$$\mathbf{c} = V^{-1}\mathbf{x}. \quad (2.17)$$

□

Una immediata, e assai importante, conseguenza segue nel caso in cui esista una *radice dominante*, ovvero di modulo massimo e che separa in modulo tutte le altre.

Corollario 2.5 *Se in (2.16) $c_k \neq 0$ e*

$$|z_1| \leq |z_2| \leq \dots \leq |z_{k-1}| < |z_k|,$$

allora

$$x_n \approx c_k z_k^n, \quad n \gg 0.$$

Dim. Infatti, per il problema discreto ai *valori iniziali* (2.13)-(2.14), vale la (2.17), in cui le componenti del vettore \mathbf{c} sono indipendenti da n . La tesi, quindi, segue dalla (2.16). □

Osservazione 2.11 *Le conclusioni del Corollario 2.5 non sono più applicabili nel caso di problemi discreti ai valori ai limiti, cioè ottenuti associando all'equazione (2.13) un insieme di condizioni ai limiti, invece che ai valori iniziali, come fatto in (2.14). Si veda, ad esempio, [6].*

Esercizio 2.12 *La successione di Fibonacci,*

$$1, 1, 2, 3, 5, 8, 13, \dots,$$

soddisfa l'equazione alle differenze

$$F_0 = F_1 = 1, \quad F_{n+1} = F_n + F_{n-1}, \quad n = 1, 2, \dots$$

Determinare l'espressione del generico elemento F_n della successione, ed il limite del rapporto

$$\frac{F_{n+1}}{F_n}, \quad n \rightarrow \infty.$$

2.9 Polinomi di Chebyshev

Gli argomenti che abbiamo appena visto riguardo alle equazioni alle differenze, trovano una immediata applicazione nella discussione riguardante famiglie di polinomi definite mediante una equazione di ricorrenza. Nello specifico, siamo interessati alla famiglia di polinomi $\{p_k(z)\}$ che soddisfano alla seguente equazione:

$$p_{k+1}(z) = 2z p_k(z) - p_{k-1}(z), \quad z \in \mathbb{C}. \quad (2.18)$$

In particolare, considereremo le successioni definite dalle seguenti condizioni iniziali:

1. $p_0(z) \equiv 1$, $p_1(z) = z$, che origina i *polinomi di Chebyshev di prima specie*, e che denoteremo con $\{T_k(z)\}$;
2. $p_{-1}(z) \equiv 0$, $p_0(z) \equiv 1$, che origina i *polinomi di Chebyshev di seconda specie*, e che denoteremo con $\{U_k(z)\}$.

Vediamo di derivare alcune proprietà dei polinomi di Chebyshev, in particolare di quelli di prima specie. Osserviamo che, per un fissato $z \in \mathbb{C}$, la successione $\{T_k(z)\}$ soddisfa l'equazione alle differenze

$$y_{k+1} = 2zy_k - y_{k-1}, \quad k = 1, 2, \dots, \quad (2.19)$$

con le condizioni iniziali

$$y_0 = 1, \quad y_1 = z. \quad (2.20)$$

Le radici del polinomio caratteristico associato alla (2.19),

$$\varphi(w) = w^2 - 2zw + 1,$$

sono

$$w_{1/2} = z \pm \sqrt{z^2 - 1}.$$

Osserviamo che $w_1 w_2 = 1$ e, pertanto, $w_2 = w_1^{-1}$. Ricercando, quindi, la soluzione nella forma $y_k = c_1 w_1^k + c_2 w_1^{-k}$, e imponendo le condizioni iniziali (2.20), si ottiene, infine,

$$\begin{aligned} T_k(z) &= \frac{1}{2} (w_1^k + w_1^{-k}) = \frac{1}{2} (e^{k \log w_1} + e^{-k \log w_1}) \\ &= \cosh k \log(z + \sqrt{z^2 - 1}). \end{aligned} \quad (2.21)$$

Dalla (2.21) si ottengono agevolmente un certo numero di proprietà, molte delle quali saranno utili nei prossimi capitoli.

Se $z \in [-1, 1]$, possiamo porre $z = \cos \theta$, con $\theta \in [0, \pi]$. Ne consegue che $w_1 = \cos \theta + i \sin \theta = e^{i\theta}$. Pertanto:

C1: $T_k(z) = T_k(\cos \theta) = \cosh k \log e^{i\theta} = \cos k\theta;$

C2: gli zeri di $T_k(z)$ sono dati da $z_j^{(k)} = \cos \frac{(2j+1)\pi}{2k}$, $j = 0, \dots, k-1$;

C3: $\max_{z \in [-1, 1]} |T_k(z)| = 1$, $T_k(\cos \frac{j}{k}\pi) = (-1)^j$, $j = 0, \dots, k$.

Inoltre, dalla equazione di ricorrenza (2.18), si ottengono facilmente anche le seguenti altre proprietà:

C4: $T_k(z)$ ha grado esatto k ed il suo coefficiente principale è 2^{k-1} ;

C5: la famiglia di polinomi $\{\hat{T}_k\}$, con $\hat{T}_k(z) \equiv 2^{1-k} T_k(z)$, è una famiglia di polinomi monici, con \hat{T}_k avente grado esatto k .

La famiglia di polinomi monici $\{\hat{T}_k\}$ è molto importante in Teoria dell'Approssimazione, in quanto fornisce la soluzione di alcuni importanti problemi di *minimassimo*. Vale, infatti, la seguente proprietà:

C6: $\max_{z \in [-1, 1]} |\hat{T}_k| = 2^{1-k} \equiv \min_{p \in \Pi'_k} \max_{z \in [-1, 1]} |p(z)|$, dove Π'_k è l'insieme dei polinomi monici di grado k .

Inoltre, fissato $\bar{z} > 1$, valgono le seguenti proprietà:

C7: $T_k(\bar{z}) > \frac{1}{2} (\bar{z} + \sqrt{\bar{z}^2 - 1})^k$;

C8: il polinomio di grado k , definito da

$$p_k(z; \bar{z}) \equiv \frac{T_k(z)}{T_k(\bar{z})},$$

è soluzione del problema di minimassimo

$$\min_{p \in \Pi_k, p(\bar{z})=1} \max_{z \in [-1,1]} |p(z)|.$$

Esercizio 2.13 *Dimostrare le proprietà C2–C8.*

Esercizio 2.14 *Per un assegnato $\bar{z} > 1$, calcolare il limite del rapporto*

$$\frac{T_{k+1}(\bar{z})}{T_k(\bar{z})}, \quad k \rightarrow \infty.$$

Esercizio 2.15 *Per un assegnato $\hat{z} < -1$, calcolare il limite del rapporto*

$$\frac{T_{k+1}(\hat{z})}{T_k(\hat{z})}, \quad k \rightarrow \infty.$$

Capitolo 3

Metodi iterativi di base

In questo capitolo studieremo i metodi iterativi di base che, anche storicamente, sono stati i primi ad essere ottenuti. Sono tutti metodi caratterizzati da una lodevole semplicità concettuale ma, in genere, hanno prestazioni inferiori, rispetto ai metodi che esamineremo nei capitoli successivi.

3.1 I metodi di Jacobi, Gauss-Seidel e SOR

Avendo in mente le caratteristiche delle matrici viste nell'esempio del primo capitolo, ovvero delle M -matrici, sarà conveniente partizionare la matrice dei coefficienti del problema,

$$A\mathbf{x} = \mathbf{b}, \quad (3.1)$$

nella forma

$$A = D - L - U, \quad (3.2)$$

dove la matrice D è diagonale, L è strettamente triangolare inferiore ed U è strettamente triangolare superiore.

Osservazione 3.1 *Nel caso in cui A sia una M -matrice, allora $D, L, U \geq 0$.*

Tenendo conto delle (3.1)-(3.2), si ottiene che la soluzione \mathbf{x}^* del sistema lineare soddisferà anche all'equazione

$$D\mathbf{x}^* = (L + U)\mathbf{x}^* + \mathbf{b}. \quad (3.3)$$

Da questa, fissato un vettore iniziale \mathbf{x}_0 , si può pensare di definire l'iterazione

$$D\mathbf{x}_{k+1} = (L + U)\mathbf{x}_k + \mathbf{b}, \quad k = 0, 1, 2, \dots, \quad (3.4)$$

che descrive il *metodo di Jacobi*. In tal caso, il nuovo punto \mathbf{x}_{k+1} è definito formalmente da

$$\mathbf{x}_{k+1} = D^{-1}(L + U)\mathbf{x}_k + D^{-1}\mathbf{b}, \quad k = 0, 1, 2, \dots,$$

ovvero si ottiene risolvendo un sistema diagonale. Ne consegue che la implementazione del metodo di Jacobi risulta essere particolarmente semplice, e richiede che gli elementi diagonali di A siano non nulli.

Chiaramente noi siamo interessati al caso in cui la procedura (3.4) sia *convergente*, ovvero quando

$$\mathbf{x}_k \rightarrow \mathbf{x}^*, \quad \text{per } k \rightarrow \infty.$$

Per stabilire quando questo avvenga, si studia l'*equazione dell'errore*, ottenuta sottraendo la (3.4) dalla (3.3). In tal caso, denotando l'errore al passo k col vettore

$$\mathbf{e}_k = \mathbf{x}^* - \mathbf{x}_k,$$

si ottiene l'equazione dell'errore

$$\mathbf{e}_{k+1} = D^{-1}(L + U)\mathbf{e}_k, \quad k = 0, 1, 2, \dots,$$

la cui soluzione si vede facilmente essere data da

$$\mathbf{e}_k = (D^{-1}(L + U))^k \mathbf{e}_0, \quad k = 0, 1, 2, \dots$$

Chiaramente, il metodo sarà convergente se e solo se

$$\mathbf{e}_k \rightarrow \mathbf{0}, \quad \text{per } k \rightarrow \infty.$$

Se ne conclude che il metodo di Jacobi sarà convergente se e solo se la corrispondente *matrice di iterazione*,

$$G_J = D^{-1}(L + U), \tag{3.5}$$

è una matrice convergente, ovvero se (vedi Teorema 2.2)

$$\rho(D^{-1}(L + U)) < 1. \tag{3.6}$$

Vedremo nel seguito delle condizioni di tipo generale per la matrice A , sotto le quali la proprietà (3.6) è garantita. Per il momento, ci limitiamo ad enunciare particolari proprietà sufficienti per garantire la convergenza del metodo di Jacobi.

Definizione 3.1 *Se $A = (a_{ij}) \in \mathbb{R}^{n \times n}$, allora A si dirà:*

- diagonale dominante per righe, se $|a_{ii}| > \sum_{j \neq i} |a_{ij}|$, $i = 1, \dots, n$;
- diagonale dominante per colonne, se $|a_{ii}| > \sum_{j \neq i} |a_{ji}|$, $i = 1, \dots, n$.

Si lascia come semplice esercizio la dimostrazione della seguente proprietà (vedi (3.5)).

Teorema 3.1 *Se A è diagonale dominante, per righe o per colonne, allora $\rho(G_J) < 1$.*

Osservazione 3.2 *Nella implementazione pratica dei metodi iterativi (come vedremo in modo più approfondito in Sezione 4.4), un criterio di arresto molto utilizzato è basato sul controllo della norma del residuo*

$$\mathbf{r}_k = \mathbf{b} - A\mathbf{x}_k.$$

In tal caso, la nuova approssimazione \mathbf{x}_{k+1} fornita al metodo di Jacobi (3.4), si vede essere ottenibile come (vedi (3.2))

$$\mathbf{x}_{k+1} = \mathbf{x}_k + D^{-1}\mathbf{r}_k.$$

Esercizio 3.1 *Scrivere un codice che implementi il metodo di Jacobi applicato al problema (1.6) in Esercizio 1.1.*

L'equazione (3.3) può anche essere riscritta come

$$(D - L)\mathbf{x}^* = U\mathbf{x}^* + \mathbf{b},$$

inducendo lo schema iterativo

$$(D - L)\mathbf{x}_{k+1} = U\mathbf{x}_k + \mathbf{b}, \quad k = 0, 1, 2, \dots, \quad (3.7)$$

che definisce il *metodo di Gauss-Seidel*. In tal caso, ad ogni passo si deve risolvere un sistema triangolare. Anche in questo caso, si richiede che la matrice D sia nonsingolare.

Procedendo come nel caso del metodo di Jacobi, l'equazione dell'errore si vede essere

$$\mathbf{e}_{k+1} = (D - L)^{-1}U\mathbf{e}_k,$$

per cui il metodo sarà convergente se e solo se la corrispondente matrice di iterazione,

$$G_{GS} = (D - L)^{-1}U, \quad (3.8)$$

ha raggio spettrale minore di 1. Riguardo alle caratteristiche della matrice A che garantiscono questa proprietà, si rimanda all'analisi, più generale, che vedremo in Sezione 3.2. Per il momento, ci limitiamo ad enunciare un risultato parziale.

Teorema 3.2 *Se la matrice A è sdp, il metodo di Gauss-Seidel è convergente.*

Dim. Se A è sdp, allora (vedi (3.2)), $U = L^\top$. Cominciamo con lo stabilire che $\lambda = 1$ non è autovalore di G_{GS} . Infatti, se così fosse, il corrispondente autovettore, sia esso \mathbf{u} sarebbe tale che $A\mathbf{u} = \mathbf{0}$ e, pertanto, A sarebbe singolare. D'altronde, se $\lambda \in \sigma(G_{GS})$, allora, detto \mathbf{v} il corrispondente autovettore, si ha:

$$L^\top \mathbf{v} = \lambda(D - L)\mathbf{v}. \quad (3.9)$$

Da questa si ottiene che

$$A\mathbf{v} \equiv (D - L - L^\top)\mathbf{v} = (1 - \lambda)(D - L)\mathbf{v}.$$

Pertanto,

$$\mathbf{v}^* A \mathbf{v} = (1 - \lambda)\mathbf{v}^*(D - L)\mathbf{v} = (1 - \bar{\lambda})\mathbf{v}^*(D - L)^\top \mathbf{v} = \mathbf{v}^* A^\top \mathbf{v}. \quad (3.10)$$

Dalla (3.9) si ottiene, quindi,

$$\begin{aligned} (1 - \bar{\lambda})\mathbf{v}^*(D - L)^\top \mathbf{v} &= (1 - \lambda)\mathbf{v}^*(D - L)\mathbf{v} = (1 - \lambda)(\mathbf{v}^* D \mathbf{v} - \mathbf{v}^* L \mathbf{v}) \\ &= (1 - \lambda)(\mathbf{v}^* D \mathbf{v} - \bar{\lambda}\mathbf{v}^*(D - L)^\top \mathbf{v}). \end{aligned}$$

Segue che

$$(1 - \bar{\lambda})\mathbf{v}^*(D - L)^\top \mathbf{v} = (|\lambda|^2 - \bar{\lambda})\mathbf{v}^*(D - L)^\top \mathbf{v} + (1 - \lambda)\mathbf{v}^* D \mathbf{v},$$

da cui

$$(1 - \lambda)\mathbf{v}^* D \mathbf{v} = (1 - |\lambda|^2)\mathbf{v}^*(D - L)^\top \mathbf{v}.$$

Moltiplicando per $(1 - \bar{\lambda})$, e tenendo conto della (3.10),

$$|1 - \lambda|^2 \mathbf{v}^* D \mathbf{v} = (1 - |\lambda|^2)(1 - \bar{\lambda})\mathbf{v}^*(D - L)^\top \mathbf{v} = (1 - |\lambda|^2)\mathbf{v}^* A \mathbf{v}.$$

Considerando che A e D sono sdp, e che $\lambda = 1$ non è autovalore, segue infine che

$$1 - |\lambda|^2 = |1 - \lambda|^2 \frac{\mathbf{v}^* D \mathbf{v}}{\mathbf{v}^* A \mathbf{v}} > 0,$$

ovvero $|\lambda| < 1$. \square

Esercizio 3.2 *Dimostrare che se A è diagonale dominante, per righe o per colonne, allora $\rho(G_{GS}) < 1$ (suggerimento: $(D - L)^{-1}U \sim U(D - L)^{-1}$).*

Osservazione 3.3 *In analogia con quanto detto nella Osservazione 3.2 per il metodo di Jacobi, anche per il metodo di Gauss-Seidel, definito il residuo al passo k come*

$$\mathbf{r}_k = \mathbf{b} - A\mathbf{x}_k,$$

la nuova approssimazione (3.7) è ottenibile risolvendo

$$(D - L)\mathbf{u}_k = \mathbf{r}_k, \quad \mathbf{x}_{k+1} = \mathbf{x}_k + \mathbf{u}_k.$$

Esercizio 3.3 *Scrivere un codice che implementi il metodo di Gauss-Seidel applicato al problema (1.6) in Esercizio 1.1.*

Una variante del metodo di Gauss-Seidel si ottiene definendo la generica componente della nuova approssimazione come combinazione, a pesi ω e $1 - \omega$ rispettivamente, di quella che fornirebbe Gauss-Seidel e di quella precedente. Poichè la matrice L nella (3.7) è strettamente triangolare inferiore, questo equivale, formalmente, a scrivere

$$\mathbf{x}_{k+1} = \omega D^{-1}(L\mathbf{x}_{k+1} + U\mathbf{x}_k + \mathbf{b}) + (1 - \omega)\mathbf{x}_k, \quad k = 0, 1, 2, \dots,$$

ovvero,

$$(D - \omega L)\mathbf{x}_{k+1} = ((1 - \omega)D + \omega U)\mathbf{x}_k + \omega\mathbf{b}, \quad k = 0, 1, 2, \dots$$

Si ottiene, in questo modo, il metodo di *sovrarilassamento*, denominato *SOR* (Successive Over Relaxation), che a volte scriveremo anche come

$$\frac{1}{\omega}(D - \omega L)\mathbf{x}_{k+1} = \frac{1}{\omega}((1 - \omega)D + \omega U)\mathbf{x}_k + \mathbf{b}, \quad k = 0, 1, 2, \dots$$

Osserviamo che l'ultima equazione è ben definita, in quanto $\omega = 0$ non è un valore ammesso (porterebbe a $\mathbf{x}_{k+1} = \mathbf{x}_k$). Inoltre, per $\omega = 1$, si riottiene il metodo di Gauss-Seidel (3.7). Più in generale, quando $0 < \omega < 1$, i due pesi sono entrambi positivi, ed il nuovo punto risulta essere una combinazione convessa di quello di Gauss-Seidel e di quello precedente. In tal caso si parla di *sottorilassamento*. Invece, per $\omega > 1$ si parla di *sovrarilassamento*.

Infine, osserviamo che l'iterazione risulta essere definita sotto la solita condizione che D sia nonsingolare.

Per quanto riguarda la convergenza del metodo SOR, un ragionamento del tutto simile a quello fatto per gli altri metodi porta all'equazione dell'errore

$$\mathbf{e}_{k+1} = (D - \omega L)^{-1}((1 - \omega)D + \omega U)\mathbf{e}_k, \quad k = 0, 1, 2, \dots,$$

e, quindi, il metodo sarà convergente se e solo se la matrice di iterazione,

$$G_\omega = (D - \omega L)^{-1}((1 - \omega)D + \omega U), \quad (3.11)$$

è convergente, ovvero, se il suo raggio spettrale, che denoteremo con ρ_ω , è minore di 1. Anche la convergenza di questo metodo sarà discussa nella prossima sezione. Si premette solo qualche risultato preliminare, che fornisce delle limitazioni sul *parametro di rilassamento* ω .

Teorema 3.3 $\rho_\omega \geq |1 - \omega|$.

Dim. Infatti, se $A \in \mathbb{R}^{n \times n}$, dalla (3.11) si ha, tenendo conto della triangolarità dei suoi fattori,

$$\begin{aligned} |\det(G_\omega)| &= |\det(I - \omega D^{-1}L)^{-1} \det((1 - \omega)I + \omega D^{-1}U)| \\ &= |1 \cdot (1 - \omega)^n| = |1 - \omega|^n \equiv \prod_{\lambda \in \sigma(G_\omega)} |\lambda| \leq \rho_\omega^n. \end{aligned}$$

□

Corollario 3.1 $\rho_\omega < 1 \Rightarrow \omega \in (0, 2)$.

Osservazione 3.4 *Ovviamente, la scelta più appropriata per il parametro di rilassamento ω sarebbe quella per la quale ρ_ω è minimizzato. Non approfondiremo oltre questo aspetto, per il quale si rimanda alla estensiva trattazione in [25].*

Esercizio 3.4 *Scrivere un codice che implementi il metodo SOR applicato al problema (1.6) in Esercizio 1.1 e confrontare i valori $\omega = 0.5, 1, 1.5$, per diversi valori di N .*

3.2 Splitting regolari di matrici

I metodi visti fino ad ora per risolvere il sistema lineare (3.1), sono tutti del tipo

$$M\mathbf{x}_{k+1} = N\mathbf{x}_k + \mathbf{b}, \quad k = 0, 1, 2, \dots, \quad (3.12)$$

dove

$$A = M - N, \quad \det(M) \neq 0. \quad (3.13)$$

Definizione 3.2 *Due matrici M ed N che soddisfino alle proprietà (3.13), definiscono uno splitting della matrice A . Se, inoltre,*

$$M^{-1} \geq 0, \quad N \geq 0,$$

allora lo splitting si dice regolare per tale matrice.

Ad esempio:

- $M_J = D$ e $N_J = L + U$ definisce il metodo di Jacobi;
- $M_{GS} = D - L$ e $N_{GS} = U$ definisce il metodo di Gauss-Seidel;
- $M_\omega = \omega^{-1}(D - \omega L)$ e $N_\omega = \omega^{-1}((1 - \omega)D + \omega U)$ definisce il metodo SOR con parametro di rilassamento ω .

Esercizio 3.5 *Dimostrare che, nel caso $D, L, U \geq 0$,*

- *gli splitting di Jacobi e Gauss-Seidel sono regolari;*
- *lo splitting di SOR è regolare per $0 < \omega \leq 1$.*

Osservazione 3.5 *Considerazioni simili a quelle viste nelle Osservazioni 3.2 e 3.3 per i metodi di Jacobi e Gauss-Seidel, possono essere fatte per il generico metodo iterativo (3.12): se*

$$\mathbf{r}_k = \mathbf{b} - A\mathbf{x}_k,$$

è il residuo al passo k , allora dalla (3.13) segue che

$$M\mathbf{u}_k = \mathbf{r}_k, \quad \mathbf{x}_{k+1} = \mathbf{x}_k + \mathbf{u}_k.$$

Le proprietà degli splitting regolari hanno importanti ricadute sulla convergenza del metodo iterativo (3.12), che risulta essere convergente se e solo se

$$\rho(M^{-1}N) < 1. \quad (3.14)$$

Vale, infatti, il seguente risultato.

Teorema 3.4 *Se lo splitting (3.13) è regolare, e $A^{-1} \geq 0$, allora vale (3.14), ovvero il metodo iterativo (3.12) è convergente.*

Dim. Cominciamo con l'osservare che, poiché lo splitting è regolare,

$$0 \leq M^{-1}N = (A + N)^{-1}N = (I + A^{-1}N)^{-1}A^{-1}N.$$

Ora, se $\tau \in \sigma(A^{-1}N)$ e \mathbf{v} è il corrispondente autovettore, allora

$$\begin{aligned} A^{-1}N\mathbf{v} = \tau\mathbf{v}, & \Leftrightarrow (I + A^{-1}N)^{-1}\mathbf{v} = (1 + \tau)^{-1}\mathbf{v} \\ & \Leftrightarrow (I + A^{-1}N)^{-1}A^{-1}N\mathbf{v} = \tau(1 + \tau)^{-1}\mathbf{v}, \end{aligned}$$

ovvero

$$\lambda = \frac{\tau}{1 + \tau}$$

è autovalore di $M^{-1}N$, con autovettore \mathbf{v} . Osserviamo che, essendo $M = (A + N)$ nonsingolare per ipotesi, allora τ non può assumere il valore -1 . Inoltre, dal Teorema 2.6, segue che l'autovalore di massimo modulo, sia esso λ , è reale e non negativo, con un autovettore $\mathbf{v} \geq 0$. Per quanto visto innanzi, ad esso corrisponderà un autovalore τ di $A^{-1}N$, che è una matrice non negativa, per l'ipotesi $A^{-1} \geq 0$. Poichè $\lambda \geq 0$, segue che $\tau \geq 0$ o $\tau < -1$. L'ultima possibilità è però preclusa dal fatto che il corrispondente autovettore di $M^{-1}N$, $\mathbf{v} \geq 0$, è anche autovettore di $A^{-1}N$. Infatti, in caso contrario, si avrebbe:

$$0 \leq A^{-1}N\mathbf{v} = \tau\mathbf{v} \leq -\mathbf{v} \leq 0,$$

dove la prima disuguaglianza segue dal fatto che $A^{-1}N \geq 0$ e $\mathbf{v} \geq 0$. Pertanto, all'autovalore λ corrisponderà un autovalore $\tau \geq 0$. La tesi si completa osservando che la funzione

$$f(\tau) = \frac{\tau}{1 + \tau}$$

è, per $\tau \geq 0$, crescente e strettamente minore di 1. \square

Valgono i seguenti risultati, la cui dimostrazione è lasciata come esercizio.

Corollario 3.2 *Se lo splitting (3.13) è regolare, e A è una M -matrice, allora il metodo iterativo (3.12) è convergente.*

Corollario 3.3 *Se A è una M -matrice e la matrice M dello splitting (3.13) è ottenuta ponendo a zero qualche elemento extra-diagonale, allora il metodo iterativo (3.12) è convergente.*

Vediamo ora alcuni risultati che consentono di comparare la velocità di convergenza di metodi iterativi definiti da splitting regolari.

Teorema 3.5 *Siano $A = M_1 - N_1 = M_2 - N_2$ due splitting regolari di A , matrice tale che $A^{-1} \geq 0$. Se $N_1 \leq N_2$, allora $\rho(M_1^{-1}N_1) \leq \rho(M_2^{-1}N_2)$.*

Dim. Per ipotesi, $0 \leq N_1 \leq N_2$ e $A^{-1} \geq 0$. Ne consegue che $0 \leq A^{-1}N_1 \leq A^{-1}N_2$ e, quindi, dal Teorema 2.7, $\rho(A^{-1}N_1) \leq \rho(A^{-1}N_2)$. La tesi discende infine dal fatto che

$$\rho(M_1^{-1}N_1) = \frac{\rho(A^{-1}N_1)}{1 + \rho(A^{-1}N_1)} \leq \frac{\rho(A^{-1}N_2)}{1 + \rho(A^{-1}N_2)} = \rho(M_2^{-1}N_2).$$

\square

Da questo risultato si possono trarre alcune significative conclusioni.

Corollario 3.4 *Se A è una M -matrice, allora (vedi (3.5), (3.8) e (3.11)),*

- $\rho(G_{GS}) \leq \rho(G_J)$;
- se $0 \leq \omega_1 \leq \omega_2 \leq 1$: $\rho(G_{GS}) \leq \rho(G_{\omega_2}) \leq \rho(G_{\omega_1}) < 1$.

Dim. Infatti, entrambi gli splitting al primo punto risultano essere regolari e (vedi (3.2)) $N_J = L + U \geq U = N_{GS} \geq 0$.

Il secondo punto discende, analogamente, dal fatto che

$$N_{\omega_1} \equiv \frac{1 - \omega_1}{\omega_1} D + U \geq N_{\omega_2} \equiv \frac{1 - \omega_2}{\omega_2} D + U \geq N_{GS} \equiv U.$$

□

Osservazione 3.6 *Da questo ultimo risultato, segue che, nel caso di M -matrici, il metodo di Gauss-Seidel converge più velocemente, in genere, di quello di Jacobi, come anche di SOR, se il parametro di rilassamento è più piccolo di 1. Se ne conclude che, quest'ultimo, dovrebbe essere scelto (vedi Corollario 3.1) nell'intervallo $[1, 2)$.*

Ad esempio (vedi [24, 25]), nel caso della matrice dell'equazione (1.6) in Esercizio 1.1, si può dimostrare che

1. $\rho(G_{GS}) = \rho(G_J)^2$;
2. il parametro di rilassamento che minimizza $\rho(G_\omega)$ è dato da

$$\omega^* = 1 + \left(\frac{\rho(G_J)}{1 + \sqrt{1 - \rho(G_{GS})}} \right)^2.$$

Evidentemente, $\rho(G_{\omega^}) \leq \rho(G_{GS})$.*

Come esempio illustrativo, in Figura 3.1 sono riportati i grafici dei raggi spettrali dei metodi di Jacobi, Gauss-Seidel, e di SOR in funzione del parametro di rilassamento ω , relativi al problema su menzionato, per $N = 10$. In tal caso, si ottiene che:

$$\rho(G_J) \approx 0.96, \quad \rho(G_{GS}) \approx 0.92, \quad \omega^* \approx 1.56, \quad \rho(G_{\omega^*}) \approx 0.57. \quad (3.15)$$

Se ne conclude che il potenziale guadagno nell'utilizzo di SOR è notevole, a patto di conoscere il parametro di rilassamento ottimale.

Esercizio 3.6 *Costruire una procedura che calcoli i dati per ottenere la Figura 3.1.*

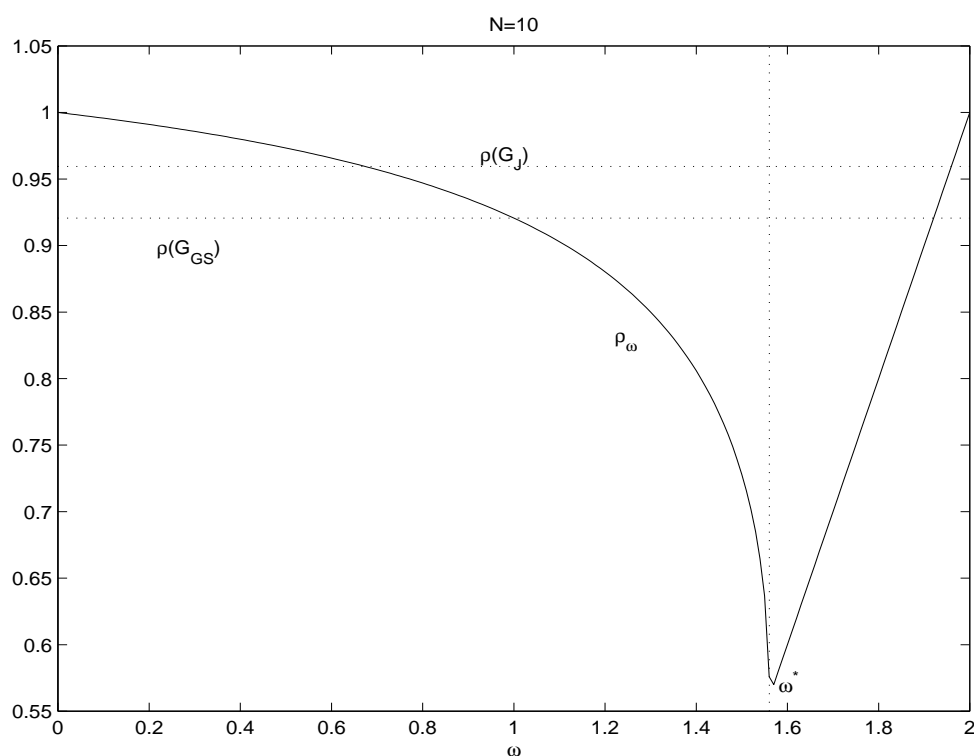


Figura 3.1: Raggio spettrale di SOR in funzione del parametro di rilassamento ω , relativo al problema (1.6) dell'Esercizio 1.1, $N = 10$.

Esercizio 3.7 *Sempre con riferimento ai metodi descritti in Figura 3.1, si supponga di utilizzarli per risolvere il problema (1.6) partendo da un punto iniziale cui corrisponde un errore di norma uguale ad 1. Tenendo conto del fatto che una iterata del metodo di Gauss-Seidel ha praticamente lo stesso costo di quella di Jacobi, che sono approssimativamente i 5/6 del costo dell'iterazione di SOR, qual'è il potenziale guadagno (stimato), rispetto al metodo di Jacobi, dei metodi di Gauss-Seidel e di SOR con parametro ottimale ω^* , se $N = 10$ e si desidera abbattere l'errore di un fattore 10^6 ?*

3.3 Generalizzazione a blocchi dei metodi

Il precedente criterio di confronto per splitting regolari, dato dal risultato del Teorema 3.5, fornisce il supporto teorico che giustifica la estensione a blocchi dei metodi su esaminati. Vedremo i dettagli per i metodi di Jacobi e Gauss-Seidel, in quanto l'estensione ad SOR è del tutto simile.

Quanto andiamo a dire si applica in modo naturale a M -matrici con una struttura a blocchi della forma vista in (1.5). Infatti, il partizionamento (3.2) da origine agli splitting regolari

$$M_J = D, \quad N_J = L + U, \quad M_{GS} = D - L, \quad N_{GS} = U,$$

cui corrispondono i metodi di Jacobi e Gauss-Seidel, rispettivamente, che sono, in questo caso, convergenti (vedi Corollario 3.2). Si può, tuttavia, considerare anche il partizionamento a blocchi

$$A = \hat{D} - \hat{L} - \hat{U},$$

che, nel caso della matrice (1.5), è definito da

$$\hat{D} = \begin{pmatrix} A_1 & & & \\ & A_2 & & \\ & & \ddots & \\ & & & A_N \end{pmatrix}, \quad \hat{L} = \hat{U}^\top = \begin{pmatrix} O & & & \\ I_N & O & & \\ & \ddots & \ddots & \\ & & I_N & O \end{pmatrix}.$$

Questo induce naturalmente gli splitting

$$\hat{M}_J = \hat{D}, \quad \hat{N}_J = \hat{L} + \hat{U}, \quad \hat{M}_{GS} = \hat{D} - \hat{L}, \quad \hat{N}_{GS} = \hat{U}, \quad (3.16)$$

che definiscono le *versioni a blocchi* dei metodi di Jacobi e Gauss-Seidel, rispettivamente.

Esercizio 3.8 *Dimostrare che, nel caso in cui A sia una M -matrice, allora gli splitting (3.16) sono regolari e, pertanto, i corrispondenti metodi iterativi sono convergenti.*

A questo punto, dal Teorema 3.5 segue facilmente che, nel caso di M -matrici,

$$\rho(\hat{G}_J) \leq \rho(G_J), \quad \rho(\hat{G}_{GS}) \leq \rho(G_{GS}), \quad (3.17)$$

dove

$$\hat{G}_J = \hat{M}_J^{-1} \hat{N}_J, \quad \hat{G}_{GS} = \hat{M}_{GS}^{-1} \hat{N}_{GS},$$

sono le matrici di iterazione dei metodi di Jacobi e Gauss-Seidel a blocchi, rispettivamente. Come esempio, nel caso della matrice esaminata nella Osservazione 3.6, si ottiene (confrontare con (3.15))

$$\rho(\hat{G}_J) \approx 0.92, \quad \rho(\hat{G}_{GS}) \approx 0.85.$$

Esercizio 3.9 *Dimostrare le disuguaglianze (3.17).*

3.4 Il metodo semi-iterativo di Chebyshev

Si supponga di aver generato approssimazioni

$$\mathbf{x}_0, \mathbf{x}_1, \dots, \mathbf{x}_j, \quad (3.18)$$

della soluzione, sia essa \mathbf{x}^* , dell'equazione (3.1), mediante il metodo iterativo (3.12), la cui matrice di iterazione,

$$G = M^{-1}N,$$

supponiamo essere simmetrica e convergente. Pertanto, per una data matrice ortogonale V ,

$$G = V\Lambda V^T, \quad \Lambda = \begin{pmatrix} \lambda_1 & & \\ & \ddots & \\ & & \lambda_n \end{pmatrix}, \quad (3.19)$$

dove i suoi autovalori saranno

$$-1 < \alpha \leq \lambda_1 \leq \lambda_2 \leq \dots \leq \lambda_n \leq \beta < 1. \quad (3.20)$$

Per il momento, supporremo che gli scalari $-1 < \alpha < \beta < 1$ siano noti.

Vogliamo ora determinare dei coefficienti $\{c_{kj}\}$ tali che il vettore

$$\mathbf{x}^{(j)} = \sum_{k=0}^j c_{kj} \mathbf{x}_k \quad (3.21)$$

sia una approssimazione della soluzione \mathbf{x}^* migliore di quelle iniziali (3.18). Poichè nel caso in cui $\mathbf{x}_k = \mathbf{x}^*$, $k = 0, \dots, j$, è lecito aspettarsi $\mathbf{x}^{(j)} = \mathbf{x}^*$, dalla (3.21) segue che i coefficienti $\{c_{kj}\}$ devono soddisfare al vincolo

$$\sum_{k=0}^j c_{kj} = 1. \quad (3.22)$$

Fissato questo vincolo, scegliamo i coefficienti $\{c_{kj}\}$ in modo da minimizzare, in qualche senso, l'errore $\mathbf{e}^{(j)} = \mathbf{x}^* - \mathbf{x}^{(j)}$. Osserviamo che, per la (3.22), si ha

$$\mathbf{e}^{(j)} = \mathbf{x}^* - \mathbf{x}^{(j)} = \mathbf{x}^* - \sum_{k=0}^j c_{kj} \mathbf{x}_k = \sum_{k=0}^j c_{kj} (\mathbf{x}^* - \mathbf{x}_k) \equiv \sum_{k=0}^j c_{kj} \mathbf{e}_k.$$

Inoltre, poichè le approssimazioni (3.18) sono state ottenute dall'iterazione (3.12), segue che gli errori soddisfano all'equazione

$$\mathbf{e}_{k+1} = G\mathbf{e}_k \equiv M^{-1}N\mathbf{e}_k, \quad k = 0, 1, 2, \dots,$$

e, pertanto,

$$\mathbf{e}^{(j)} = \sum_{k=0}^j c_{kj} G^k \mathbf{e}_0 \equiv p_j(G)\mathbf{e}_0,$$

dove $p_j \in \Pi_j$ è un polinomio che deve anche soddisfare al vincolo (vedi (3.22))

$$p_j(1) = \sum_{k=0}^j c_{kj} = 1.$$

Osservando che

$$\|\mathbf{e}^{(j)}\| = \|p_j(G)\mathbf{e}_0\| \leq \|p_j(G)\| \cdot \|\mathbf{e}_0\|,$$

al fine di rendere la soluzione indipendente dalla scelta del vettore iniziale, e quindi da \mathbf{e}_0 , potremmo ricercare p_j come soluzione del seguente problema di minimo,

$$p_j = \arg \min_{p \in \Pi_j, p(1)=1} \|p(G)\|.$$

Tuttavia, se la norma utilizzata è la norma $\|\cdot\|_2$, dalla (3.19) segue che:

$$\|p(G)\| = \|p(V\Lambda V^T)\| = \|Vp(\Lambda)V^T\| = \|p(\Lambda)\| = \max_{\lambda \in \sigma(G)} |p(\lambda)|. \quad (3.23)$$

Questo presuppone però la conoscenza dello spettro di G , cosa assai improbabile. Quello che noi supporremo di conoscere è un intervallo di inclusione, $[\alpha, \beta]$, come definito in (3.20). Pertanto, usando la maggiorazione

$$\max_{\lambda \in \sigma(G)} |p(\lambda)| \leq \max_{\alpha \leq \lambda \leq \beta} |p(\lambda)|,$$

possiamo scegliere il polinomio p_j come soluzione del seguente problema di minimissimo vincolato:

$$p_j = \arg \min_{p \in \Pi_j, p(1)=1} \max_{\alpha \leq \lambda \leq \beta} |p(\lambda)|.$$

La soluzione di questo problema (vedi proprietà C8 in Sezione 2.9), è data da

$$p_j(x) = \frac{T_j(\mu(x))}{T_j(\mu(1))}, \quad \mu(x) = \frac{2x - \alpha - \beta}{\beta - \alpha}, \quad (3.24)$$

dove T_j è il j -esimo polinomio di Chebyshev di prima specie. Poichè per $x \in [\alpha, \beta]$, $\mu(x) \in [-1, 1]$, e $\mu(1) > 1$, si conclude facilmente che (vedi proprietà C3 e C7 in Sezione 2.9)

$$\begin{aligned} \max_{\alpha \leq \lambda \leq \beta} |p_j(\lambda)| &= \frac{1}{|T_j(\mu(1))|} = \frac{1}{T_j(\mu(1))} \\ &\leq 2 \left(\mu(1) + \sqrt{\mu(1)^2 - 1} \right)^{-j} \rightarrow 0, \quad \text{per } j \rightarrow \infty. \end{aligned} \quad (3.25)$$

Osserviamo che

$$\mu(1) = 1 + 2 \frac{1 - \beta}{\beta - \alpha},$$

con, idealmente, $\alpha = \lambda_1$, $\beta = \lambda_n$. Tuttavia, tali valori sono in generale non noti, per cui valori di α e β come in (3.20) sono in generale utilizzati. Tuttavia, se α e β sono vicini ai rispettivi estremi (-1 e 1), allora $\mu(1) \approx 1$ e, quindi, l'errore si smorza assai lentamente. Viceversa, se $[\alpha, \beta]$ non contiene l'inviluppo convesso di $\sigma(G)$, allora la (3.25) non è più valida.

In conclusione, esiste il problema della scelta ottimale dei parametri α e β , del tutto analogo alla scelta ottimale del parametro di rilassamento ω in SOR.

Esercizio 3.10 *Dimostrare la (3.25).*

Osservazione 3.7 *Il metodo risultante dalla (3.24), denominato metodo semi-iterativo di Chebyshev, è effettivamente semi-iterativo, perchè il numero di iterazioni per abbattere l'errore di un prefissato fattore può essere determinato a priori, per esempio dalla (3.25).*

Osservazione 3.8 *Nel caso in cui la matrice G non sia simmetrica, ma sia diagonalizzabile con autovalori reali,*

$$G = V\Lambda V^{-1},$$

Λ come in (3.19)-(3.20), il metodo semi-iterativo di Chebyshev risulta essere ancora efficace. Infatti, in questo caso (vedi (3.23)),

$$\|p(G)\| = \|p(V\Lambda V^{-1})\| = \|Vp(\Lambda)V^{-1}\| \leq \kappa_2(V) \cdot \|p(\Lambda)\|,$$

dove $\kappa(V)$ è il numero di condizione (in norma-2) della matrice V .

Anche supponendo che il problema della scelta ottimale dei parametri α e β sia stato risolto, nondimeno l'implementazione del metodo semi-iterativo di Chebyshev richiede una attenta analisi, al fine di renderla efficiente. Infatti, la formulazione appena vista prevederebbe di dover conservare tutte

le approssimazioni (3.18) precedentemente generate dal metodo iterativo di base (3.12). In realtà, è possibile evitare questo, osservando che i polinomi di Chebyshev di prima specie soddisfano all'equazione alle differenze

$$T_{k+1}(x) = 2xT_k(x) - T_{k-1}(x), \quad k \geq 1, \quad T_0(x) \equiv 1, \quad T_1(x) = x.$$

Definendo, quindi, la successione $\{\gamma_k\}$, dove (vedi (3.24)) $\gamma_k = T_k(\mu(1))$,

$$\gamma_{k+1} = 2\mu(1)\gamma_k - \gamma_{k-1}, \quad k \geq 1, \quad \gamma_0 = 1, \quad \gamma_1 = \mu(1),$$

è possibile quindi ottenere una relazione di ricorrenza per i polinomi $\{p_k(x)\}$:

$$p_{k+1}(x) = \frac{T_{k+1}(\mu(x))}{T_{k+1}(\mu(1))} = \frac{1}{\gamma_{k+1}} (2\mu(x)\gamma_k p_k(x) - \gamma_{k-1} p_{k-1}(x)).$$

Considerando che

$$\mathbf{e}^{(k)} = \mathbf{x}^* - \mathbf{x}^{(k)} = p_k(G)\mathbf{e}_0,$$

si ottiene, ponendo

$$\mu(G) = (\beta - \alpha)^{-1} (2G - (\alpha + \beta)I), \quad (3.26)$$

$$\mathbf{x}^{(k+1)} = 2\frac{\gamma_k}{\gamma_{k+1}}\mu(G)\mathbf{x}^{(k)} - \frac{\gamma_{k-1}}{\gamma_{k+1}}\mathbf{x}^{(k-1)} + \left(I - 2\frac{\gamma_k}{\gamma_{k+1}}\mu(G) + \frac{\gamma_{k-1}}{\gamma_{k+1}}I \right) \mathbf{x}^*, \quad (3.27)$$

in cui \mathbf{x}^* non è, ovviamente, nota. Tuttavia, dalla relazione

$$(I - G)\mathbf{x}^* = (I - M^{-1}N)\mathbf{x}^* = M^{-1}(M - N)\mathbf{x}^* = M^{-1}A\mathbf{x}^* = M^{-1}\mathbf{b},$$

si ottiene:

$$\begin{aligned} & \left(I - 2\frac{\gamma_k}{\gamma_{k+1}}\mu(G) + \frac{\gamma_{k-1}}{\gamma_{k+1}}I \right) \mathbf{x}^* = \\ & = \frac{1}{\gamma_{k+1}} ((\gamma_{k+1} - 2\mu(1)\gamma_k + \gamma_{k-1})I + 2\gamma_k(\mu(1)I - \mu(G))) \mathbf{x}^* \\ & = 2\frac{\gamma_k}{\gamma_{k+1}}(\mu(1)I - \mu(G))\mathbf{x}^* = \frac{\gamma_k}{\gamma_{k+1}} \frac{4}{\beta - \alpha} (I - G)\mathbf{x}^* \\ & = \frac{\gamma_k}{\gamma_{k+1}} \frac{4}{\beta - \alpha} M^{-1}\mathbf{b}. \end{aligned}$$

Da questa equazione e dalla (3.27) si ottiene, infine, tenendo conto della (3.26),

$$\mathbf{x}^{(k+1)} = \frac{\gamma_k}{\gamma_{k+1}} \frac{4}{\beta - \alpha} M^{-1}(N\mathbf{x}^{(k)} + \mathbf{b}) - \frac{\gamma_k}{\gamma_{k+1}} \frac{2(\alpha + \beta)}{\beta - \alpha} \mathbf{x}^{(k)} - \frac{\gamma_{k-1}}{\gamma_{k+1}} \mathbf{x}^{(k-1)}.$$

Tutti questi argomenti possono essere riassunti nel seguente algoritmo, che descrive la implementazione efficiente del metodo semi-iterativo di Chebyshev.

Algoritmo 3.1 Metodo semi-iterativo di Chebyshev.

siano assegnati α, β ed il vettore iniziale $\mathbf{x}^{(0)}$
 inizializzo $\gamma_0 = 1, \gamma_1 = \mu(1)$
 risolvo $M\mathbf{x}^{(1)} = N\mathbf{x}^{(0)} + \mathbf{b}$
 per $k = 1, 2, \dots$:

$$\gamma_{k+1} = 2\mu(1)\gamma_k - \gamma_{k-1}$$
 risolvo $M\mathbf{z}_k = N\mathbf{x}^{(k)} + \mathbf{b}$

$$\mathbf{x}^{(k+1)} = \frac{\gamma_k}{\gamma_{k+1}} \frac{4}{\beta - \alpha} \mathbf{z}_k - \frac{\gamma_k}{\gamma_{k+1}} \frac{2(\alpha + \beta)}{\beta - \alpha} \mathbf{x}^{(k)} - \frac{\gamma_{k-1}}{\gamma_{k+1}} \mathbf{x}^{(k-1)}$$
 fine per

3.5 Il metodo SOR simmetrico (SSOR)

Abbiamo visto che il metodo semi-iterativo di Chebyshev può essere applicato quando la matrice di iterazione del metodo sottostante (3.12),

$$G = M^{-1}N$$

è simmetrica o, almeno, simile ad una matrice simmetrica. Sarebbe auspicabile che questo avvenisse, quando la matrice A è sdp.

Questo sicuramente avviene per il metodo di Jacobi. Infatti, in questo caso, se $A = D - L - L^\top$, con D nonsingolare, allora

$$G = D^{-1}(L + L^\top) \sim D^{-\frac{1}{2}}(L + L^\top)D^{-\frac{1}{2}},$$

che è simmetrica.

Tuttavia, il metodo di Jacobi è, tra i metodi iterativi di base, quello con le caratteristiche di convergenza meno favorevoli. Sarebbe, pertanto, auspicabile che la stessa proprietà valesse per i metodi di Gauss-Seidel e SOR. Questo non è però sempre garantito, per cui si procede, ora, a definire il *metodo SOR simmetrico (SSOR)*, che include, come caso particolare relativo a $\omega = 1$, la simmetrizzazione del metodo di Gauss-Seidel.

Si procede, innanzitutto, a scalare simmetricamente la diagonale di A . Se

$$A\mathbf{x} = \mathbf{b}, \quad A = D - L - L^\top,$$

allora questo equivale a risolvere

$$\hat{A}\hat{\mathbf{x}} = \hat{\mathbf{b}},$$

dove $\hat{A} = D^{-\frac{1}{2}}AD^{-\frac{1}{2}}$, $\hat{\mathbf{b}} = D^{-\frac{1}{2}}\mathbf{b}$, $\hat{\mathbf{x}} = D^{\frac{1}{2}}\mathbf{x}$. Pertanto:

$$\hat{A} = I - \hat{L} - \hat{L}^\top, \quad \hat{L} = D^{-\frac{1}{2}}LD^{-\frac{1}{2}}.$$

Osserviamo che, se

$$\hat{M}_\omega = \omega^{-1}(I - \omega\hat{L}), \quad \hat{N}_\omega = \omega^{-1}((1 - \omega)I + \omega\hat{L}^\top), \quad (3.28)$$

allora

$$\hat{A} = \hat{M}_\omega - \hat{N}_\omega = \hat{M}_\omega^\top - \hat{N}_\omega^\top$$

sono entrambi splitting di \hat{A} . Conseguentemente, si può suddividere il passo di SOR in 2 passi consecutivi simmetrici:

$$\hat{M}_\omega\hat{\mathbf{x}}_{k+\frac{1}{2}} = \hat{N}_\omega\hat{\mathbf{x}}_k + \hat{\mathbf{b}}, \quad \hat{M}_\omega^\top\hat{\mathbf{x}}_{k+1} = \hat{N}_\omega^\top\hat{\mathbf{x}}_{k+\frac{1}{2}} + \hat{\mathbf{b}},$$

che, cumulativamente, danno l'iterazione

$$\hat{\mathbf{x}}_{k+1} = \left(\hat{M}_\omega^{-T}\hat{N}_\omega^\top\hat{M}_\omega^{-1}\hat{N}_\omega\right)\hat{\mathbf{x}}_k + \hat{M}_\omega^{-T}\left(I + \hat{N}_\omega^\top\hat{M}_\omega^{-1}\right)\hat{\mathbf{b}}. \quad (3.29)$$

Considerando che (vedi (3.28)) \hat{M}_ω e \hat{N}_ω^\top commutano, si ha che la matrice di iterazione,

$$\hat{G}_\omega = \hat{M}_\omega^{-T}\hat{N}_\omega^\top\hat{M}_\omega^{-1}\hat{N}_\omega = \hat{M}_\omega^{-T}\hat{M}_\omega^{-1}\hat{N}_\omega^\top\hat{N}_\omega, \quad (3.30)$$

risulta essere simile ad una matrice simmetrica. Infatti, $B_\omega \equiv \hat{N}_\omega^\top\hat{N}_\omega$ è simmetrica e semi-definita positiva e, quindi,

$$\hat{G}_\omega \sim \hat{M}_\omega^{-1}B_\omega\hat{M}_\omega^{-T},$$

che è simmetrica e semi-definita positiva. Pertanto, \hat{G}_ω è diagonalizzabile, con autovalori reali e non negativi, ed il metodo semi-iterativo di Chebyshev è applicabile. È per questo motivo che il metodo, definito formalmente dall'iterazione (3.29), è denominato SOR simmetrico (SSOR).

Osservazione 3.9 *Le matrici di iterazione del metodo SOR, G_ω (vedi (3.11)), e quella del metodo SSOR, \hat{G}_ω (vedi (3.30)), hanno, in generale, differenti raggi spettrali. A riprova di questo, in Figura 3.2 si riportano i corrispondenti raggi spettrali, per $\omega \in [0, 2]$, relativamente al problema (1.6) dell'Esercizio 1.1, $N = 10$. Per confrontare adeguatamente le due curve bisogna, tuttavia, considerare che una iterazione di SSOR ha un costo computazionale doppio rispetto a quella di SOR.*

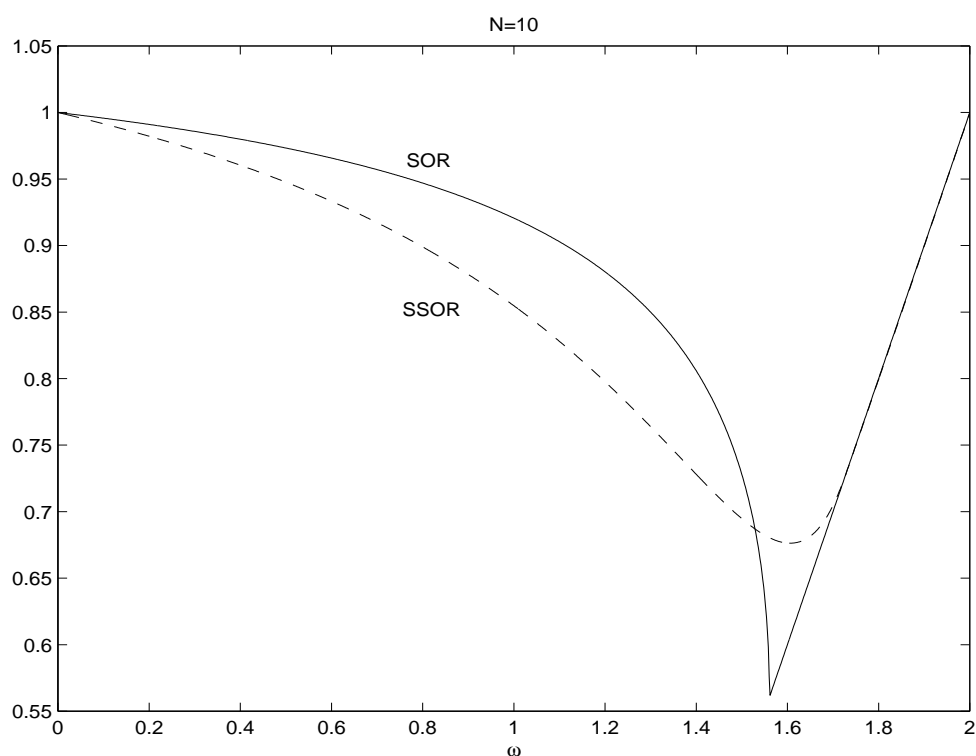


Figura 3.2: Raggio spettrale di SOR e SSOR in funzione del parametro di rilassamento ω , relativo al problema (1.6) dell'Esercizio 1.1, $N = 10$.

Esercizio 3.11 *Scrivere un codice che implementi il metodo semi-iterativo di Chebyshev, applicato a SSOR, per il problema (1.6) in Esercizio 1.1.*

Esercizio 3.12 *Si supponga che, per un dato metodo iterativo, la matrice di iterazione sia simmetrica e con autovalori nell'intervallo $[-0.5, 0.5]$. Quante iterazioni del metodo semi-iterativo di Chebyshev sono richieste, al fine di ridurre l'errore iniziale di un fattore (almeno) 10^6 ? Quante iterazioni richiederebbe il metodo iterativo di base? (Considerare che $\log_2(2 + \sqrt{3}) \approx 1.9$).*

Capitolo 4

Il caso A sdp

In questa sezione tratteremo il metodo del gradiente coniugato (GC), che è convenientemente impiegato nel caso in cui la matrice A del problema,

$$A\mathbf{x} = \mathbf{b}, \quad (4.1)$$

sia $n \times n$ e sdp.

4.1 Fattorizzazione $AU = UT$

Cominciamo con il ricercare la seguente fattorizzazione della matrice A :

$$AU = UT \equiv (\mathbf{u}_1 \dots \mathbf{u}_n) \begin{pmatrix} \gamma_1 & \beta_1 & & \\ 1 & \ddots & \ddots & \\ & \ddots & \ddots & \beta_{n-1} \\ & & 1 & \gamma_n \end{pmatrix}, \quad (4.2)$$

$$U^T BU = D \equiv \begin{pmatrix} d_1 & & \\ & \ddots & \\ & & d_n \end{pmatrix},$$

in cui si assume che:

CG1: B sia sdp;

CG2: $AB = BA$.

Osserviamo che la seconda condizione in (4.2) implica che i vettori $\{\mathbf{u}_i\}$ sono B -ortogonali. Dal Teorema 2.3 segue che, se essi sono non nulli, allora sono linearmente indipendenti.

Vediamo in che modo sia possibile determinare la fattorizzazione (4.2), ovvero i vettori $\{\mathbf{u}_i\}$ e gli scalari $\{\gamma_i\}$, $\{\beta_i\}$ e $\{d_i\}$. Dalla seconda equazione, segue immediatamente che

$$d_i = \mathbf{u}_i^\top B \mathbf{u}_i \equiv \|\mathbf{u}_i\|_B^2, \quad i = 1, \dots, n. \quad (4.3)$$

Inoltre, moltiplicando la prima equazione, membro a membro, per $U^\top B$, si ottiene:

$$U^\top B A U = U^\top B U T = D T,$$

da cui segue che

$$d_i \gamma_i = E_i^\top D T E_i = E_i^\top U^\top B A U E_i = (U E_i)^\top B A (U E_i) = \mathbf{u}_i^\top B A \mathbf{u}_i,$$

e, quindi,

$$\gamma_i = \frac{\mathbf{u}_i^\top B A \mathbf{u}_i}{d_i}, \quad i = 1, \dots, n. \quad (4.4)$$

Similmente, si ottiene

$$\begin{aligned} d_{i-1} \beta_{i-1} &= E_{i-1}^\top D T E_i = E_{i-1}^\top U^\top B A U E_i \\ &= (U E_{i-1})^\top B A (U E_i) = \mathbf{u}_{i-1}^\top B A \mathbf{u}_i, \end{aligned}$$

che dalla CG2, e considerando che

$$A \mathbf{u}_i = A U E_i = U T E_i = \beta_{i-1} \mathbf{u}_{i-1} + \gamma_i \mathbf{u}_i + \mathbf{u}_{i+1}, \quad (4.5)$$

permette di ricavare

$$\begin{aligned} \beta_{i-1} &= \frac{\mathbf{u}_{i-1}^\top B A \mathbf{u}_i}{d_{i-1}} = \frac{\mathbf{u}_i^\top B A \mathbf{u}_{i-1}}{d_{i-1}} \\ &= \frac{\mathbf{u}_i^\top B (\beta_{i-2} \mathbf{u}_{i-2} + \gamma_{i-1} \mathbf{u}_{i-1} + \mathbf{u}_i)}{d_{i-1}} = \frac{\mathbf{u}_i^\top B \mathbf{u}_i}{d_{i-1}} = \frac{d_i}{d_{i-1}}. \end{aligned} \quad (4.6)$$

Per convenzione, nella (4.5) poniamo $\beta_0 = 0$ e $\mathbf{u}_{n+1} = \mathbf{0}$. Le relazioni (4.3)–(4.6) permettono di definire l'Algoritmo 4.1, che è semi-iterativo e risulta essere definito fintantoché il vettore \mathbf{u}_i corrente è non nullo.

Algoritmo 4.1 *Fattorizzazione (4.2).*

sia assegnato un vettore iniziale \mathbf{u}_1

per $i=1, \dots, n$:

$$\mathbf{v}_i = A\mathbf{u}_i$$

$$\mathbf{z}_i = B\mathbf{u}_i$$

$$d_i = \mathbf{u}_i^\top \mathbf{z}_i$$

$$\gamma_i = \mathbf{v}_i^\top \mathbf{z}_i / d_i$$

se $i = 1, \beta_0 = 0$, altrimenti, $\beta_{i-1} = d_i / d_{i-1}$, fine se

$$\mathbf{u}_{i+1} = \mathbf{v}_i - \gamma_i \mathbf{u}_i - \beta_{i-1} \mathbf{u}_{i-1}$$

fine per

Riguardo alla possibilità che uno dei vettori \mathbf{u}_i si annulli, osserviamo che, dalle (4.5)-(4.6) segue che, se $\mathbf{u}_i = \mathbf{0}$, allora $\mathbf{u}_{i+1} = \mathbf{0}$. Conseguentemente, sempre dalla (4.5), tutti i successivi vettori sono nulli. Questi argomenti permettono quindi di concludere quanto segue.

Teorema 4.1 $\mathbf{u}_i \neq \mathbf{0} \Rightarrow \mathbf{u}_j \neq \mathbf{0}, j \leq i$.

Verifichiamo che i vettori $\{\mathbf{u}_i\}$ sono B -ortogonali. Osserviamo che questa proprietà ne implica la lineare indipendenza, se sono non nulli e, pertanto, la convenzione $\mathbf{u}_{n+1} = \mathbf{0}$ rispecchia un dato di fatto.

Teorema 4.2 *Se $\mathbf{u}_i \neq \mathbf{0}, (i \leq n)$, allora i vettori $\{\mathbf{u}_1, \dots, \mathbf{u}_i\}$ sono B -ortogonali.*

Dim. È sufficiente far vedere che, se $\mathbf{u}_{i+1} \neq \mathbf{0}$, allora

$$\mathbf{u}_j^\top B\mathbf{u}_{i+1} = 0, \quad j \leq i,$$

cosa che dimostriamo per induzione su i . Per $i = 1$, la tesi segue dalle corrispondenti (4.4)-(4.5), tenendo conto che $\beta_0 = 0$. Supponiamo ora vera la tesi per $i - 1$ e dimostriamo per i . Per $j = i$ e $j = i - 1$, la tesi segue, rispettivamente, da (4.4) e (4.6). Per $j \leq i - 2$, tenendo conto di (4.5), di CG2, e dell'ipotesi di induzione, si ottiene infine:

$$\begin{aligned} \mathbf{u}_j^\top B\mathbf{u}_{i+1} &= \mathbf{u}_j^\top B(A\mathbf{u}_i - \gamma_i \mathbf{u}_i - \beta_{i-1} \mathbf{u}_{i-1}) = \mathbf{u}_j^\top BA\mathbf{u}_i \\ &= \mathbf{u}_j^\top AB\mathbf{u}_i = (\mathbf{u}_{j+1} + \gamma_j \mathbf{u}_j + \beta_{j-1} \mathbf{u}_{j-1})^\top B\mathbf{u}_i = 0. \quad \square \end{aligned}$$

Nella prossima sezione vedremo come sia possibile utilizzare la fattorizzazione (4.2) per risolvere il sistema lineare (4.1).

4.2 Il metodo dei gradienti coniugati (GC)

Sia assegnato un vettore, \mathbf{x}_0 , quale approssimazione iniziale della soluzione \mathbf{x}^* di (4.1), e sia, in generale,

$$S_i = \mathbf{x}_0 + [\mathbf{u}_1, \dots, \mathbf{u}_i], \quad i = 1, 2, \dots,$$

la varietà affine generata dai vettori $\{\mathbf{u}_1, \dots, \mathbf{u}_i\}$ prodotti dall'Algoritmo 4.1. Al passo i -esimo dello stesso, ricerchiamo una nuova approssimazione, \mathbf{x}_i , che sia la approssimazione ai minimi quadrati, nella B -norma, di \mathbf{x}^* nella varietà S_i . Per quanto visto in Sezione 2.6, tale soluzione è caratterizzata dalla B -ortogonalità dell'errore,

$$\mathbf{e}_i = \mathbf{x}^* - \mathbf{x}_i,$$

ai vettori $\mathbf{u}_j, j \leq i$. Ovvero,

$$\mathbf{u}_j^\top B \mathbf{e}_i = 0, \quad j \leq i. \quad (4.7)$$

Osserviamo che questa caratterizzazione della soluzione non è immediatamente utilizzabile, in quanto la soluzione \mathbf{x}^* non è nota. Tuttavia, scegliendo

$$B = A, \quad (4.8)$$

si ottiene che i requisiti CG1 e CG2 sono evidentemente soddisfatti e, inoltre,

$$B \mathbf{e}_i = A \mathbf{x}^* - A \mathbf{x}_i = \mathbf{b} - A \mathbf{x}_i \equiv \mathbf{r}_i$$

è il *residuo* corrispondente ad \mathbf{x}_i .

Osservazione 4.1 *Poiché A è nonsingolare, $\mathbf{r}_i = \mathbf{0} \Leftrightarrow \mathbf{x}_i = \mathbf{x}^*$.*

Quindi, la condizione di B -ortogonalità dell'errore (4.7), a causa della scelta (4.8), risulta essere equivalente alla condizione di ortogonalità sul residuo,

$$\mathbf{u}_j^\top \mathbf{r}_i = 0, \quad j \leq i. \quad (4.9)$$

Al fine di ottenere un procedimento iterativo, ricerchiamo la approssimazione al passo i -esimo nella forma

$$\mathbf{x}_i = \mathbf{x}_{i-1} + \lambda_i \mathbf{u}_i. \quad (4.10)$$

Ne consegue che

$$\mathbf{r}_i = \mathbf{r}_{i-1} - \lambda_i A \mathbf{u}_i. \quad (4.11)$$

Imponendo la (4.9) per $j = i$, si ottiene

$$\lambda_i = \frac{\mathbf{u}_i^\top \mathbf{r}_{i-1}}{\mathbf{u}_i^\top A \mathbf{u}_i} \equiv \frac{\mathbf{u}_i^\top \mathbf{r}_{i-1}}{d_i}. \quad (4.12)$$

Andiamo a verificare che tale scelta è sufficiente a garantire tutte le condizioni di ortogonalità (4.9). Vale, infatti, il seguente risultato.

Teorema 4.3 *Se i vettori $\{\mathbf{u}_1, \dots, \mathbf{u}_i\}$ sono non nulli e A -ortogonali, e le approssimazioni sono definite da (4.10)-(4.12), allora (4.9) è verificata.*

Dim. Per induzione su i . Per $i = 1$, la tesi è ovvia. Supponiamo, quindi vero che

$$\mathbf{u}_j^\top \mathbf{r}_{i-1} = 0, \quad j \leq i-1,$$

e dimostriamo la (4.9). Per $j = i$ la tesi segue dalla (4.12). Per $j \leq i-1$, dalla (4.11) segue

$$\mathbf{u}_j^\top \mathbf{r}_i = \mathbf{u}_j^\top \mathbf{r}_{i-1} - \lambda_i \mathbf{u}_j^\top A \mathbf{u}_i = 0,$$

per l'ipotesi di induzione e la A -ortogonalità dei vettori $\{\mathbf{u}_j\}$. \square

Corollario 4.1 *Se i vettori $\{\mathbf{u}_1, \dots, \mathbf{u}_n\}$ sono non nulli e A -ortogonali, allora $\mathbf{x}_i = \mathbf{x}^*$, per qualche $i \leq n$.*

Dim. È sufficiente osservare che il residuo, al passo n , non può che essere il vettore nullo, dalla (4.9), essendo i vettori $\{\mathbf{u}_i\}$ una base per \mathbb{R}^n . \square

Rimane da vedere cosa accade se qualcuno dei vettori \mathbf{u}_i si annulla, per $i \leq n$. A questo fine, effettueremo la scelta del vettore \mathbf{u}_1 , che definisce l'intera successione, mediante l'Algoritmo 4.1 con $B = A$, come

$$\mathbf{u}_1 = \mathbf{r}_0 \equiv \mathbf{b} - A \mathbf{x}_0. \quad (4.13)$$

Questa scelta definisce il metodo dei *gradienti coniugati*. Si premette il seguente risultato.

Lemma 4.1 *Se $\mathbf{x}_i \neq \mathbf{x}^*$, allora:*

$$[\mathbf{u}_1, \dots, \mathbf{u}_{i+1}] = [\mathbf{u}_1, A \mathbf{u}_1, \dots, A^i \mathbf{u}_1] = [\mathbf{r}_0, \dots, \mathbf{r}_i].$$

Dim. Dimostriamo la tesi per induzione su i . Per $i = 0$, essa discende dalla scelta (4.13) del vettore \mathbf{u}_1 . Supponiamola vera per $i - 1$ e dimostriamo per i .

$[\mathbf{u}_1, \dots, \mathbf{u}_{i+1}] = [\mathbf{u}_1, \dots, A^i \mathbf{u}_1]$. Infatti, dalla (4.5) e dall'ipotesi di induzione, segue che

$$\mathbf{u}_{i+1} = A\mathbf{u}_i - \gamma_i \mathbf{u}_i - \beta_{i-1} \mathbf{u}_{i-1},$$

con

$$\begin{aligned} \mathbf{u}_{i-1}, \mathbf{u}_i &\in [\mathbf{u}_1, \dots, A^{i-1} \mathbf{u}_1] \subseteq [\mathbf{u}_1, \dots, A^i \mathbf{u}_1], \\ A\mathbf{u}_i &\in [A\mathbf{u}_1, \dots, A^i \mathbf{u}_1] \subseteq [\mathbf{u}_1, A\mathbf{u}_1, \dots, A^i \mathbf{u}_1]. \end{aligned}$$

Pertanto $\mathbf{u}_{i+1} \in [\mathbf{u}_1, \dots, A^i \mathbf{u}_1]$. Viceversa, sempre dalla (4.5), segue che

$$A^i \mathbf{u}_1 = A(A^{i-1} \mathbf{u}_1) \in [A\mathbf{u}_1, \dots, A\mathbf{u}_i] \subseteq [\mathbf{u}_1, \dots, \mathbf{u}_{i+1}].$$

$[\mathbf{u}_1, \dots, \mathbf{u}_{i+1}] = [\mathbf{r}_0, \dots, \mathbf{r}_i]$. Infatti, dall'ipotesi di induzione e dalla (4.11), segue, in virtù della (4.5), che

$$\mathbf{r}_i = \mathbf{r}_{i-1} - \lambda_i A\mathbf{u}_i \in [\mathbf{u}_1, \dots, \mathbf{u}_i, A\mathbf{u}_i] \subseteq [\mathbf{u}_1, \dots, \mathbf{u}_{i+1}].$$

Viceversa, sempre dalla (4.11), segue che, se $\mathbf{x}_i \neq \mathbf{x}^*$, allora il parametro λ_i dato dalla (4.12), deve essere non nullo. Infatti, se così non fosse, dalla (4.9) seguirebbe che

$$\mathbf{r}_i = \mathbf{r}_{i-1} \in [\mathbf{u}_1, \dots, \mathbf{u}_i], \quad \mathbf{u}_j^\top \mathbf{r}_i = 0, \quad j \leq i,$$

per cui dovrebbe aversi $\mathbf{r}_i = \mathbf{0}$, contro l'ipotesi fatta. Pertanto,

$$A\mathbf{u}_i = \frac{\mathbf{r}_{i-1} - \mathbf{r}_i}{\lambda_i} = \mathbf{u}_{i+1} + \gamma_i \mathbf{u}_i + \beta_{i-1} \mathbf{u}_{i-1},$$

da cui, per l'ipotesi di induzione, segue infine che

$$\mathbf{u}_{i+1} = \frac{\mathbf{r}_{i-1} - \mathbf{r}_i}{\lambda_i} - \gamma_i \mathbf{u}_i - \beta_{i-1} \mathbf{u}_{i-1} \in [\mathbf{r}_0, \dots, \mathbf{r}_i]. \quad \square$$

Corollario 4.2 *I residui prodotti dal metodo dei gradienti coniugati sono tra di loro ortogonali.*

Dim. Segue immediatamente dal precedente Lemma 4.1 e dalla (4.9). \square

Algoritmo 4.2 *Metodo dei gradienti coniugati.*

sia assegnata una approssimazione iniziale \mathbf{x}_0
 inizializzo $\mathbf{u}_1 = \mathbf{r}_0 \equiv \mathbf{b} - A\mathbf{x}_0$
 per $i=1, \dots, n$:
 se $\mathbf{r}_{i-1} = \mathbf{0}$, $\mathbf{x}^* = \mathbf{x}_{i-1}$, esci, fine se
 $\mathbf{v}_i = A\mathbf{u}_i$
 $d_i = \mathbf{u}_i^\top \mathbf{v}_i$
 $\lambda_i = \mathbf{u}_i^\top \mathbf{r}_{i-1} / d_i$
 $\mathbf{x}_i = \mathbf{x}_{i-1} + \lambda_i \mathbf{u}_i$
 $\mathbf{r}_i = \mathbf{r}_{i-1} - \lambda_i \mathbf{v}_i$
 $\gamma_i = \mathbf{v}_i^\top \mathbf{v}_i / d_i$
 se $i = 1$, $\beta_0 = 0$, altrimenti, $\beta_{i-1} = d_i / d_{i-1}$, fine se
 $\mathbf{u}_{i+1} = \mathbf{v}_i - \gamma_i \mathbf{u}_i - \beta_{i-1} \mathbf{u}_{i-1}$
 fine per
 se $i = n$, $\mathbf{x}^* = \mathbf{x}_n$, fine se

Corollario 4.3 $\mathbf{u}_i \neq \mathbf{0}$ e $\mathbf{u}_{i+1} = \mathbf{0} \Rightarrow \mathbf{x}_i = \mathbf{x}^*$.

Dim. Infatti, se così non fosse, si avrebbe

$$[\mathbf{u}_1, \dots, \mathbf{u}_{i+1}] \equiv [\mathbf{u}_1, \dots, \mathbf{u}_i] \subset [\mathbf{r}_0, \dots, \mathbf{r}_i],$$

contraddicendo, in virtù del Corollario 4.2, il risultato del Lemma 4.1. \square

Corollario 4.4 *In aritmetica esatta, il metodo dei GC converge in al più n passi.*

I precedenti risultati permettono di ottenere l'Algoritmo 4.2 per il metodo dei gradienti coniugati.

4.3 Implementazione efficiente del metodo dei GC

Esaminiamo brevemente il costo computazionale del precedente Algoritmo 4.2 per il metodo dei gradienti coniugati. Tale costo può essere quantificato in termini di occupazione di memoria e numero di operazioni. Di entrambe le cose, considereremo solo le quantità principali.

Occupazione di memoria: avremo sicuramente bisogno dello spazio necessario per allocare la matrice A , sebbene questo richieda, nel caso sparso, generalmente $O(n)$ celle di memoria (vedi Appendice A). Delle approssimazioni della soluzione, solo quella corrente è necessaria per produrre la successiva, pertanto un unico vettore \mathbf{x} è sufficiente. Lo stesso discorso vale per i residui, dei quali è necessario solo quello corrente. Due vettori sono invece necessari per le direzioni generate, più un vettore di appoggio che è inizialmente utilizzato per accumulare il prodotto matrice-vettore (*matvec*) e, successivamente, per accumulare la nuova direzione.

Operazioni: suddivideremo queste ultime in base ad una semplice classificazione. Abbiamo già introdotto il *matvec*, di cui ne necessita 1 per iterazione. Similmente, si vede che sono necessari 3 prodotti scalari (*scal*) e 4 *axy* (che è l'acronimo per "alpha x plus y"), ovvero operazioni del tipo

$$\text{vettore} = \text{scalare} \times \text{vettore} + \text{vettore}.$$

Riassumendo, il costo computazionale dell'Algoritmo 4.2 è dato da 1 matrice e 5 vettori, riguardo alla occupazione di memoria, e da 1 *matvec*, 3 *scal* e 4 *axy* per iterazione.

Esercizio 4.1 *Riscrivere l'Algoritmo 4.2 tenendo conto delle sole strutture di memoria effettivamente richieste nella sua implementazione.*

Vediamo adesso come riformulare il metodo dei gradienti coniugati, in modo da renderne più efficiente l'implementazione. A tal fine, vale il seguente risultato.

Teorema 4.4 *Se $\mathbf{x}_i \neq \mathbf{x}^*$, allora $\mathbf{u}_{i+1} \in [\mathbf{u}_i, \mathbf{r}_i]$.*

Dim. Distinguiamo i due casi $i = 1$ e $i > 1$. Per $i = 1$, dalla (4.13) e dalla (4.12) segue che $\mathbf{r}_1 \neq \mathbf{0}$ e $\lambda_1 \neq 0$. Pertanto, dalla (4.5) e dalla (4.11) si ottiene

$$\mathbf{u}_2 = A\mathbf{u}_1 - \gamma_1\mathbf{u}_1 = \frac{\mathbf{r}_0 - \mathbf{r}_1}{\lambda_1} - \gamma_1\mathbf{u}_1,$$

da cui, ricordando che $\mathbf{u}_1 = \mathbf{r}_0$, si conclude che $\mathbf{u}_2 \in [\mathbf{u}_1, \mathbf{r}_1]$. Per quanto riguarda il caso $i > 1$, nella dimostrazione del Lemma 4.1 abbiamo già visto che, se $\mathbf{x}_i \neq \mathbf{x}^*$, allora λ_i , come definito da (4.12), deve essere non nullo. Ne consegue che

$$\begin{aligned} \mathbf{u}_{i+1} &= A\mathbf{u}_i - \gamma_i\mathbf{u}_i - \beta_{i-1}\mathbf{u}_{i-1} = \frac{\mathbf{r}_{i-1} - \mathbf{r}_i}{\lambda_i} - \gamma_i\mathbf{u}_i - \beta_{i-1}\mathbf{u}_{i-1} \\ &= -\frac{\mathbf{r}_i}{\lambda_i} - \gamma_i\mathbf{u}_i + \left(\frac{\mathbf{r}_{i-1}}{\lambda_i} - \beta_{i-1}\mathbf{u}_{i-1} \right) \equiv -\frac{\mathbf{r}_i}{\lambda_i} - \gamma_i\mathbf{u}_i + \mathbf{w}_i. \end{aligned}$$

Pertanto, considerando che dal Lemma 4.1 segue che $\mathbf{w}_i \in [\mathbf{u}_1, \dots, \mathbf{u}_i]$, la tesi risulta dimostrata se proviamo che $\mathbf{w}_i \in [\mathbf{u}_i]$ o, equivalentemente, che $\mathbf{w}_i^\top A\mathbf{u}_j = 0$, $j < i$. Solo i seguenti due casi sono possibili:

$j < i - 1$: in tal caso,

$$\mathbf{w}_i^\top A\mathbf{u}_j = \frac{\mathbf{r}_{i-1}^\top A\mathbf{u}_j}{\lambda_i} - \beta_{i-1}\mathbf{u}_{i-1}^\top A\mathbf{u}_j = \frac{\mathbf{r}_{i-1}^\top (\mathbf{u}_{j+1} + \gamma_j\mathbf{u}_j + \beta_{j-1}\mathbf{u}_{j-1})}{\lambda_i} = 0,$$

in virtù della (4.9) e della A -ortogonalità dei vettori $\{\mathbf{u}_j\}$;

$j = i - 1$: dalle (4.6), (4.9) e (4.12) segue che

$$\begin{aligned} \mathbf{w}_i^\top A\mathbf{u}_{i-1} &= \left(\frac{\mathbf{r}_{i-1}}{\lambda_i} - \beta_{i-1}\mathbf{u}_{i-1} \right)^\top A\mathbf{u}_{i-1} \\ &= \frac{\mathbf{r}_{i-1}^\top (\mathbf{u}_i + \gamma_{i-1}\mathbf{u}_{i-1} + \beta_{i-2}\mathbf{u}_{i-2})}{\lambda_i} - \beta_{i-1}\mathbf{u}_{i-1}^\top A\mathbf{u}_{i-1} \\ &= \frac{\mathbf{r}_{i-1}^\top \mathbf{u}_i}{\lambda_i} - d_i = d_i - d_i = 0. \quad \square \end{aligned}$$

Il precedente risultato ci dice che possiamo ricercare la nuova direzione, \mathbf{u}_{i+1} , come combinazione del residuo e della direzione corrente, ovvero,

$$\mathbf{u}_{i+1} = c_1^{(i)}\mathbf{r}_i + c_2^{(i)}\mathbf{u}_i,$$

in cui i due coefficienti della combinazione devono essere scelti in modo da soddisfare solo la condizione di ortogonalità

$$\mathbf{u}_{i+1}^\top A\mathbf{u}_i = 0, \quad (4.14)$$

in quanto si verifica facilmente che la condizione $\mathbf{u}_{i+1}^\top A\mathbf{u}_j = 0$, $j < i$, risulta essere verificata in ogni caso. Osserviamo che le coppie che soddisfano la

(4.14) sono definite a meno di una costante moltiplicativa non nulla. Inoltre, le approssimazioni $\{\mathbf{x}_i\}$ (e quindi i residui $\{\mathbf{r}_i\}$) sono invarianti, rispetto alla norma dei vettori $\{\mathbf{u}_i\}$. Di conseguenza, definiamo dei nuovi vettori,

$$\mathbf{p}_i = \mathbf{u}_i \sigma_i, \quad i = 1, 2, \dots, \quad \sigma_1 = 1, \quad (4.15)$$

per i quali la costante $c_1^{(i)}$ sia normalizzata a 1. Ponendo $c_2^{(i)} = \mu_i$, ricerchiamo, quindi

$$\mathbf{p}_{i+1} = \mathbf{r}_i + \mu_i \mathbf{p}_i, \quad i = 1, 2, \dots, \quad (4.16)$$

dove μ_i si ottiene imponendo la condizione di ortogonalità $\mathbf{p}_i^\top A \mathbf{p}_{i+1} = 0$. Al fine di ricavare una espressione conveniente per tale quantità, osserviamo che, in analogia con (4.3) e (4.10)–(4.12), ora si avranno, rispettivamente,

$$\begin{aligned} \hat{d}_i &= \mathbf{p}_i^\top A \mathbf{p}_i, \\ \mathbf{x}_i &= \mathbf{x}_{i-1} + \hat{\lambda}_i \mathbf{p}_i, \\ \mathbf{r}_i &= \mathbf{r}_{i-1} - \hat{\lambda}_i A \mathbf{p}_i, \quad i = 1, 2, \dots, \end{aligned}$$

dove

$$\hat{\lambda}_i = \frac{\mathbf{p}_i^\top \mathbf{r}_{i-1}}{\mathbf{p}_i^\top A \mathbf{p}_i} = \frac{(\mathbf{r}_{i-1} + \mu_{i-1} \mathbf{p}_{i-1})^\top \mathbf{r}_{i-1}}{\hat{d}_i} = \frac{\mathbf{r}_{i-1}^\top \mathbf{r}_{i-1}}{\hat{d}_i}.$$

Nell'ultima equazione, si è sfruttato il fatto che condizioni di ortogonalità simili alla (4.9) valgono anche per i vettori $\{\mathbf{p}_i\}$. Questo permette di ottenere, infine,

$$0 = \mathbf{p}_i^\top A \mathbf{r}_i + \mu_i \mathbf{p}_i^\top A \mathbf{p}_i = \frac{(\mathbf{r}_{i-1} - \mathbf{r}_i)^\top}{\hat{\lambda}_i} \mathbf{r}_i + \mu_i \hat{d}_i = -\frac{\mathbf{r}_i^\top \mathbf{r}_i}{\mathbf{r}_{i-1}^\top \mathbf{r}_{i-1}} \hat{d}_i + \mu_i \hat{d}_i,$$

ovvero,

$$\mu_i = \frac{\mathbf{r}_i^\top \mathbf{r}_i}{\mathbf{r}_{i-1}^\top \mathbf{r}_{i-1}}, \quad i = 1, 2, \dots$$

Questo ci permette di formulare l'Algoritmo 4.3 per il metodo dei gradienti coniugati, che risulta essere più efficiente dell'Algoritmo 4.2 precedentemente proposto. Si verifica facilmente, infatti, che il primo necessita di un vettore in meno (per quanto concerne l'occupazione di memoria) e di una scal ed una axpy in meno per iterazione, rispetto al secondo.

Esercizio 4.2 *Riscrivere l'Algoritmo 4.3 tenendo conto delle sole strutture di memoria effettivamente richieste nella sua implementazione.*

Algoritmo 4.3 *Metodo dei gradienti coniugati.*

sia assegnata una approssimazione iniziale \mathbf{x}_0

inizializzo $\mathbf{p}_1 = \mathbf{r}_0 \equiv \mathbf{b} - A\mathbf{x}_0$ e $\eta_0 = \mathbf{r}_0^\top \mathbf{r}_0$

per $i=1, \dots, n$:

se $\eta_{i-1} = 0$, $\mathbf{x}^* = \mathbf{x}_{i-1}$, esci, fine se (*)

$$\mathbf{v}_i = A\mathbf{p}_i$$

$$\hat{d}_i = \mathbf{p}_i^\top \mathbf{v}_i$$

$$\hat{\lambda}_i = \eta_{i-1} / \hat{d}_i$$

$$\mathbf{x}_i = \mathbf{x}_{i-1} + \hat{\lambda}_i \mathbf{p}_i$$

$$\mathbf{r}_i = \mathbf{r}_{i-1} - \hat{\lambda}_i \mathbf{v}_i$$

$$\eta_i = \mathbf{r}_i^\top \mathbf{r}_i$$

$$\mu_i = \eta_i / \eta_{i-1}$$

$$\mathbf{p}_{i+1} = \mathbf{r}_i + \mu_i \mathbf{p}_i$$

fine per

se $i = n$, $\mathbf{x}^* = \mathbf{x}_n$, fine se

Esercizio 4.3 *Supponendo che l'Algoritmo 4.3 sia iterato fino ad $i = n$, verificare che esso definisce la seguente fattorizzazione, alternativa alla (4.2) con $B = A$:*

$$AP = P\hat{T}, \quad P^\top AP = \hat{D} \equiv \begin{pmatrix} \hat{d}_1 & & \\ & \ddots & \\ & & \hat{d}_n \end{pmatrix}, \quad (4.17)$$

dove (vedi (4.15))

$$P \equiv (\mathbf{p}_1 \dots \mathbf{p}_n) = U\Sigma \equiv U \begin{pmatrix} \sigma_1 & & \\ & \ddots & \\ & & \sigma_n \end{pmatrix}, \quad \hat{D} = D\Sigma^2,$$

e la matrice $\hat{T} = \Sigma^{-1}T\Sigma$ è ancora tridiagonale. Ricavare, quindi, la relazione di ricorrenza, simile alla (4.5), cui soddisfano i vettori $\{\mathbf{p}_i\}$.

Esercizio 4.4 Tenendo conto della (4.16), e definendo le matrici

$$R = (\mathbf{r}_0, \dots, \mathbf{r}_{n-1}), \quad B = \begin{pmatrix} 1 & -\mu_1 & & & \\ & \ddots & \ddots & & \\ & & \ddots & -\mu_{n-1} & \\ & & & & 1 \end{pmatrix},$$

dimostrare che:

1. $R = PB$;
2. $\Delta^2 = R^\top R$ è diagonale;
3. $Z = R\Delta^{-1}$ è ortogonale.

Verificare, inoltre, che

$$A \sim Z^\top AZ \equiv \bar{T} = \begin{pmatrix} a_1 & -b_1 & & & \\ -b_1 & \ddots & \ddots & & \\ & \ddots & \ddots & -b_{n-1} & \\ & & -b_{n-1} & a_n & \end{pmatrix}, \quad (4.18)$$

dove

$$\begin{aligned} a_1 &= \frac{\hat{d}_1}{\|\mathbf{r}_0\|^2}, \\ a_{i+1} &= \frac{\hat{d}_{i+1} + \hat{d}_i \mu_i^2}{\|\mathbf{r}_i\|^2}, \\ b_i &= \frac{\hat{d}_i \mu_i}{\|\mathbf{r}_{i-1}\| \|\mathbf{r}_i\|}, \quad i = 1, \dots, n-1. \end{aligned}$$

Concludere che l'Algoritmo 4.3 equivale alla fattorizzazione LU della matrice tridiagonale \bar{T} . (Suggerimento: utilizzare la fattorizzazione (4.17) e la relazione $R = PB$.)

Esercizio 4.5 Con la notazione degli Esercizi 4.3 e 4.4, dimostrare che

$$\hat{T} = B\Lambda^{-1} \equiv \begin{pmatrix} \frac{1+\mu_1}{\lambda_1} & -\frac{\mu_1}{\lambda_2} & & \\ -\frac{1}{\lambda_1} & \ddots & \ddots & \\ & \ddots & \ddots & \end{pmatrix}, \quad (\mu_n = 0), \quad (4.19)$$

con

$$L = \begin{pmatrix} 1 & & & & \\ -1 & \ddots & & & \\ & \ddots & \ddots & & \\ & & \ddots & \ddots & \\ & & & -1 & 1 \end{pmatrix}, \quad \Lambda = \begin{pmatrix} \hat{\lambda}_1 & & & & \\ & \ddots & & & \\ & & \ddots & & \\ & & & \ddots & \\ & & & & \hat{\lambda}_n \end{pmatrix}.$$

Osservazione 4.2 Osserviamo che la equazione (4.18) definisce, implicitamente, la fattorizzazione

$$AZ = Z\bar{T}, \quad Z^\top Z = I, \quad (4.20)$$

e che, dalla (4.9), dal Lemma 4.1 e dal Corollario 4.2, segue che, al passo i -esimo, il metodo dei gradienti coniugati ricerca la soluzione \mathbf{x}_i in modo tale che, se

$$Z = (\mathbf{z}_1 \dots \mathbf{z}_n), \quad \mathbf{z}_i = \frac{\mathbf{r}_{i-1}}{\|\mathbf{r}_{i-1}\|},$$

allora il residuo $\mathbf{r}_i = \mathbf{b} - A\mathbf{x}_i$ soddisfa le condizioni di ortogonalità

$$\mathbf{z}_j^\top \mathbf{r}_i = 0, \quad j \leq i. \quad (4.21)$$

4.4 Criteri di arresto

Abbiamo visto che il metodo del gradiente coniugato converge, in aritmetica esatta, in al più n iterazioni, se n è la dimensione del sistema lineare da risolvere. Va sottolineato che spesso, a causa degli errori dovuti all'utilizzo dell'aritmetica finita, questa proprietà può non essere effettiva.

D'altronde, talora è possibile raggiungere una soluzione soddisfacente con un numero di iterazioni molto più esiguo. Nasce, quindi, l'esigenza di riguardare il metodo più come un metodo iterativo, che semi-iterativo, cui associare un opportuno criterio di arresto. Nell'Algoritmo 4.3 questo è rappresentato dal controllo sul residuo, che abbiamo etichettato con (*). Tuttavia, il controllo in questa forma è stato inserito più per un motivo concettuale, che pratico. In effetti, la condizione $\mathbf{r}_i = \mathbf{0}$ potrebbe non essere mai soddisfatta in aritmetica finita. Un controllo, molto più ragionevole, potrebbe essere

$$\|\mathbf{r}_i\|^2 \equiv \eta_i \leq tol,$$

essendo tol una opportuna tolleranza. Una variante di questo controllo è costituita da

$$\eta_i \leq tol \cdot \eta_0,$$

ovvero la norma (al quadrato) del residuo corrente è stata abbattuto di un fattore *tol* rispetto a quella del residuo iniziale. Sebbene questi due criteri siano molto semplici e, di fatto, assai utilizzati in pratica, essi non sono in grado di assicurare *a priori* una prefissata accuratezza della soluzione approssimata. Infatti, se $\mathbf{e}_i = \mathbf{x}^* - \mathbf{x}_i$ è l'errore al passo i -esimo, allora esso è soluzione del sistema lineare

$$A\mathbf{e}_i = \mathbf{r}_i,$$

e, pertanto,

$$\mathbf{e}_i = A^{-1}\mathbf{r}_i.$$

Da questo si ricava la disuguaglianza

$$\|\mathbf{e}_i\| \leq \|A^{-1}\| \cdot \|\mathbf{r}_i\|, \quad (4.22)$$

la quale ci dice chiaramente che, se la matrice A è molto malcondizionata, allora $\|\mathbf{e}_i\|$ può essere grande, anche se $\|\mathbf{r}_i\|$ è piccola.

Ad esempio, prendendo come matrice $A = (a_{ij})$ la matrice di Hilbert di dimensione n , i cui elementi sono dati da $a_{ij} = (i + j - 1)^{-1}$, $i, j = 1, \dots, n$, si ha $\|A^{-1}\| \approx 10^{13}$, per $n = 10$. Ne consegue che la norma del residuo può essere amplificata di un fattore 10^{13} . Infatti, se \mathbf{b} è scelto in modo tale che la soluzione sia $\mathbf{x}^* = (1 \dots 1)^\top$, e si considera l'errore (arrotondato alla quinta cifra significativa) dato da

$$\mathbf{e} = \begin{pmatrix} 1.6740e - 003 \\ -1.4557e - 001 \\ 3.1159e + 000 \\ -2.8438e + 001 \\ 1.3607e + 002 \\ -3.7503e + 002 \\ 6.1665e + 002 \\ -5.9702e + 002 \\ 3.1392e + 002 \\ -6.9130e + 001 \end{pmatrix} \Rightarrow \|\mathbf{e}\| = 10^3,$$

si verifica che ad esso corrisponde un residuo

$$\mathbf{r} = \begin{pmatrix} -5.3291e - 015 \\ -1.3767e - 014 \\ 3.3862e - 013 \\ -3.1082e - 012 \\ 1.4869e - 011 \\ -4.1000e - 011 \\ 6.7417e - 011 \\ -6.5260e - 011 \\ 3.4316e - 011 \\ -7.5624e - 012 \end{pmatrix} \Rightarrow \|\mathbf{r}\| \approx 1.0932e - 010,$$

da cui si evince che il fattore di amplificazione è dell'ordine di 10^{13} .

Esercizio 4.6 *Dimostrare che, se si utilizza il criterio di arresto dato da*

$$\|\mathbf{r}_i\| \leq \varepsilon \cdot \|\mathbf{b}\|,$$

allora l'errore soddisfa la disuguaglianza

$$\|\mathbf{e}_i\| \leq \varepsilon \cdot \kappa(A) \cdot \|\mathbf{x}^*\|,$$

dove $\kappa(A) = \|A\| \cdot \|A^{-1}\|$ è il numero di condizionamento di A e \mathbf{x}^ è, al solito, la soluzione del problema.*

Tuttavia, dalla (4.22) si ottiene che, poiché

$$\|A^{-1}\| = \lambda_{\min}^{-1} \equiv \left(\min_{\lambda \in \sigma(A)} \lambda \right)^{-1},$$

allora è possibile utilizzare il controllo sull'errore dato da

$$\|\mathbf{e}_i\| \leq \frac{\|\mathbf{r}_i\|}{\lambda_{\min}}, \quad (4.23)$$

a patto che sia noto l'autovalore minimo di A , o una sua opportuna approssimazione. A questo riguardo, vale, per matrici simmetriche, la seguente proprietà di *interlacciamento* degli autovalori.

Teorema 4.5 *Sia $A \in \mathbb{R}^{n \times n}$ una matrice simmetrica. Si denoti con A_r la sua sottomatrice principale di ordine r , e con*

$$\lambda_1(A_r) \leq \dots \leq \lambda_r(A_r)$$

i corrispondenti autovalori. Allora, per $r = 1, 2, \dots, n - 1$:

$$\begin{aligned} \lambda_1(A) \equiv \lambda_1(A_n) &\leq \lambda_1(A_{r+1}) \leq \lambda_1(A_r) \leq \lambda_2(A_{r+1}) \leq \\ \lambda_2(A_r) &\leq \dots \leq \lambda_r(A_r) \leq \lambda_{r+1}(A_{r+1}) \leq \lambda_n(A_n) \equiv \lambda_n(A). \end{aligned}$$

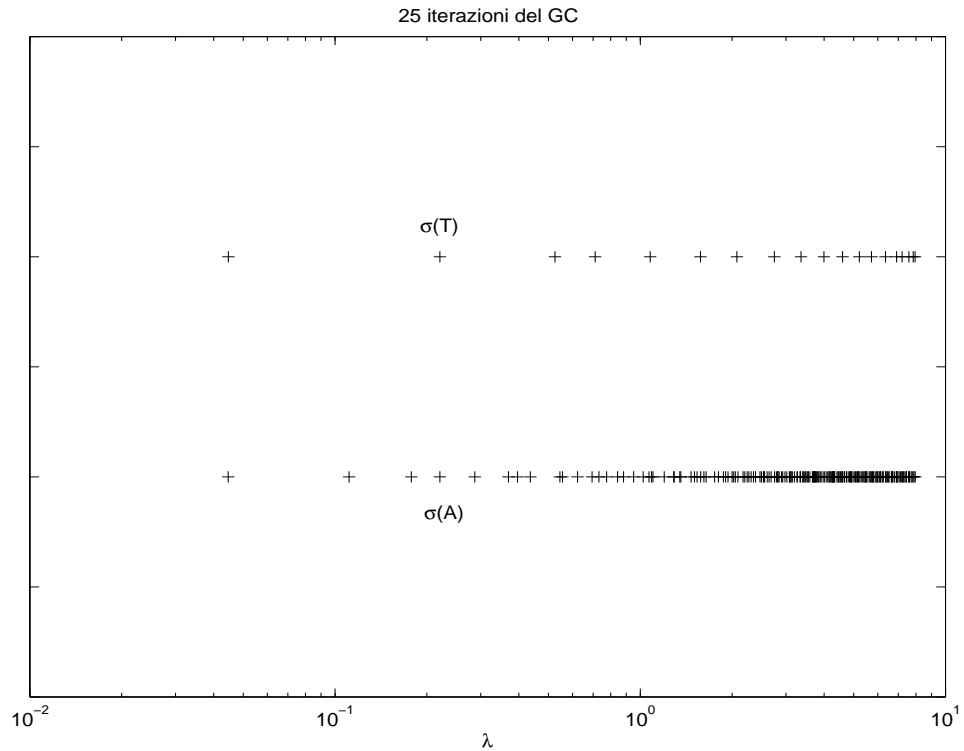


Figura 4.1: Spettro della matrice A dell'equazione (1.6), $N = 20$, e della sua approssimazione dopo 25 iterazioni del metodo dei GC.

Pertanto, essendo la matrice A simile alla matrice \bar{T} in (4.18), di cui al passo i -esimo possiamo costruire la sottomatrice principale \bar{T}_i , possiamo approssimarne gli autovalori estremi con quelli estremi di tale sottomatrice. Alternativamente, si può ricorrere alla matrice \hat{T} (vedi (4.19)), che si vede facilmente essere simile ad una matrice tridiagonale simmetrica. Va altresì sottolineato che è generalmente richiesto un esiguo numero di iterazioni per pervenire a soddisfacenti approssimazioni degli autovalori estremi (qualche decina, in genere).

Ad esempio, per la matrice A dell'equazione (1.6) in Esercizio 1.1 si ha, per $N = 20$ (quindi, $A \in \mathbb{R}^{400 \times 400}$),

$$\lambda_{\min}(A) \approx 4.4677e - 2, \quad \lambda_{\max}(A) \approx 7.9553.$$

Dopo 25 iterazioni del metodo del gradiente coniugato, si ottengono le seguenti approssimazioni,

$$\lambda_{\min}(\bar{T}_{25}) \approx 4.4682e - 2, \quad \lambda_{\max}(\bar{T}_{25}) \approx 7.8636,$$

che sono delle approssimazioni decisamente soddisfacenti, in questo contesto. Per completezza, in Figura 4.1 si riporta l'intero spettro di A (indicato, nella figura, con $\sigma(A)$) e quello di \bar{T}_{25} (indicato con $\sigma(T)$).

4.5 Velocità di convergenza del metodo dei GC

In Sezione 4.2 abbiamo visto che il metodo dei gradienti coniugati minimizza, al passo i -esimo, la A -norma dell'errore,

$$\|\mathbf{e}_i\|_A = \|\mathbf{x}^* - \mathbf{x}_i\|_A = \sqrt{(\mathbf{x}^* - \mathbf{x}_i)^\top A (\mathbf{x}^* - \mathbf{x}_i)},$$

nella varietà affine

$$S_i = \mathbf{x}_0 + [\mathbf{u}_1, \dots, \mathbf{u}_i], \quad i = 1, 2, \dots$$

Sottolineando ancora una volta che questa proprietà potrebbe non essere più verificata in aritmetica finita, abbiamo che essa può essere scritta, equivalentemente, come

$$E(\mathbf{x}_i) \equiv (\mathbf{x}^* - \mathbf{x}_i)^\top A (\mathbf{x}^* - \mathbf{x}_i) = \min_{\mathbf{x} \in S_i} (\mathbf{x}^* - \mathbf{x})^\top A (\mathbf{x}^* - \mathbf{x}).$$

Tuttavia, dalla (4.10) e dal Lemma 4.1 segue che:

- $\mathbf{e}_i = \mathbf{e}_{i-1} - \lambda_i \mathbf{u}_i = \dots = \mathbf{e}_0 - \sum_{j=1}^i \lambda_j \mathbf{u}_j$;
- $[\mathbf{u}_1, \dots, \mathbf{u}_i] = [\mathbf{r}_0, A\mathbf{r}_0, \dots, A^{i-1}\mathbf{r}_0] \equiv [A\mathbf{e}_0, \dots, A^i\mathbf{e}_0]$.

Pertanto, si conclude che

$$\mathbf{e}_i = \mathbf{e}_0 + \sum_{j=1}^i c_j A^j \mathbf{e}_0 \equiv p_i(A) \mathbf{e}_0, \quad \text{con} \quad p_i \in \Pi_i, \quad p_i(0) = 1.$$

Osserviamo che (vedi Sezione 2.3), se

$$A = Q\Lambda Q^\top \equiv Q \begin{pmatrix} \lambda_1(A) & & \\ & \ddots & \\ & & \lambda_n(A) \end{pmatrix} Q^\top,$$

con Q matrice ortogonale e

$$0 < \lambda_{\min} \equiv \lambda_1(A) \leq \dots \leq \lambda_n(A) \equiv \lambda_{\max},$$

allora $p_i(A) = Qp_i(\Lambda)Q^\top$ e $E(\mathbf{x}_0) = \mathbf{e}_0^\top Q\Lambda Q^\top \mathbf{e}_0$. Segue quindi che

$$\begin{aligned}
E(\mathbf{x}_i) &= \mathbf{e}_0^\top p_i(A)^2 A \mathbf{e}_0 = (Q^\top \mathbf{e}_0)^\top p_i(\Lambda)^2 \Lambda (Q^\top \mathbf{e}_0) \\
&\equiv \min_{p \in \Pi_i, p(0)=1} (Q^\top \mathbf{e}_0)^\top p(\Lambda)^2 \Lambda (Q^\top \mathbf{e}_0) \\
&\leq (Q^\top \mathbf{e}_0)^\top \Lambda (Q^\top \mathbf{e}_0) \min_{p \in \Pi_i, p(0)=1} \max_{\lambda \in \sigma(A)} p(\lambda)^2 \\
&\equiv E(\mathbf{x}_0) \min_{p \in \Pi_i, p(0)=1} \max_{\lambda \in \sigma(A)} p(\lambda)^2 \leq E(\mathbf{x}_0) \min_{p \in \Pi_i, p(0)=1} \max_{\lambda \in [\lambda_{\min}, \lambda_{\max}]} p(\lambda)^2 \\
&= E(\mathbf{x}_0) \left(\min_{p \in \Pi_i, p(0)=1} \max_{\lambda \in [\lambda_{\min}, \lambda_{\max}]} |p(\lambda)| \right)^2.
\end{aligned}$$

La soluzione dell'ultimo problema di minimassimo è noto essere data da (vedi proprietà C8 in Sezione 2.9)

$$p(z) = \frac{T_i(\mu(z))}{T_i(\mu(0))}, \quad \mu(z) = \frac{\lambda_{\max} + \lambda_{\min} - 2z}{\lambda_{\max} - \lambda_{\min}},$$

e, pertanto, tenendo conto anche della proprietà C3, si ottiene

$$E(\mathbf{x}_i) \leq T_i(\mu(0))^{-2} E(\mathbf{x}_0).$$

Considerando che, detto $\kappa(A) = \lambda_{\max}/\lambda_{\min} \equiv \rho^2$ il numero di condizionamento della matrice A ,

$$\bar{z} \equiv \mu(0) = \frac{\lambda_{\max} + \lambda_{\min}}{\lambda_{\max} - \lambda_{\min}} = \frac{\rho^2 + 1}{\rho^2 - 1} > 1,$$

e tenendo conto della proprietà C7 in Sezione 2.9, si ottiene, infine,

$$\begin{aligned}
E(\mathbf{x}_i) &\leq 4 \left(\bar{z} + \sqrt{\bar{z}^2 - 1} \right)^{-2i} E(\mathbf{x}_0) = 4 \left(\bar{z} - \sqrt{\bar{z}^2 - 1} \right)^{2i} E(\mathbf{x}_0) \\
&= 4 \left(\frac{\rho^2 + 1 - 2\rho}{\rho^2 - 1} \right)^{2i} E(\mathbf{x}_0) = 4 \left(\frac{\rho - 1}{\rho + 1} \right)^{2i} E(\mathbf{x}_0) \\
&\equiv 4 \left(\frac{\sqrt{\kappa(A)} - 1}{\sqrt{\kappa(A)} + 1} \right)^{2i} E(\mathbf{x}_0).
\end{aligned}$$

Osservazione 4.3 *Da questa espressione si evince che la convergenza del metodo dei gradienti coniugati diviene via, via più lenta, al crescere del numero di condizionamento della matrice A . Osserviamo che un grande numero di condizionamento significa anche avere un criterio di arresto più restrittivo*

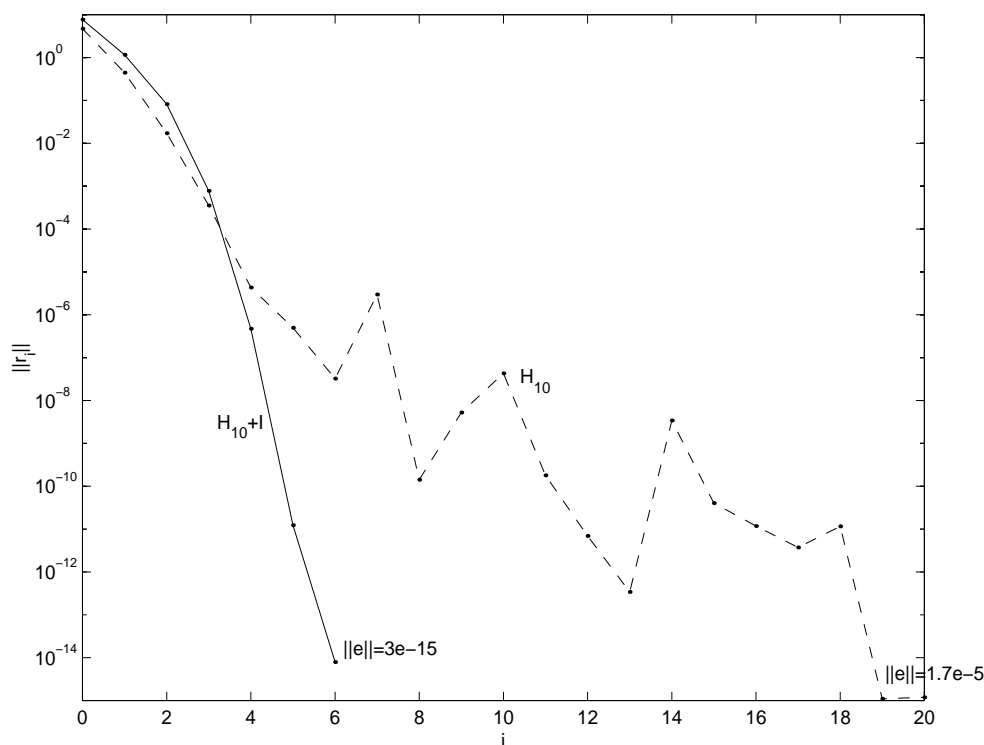


Figura 4.2: Metodo del gradiente coniugato applicato al problema (4.1) nei casi $A = H_{10}$ e $A = H_{10} + I$.

se, ad esempio, si utilizza la strategia (4.23) (vedi anche l'Esercizio 4.6). Si conclude che, se A fosse ben condizionata, ovvero $\kappa(A)$ fosse relativamente "piccolo", si avrebbe un vantaggio, in termini di costo computazionale del metodo. Questi argomenti costituiscono la motivazione principale per quanto andremo a trattare nel prossimo capitolo.

Come esempio, si consideri l'applicazione del metodo del gradiente coniugato al sistema lineare (4.1), di dimensione $n = 10$, e in cui il termine noto è definito in modo da avere come soluzione il vettore $\mathbf{x}^* = (1, \dots, 1)^\top$, nei seguenti due casi:

1. $A = H_{10} \equiv ((i + j - 1)^{-1})$, la matrice di Hilbert di dimensione 10, già introdotta nella precedente Sezione 4.4;
2. $A = H_{10} + I$.

Nel caso 1, il numero di condizione di A è dell'ordine di 10^{13} , mentre nel caso 2, esso vale circa 2.8. Ne consegue che, nel caso 2, il metodo dei gradienti

coniugati convergerà più rapidamente che nel caso 1. Inoltre, a parità di norma del residuo, l'errore sulla soluzione sarà minore nel caso 2, rispetto al caso 1. Queste affermazioni trovano piena conferma sperimentale, come si evince dalla Figura 4.2 in cui sono riportati i grafici delle norme dei residui rispetto all'indice di iterazione. Nel caso 2, dopo 6 iterazioni il residuo ha norma pari a circa $8 \cdot 10^{-15}$ e il corrispondente errore è dello stesso ordine. Nel caso 1 sono richieste 19 iterazioni per avere un residuo di norma comparabile, ma l'errore risulta essere assai più grande. Infatti, anche se alla iterazione 20 il residuo ha norma di poco superiore a 10^{-15} , il corrispondente errore ha norma dell'ordine di 10^{-5} . In entrambi i casi, il vettore iniziale utilizzato è il vettore nullo.

È da sottolineare come, nel caso 1, la proprietà di terminazione finita del metodo dei GC (vedi Corollario 4.4) non sia più valida, a causa dell'utilizzo dell'aritmetica finita.

Capitolo 5

Precondizionamento

*Abbiamo visto che la convergenza del metodo del gradiente coniugato dipende crucialmente dal numero di condizione della matrice A . Quando questo è molto grande, la convergenza potrebbe essere troppo lenta o, a causa degli errori di macchina, addirittura non esserci. In questa evenienza, è raccomandabile una riformulazione del problema mediante precondizionamento che, spesso, è in grado di ricondurre il costo computazionale entro limiti accettabili. In questo capitolo tratteremo il precondizionamento di sistemi lineari con matrice *sdp*, sebbene alcune delle tecniche possano essere estese a casi più generali. Non analizzeremo tutte le implementazioni di questo approccio, ma solo alcune tra quelle più significative e generali.*

5.1 Fattorizzazione $CAU = UT$

Per ovviare ai problemi derivanti dall'aver $\kappa(A) \gg 1$, invece di risolvere il problema (4.1), si risolve l'equivalente *sistema precondizionato*

$$CA\mathbf{x} = C\mathbf{b}, \quad C \approx A^{-1}. \quad (5.1)$$

In questo modo, ci si aspetta di avere $\kappa(CA) \ll \kappa(A)$. È possibile definire il sistema precondizionato anche nella forma più generale

$$C_1AC_2C_2^{-1}\mathbf{x} = C_1\mathbf{b}, \quad C_2C_1 \approx A^{-1},$$

tuttavia nel seguito esamineremo, per brevità, solo la forma (5.1). Assumeremo, inoltre, che la matrice C sia, al pari di A , *sdp*. Osserviamo che la scelta $C = A^{-1}$ darebbe $CA = I$, che è perfettamente condizionata. Tuttavia, tale scelta non è proponibile, in quanto equivalente alla risoluzione di (4.1) con un metodo diretto. Con queste premesse, distinguiamo i seguenti due casi.

CA sdp: in tal caso, il sistema (5.1) è formalmente equivalente a (4.1).

Possiamo quindi utilizzare la matrice $B = CA$ ed applicare formalmente tutto quello che si è visto nel precedente Capitolo 4, sostituendo la matrice CA alla matrice A ;

CA non sdp: in questo caso è richiesta una ulteriore analisi, che andiamo a fare nel seguito.

Nel caso in cui CA non sia sdp (benchè lo siano C ed A), si ricerca la seguente fattorizzazione, alternativa alla (4.2):

$$CAU = UT, \quad U^T BU = D, \quad (5.2)$$

in cui le matrici U, T e D hanno la stessa struttura vista in (4.2). Tuttavia, per tale fattorizzazione, il requisito CG2 visto in Sezione 4.1 viene rimpiazzato da quello seguente (che assumeremo soddisfatto nel seguito):

PCG: $ACB = BCA$.

Si verifica facilmente che la fattorizzazione (5.2) risulta essere definita ancora dalle espressioni (4.3)–(4.6), previa la sostituzione

$$A \leftarrow CA, \quad (5.3)$$

Sempre con la (5.3), continuano a valere i risultati dei Teoremi 4.1 e 4.2.

Andando avanti, la scelta (4.8) soddisfa il requisito PCG, consentendo di ricercare la nuova approssimazione ancora nella forma (4.10), in modo da soddisfare le proprietà di ortogonalità (4.9). Questo porta alla stessa relazione di ricorrenza (4.11)–(4.12) per i vettori residuo ed i risultati del Teorema 4.3 e del Corollario 4.1 continuano a valere.

A questo punto, si introducono i *residui preconditionati*

$$\mathbf{s}_i = C\mathbf{r}_i, \quad i = 0, 1, \dots, \quad (5.4)$$

e la scelta (4.13) del vettore iniziale viene rimpiazzata da

$$\mathbf{u}_1 = \mathbf{s}_0 \equiv C\mathbf{r}_0 \equiv C(\mathbf{b} - A\mathbf{x}_0),$$

che definisce il metodo dei *gradienti coniugati preconditionati*. Tenendo conto della (5.3) e sostituendo i vettori residuo $\{\mathbf{r}_i\}$ con i corrispondenti residui preconditionati (5.4), i risultati del Lemma 4.1 (vedi Esercizio 5.1) e dei Corollari 4.3 e 4.4 si generalizzano al presente caso. Il Corollario 4.2 si riformula, invece, come segue.

Corollario 5.1 *I vettori dei residui $\{\mathbf{r}_i\}$ e quelli dei residui preconditionati $\{\mathbf{s}_i\}$ sono tra loro bi-ortogonali, ovvero:*

$$\mathbf{s}_j^\top \mathbf{r}_i = 0, \quad i \neq j. \quad (5.5)$$

Dim. Per la (5.4), ed essendo C sdp, basta dimostrare la tesi per $i > j$. Questa segue, quindi, dalla (4.9), ricordando che, in questo caso, $[\mathbf{u}_1, \dots, \mathbf{u}_i] \equiv [\mathbf{s}_0, \dots, \mathbf{s}_{i-1}]$. \square

Osservazione 5.1 *La (5.5) può essere riscritta, in virtù della (5.4), come*

$$\mathbf{r}_j^\top C \mathbf{r}_i = 0, \quad i \neq j.$$

Ovvero i residui $\{\mathbf{r}_i\}$ sono tra loro C -ortogonali. Questo conferma la terminazione (in aritmetica esatta) in al più n passi.

Per ultimo, continua a valere, sempre considerando la (5.3) ed i residui preconditionati al posto di quelli non preconditionati, una estensione del Teorema 4.4 (vedi Esercizio 5.2), il quale permette, infine, di derivare l'Algoritmo 5.1 per il metodo dei gradienti coniugati preconditionati.

Osservazione 5.2 *Rispetto all'Algoritmo 4.3, l'Algoritmo 5.1 richiede un costo computazionale aggiuntivo dato da:*

- *un vettore per il residuo preconditionato corrente e lo spazio per C , in termini di occupazione di memoria (osserviamo, tuttavia, che il vettore \mathbf{s}_i potrebbe essere riscritto sul vettore \mathbf{v}_i);*
- *il calcolo del residuo preconditionato, in termini di operazioni per iterazione.*

Questo costo aggiuntivo in memoria ed operazioni per iterata è tuttavia giustificato dalla aspettativa di eseguire molte meno iterazioni, come vedremo, rispetto al metodo non preconditionato.

Osservazione 5.3 *Osserviamo che il criterio di arresto nell'Algoritmo 5.1 controlla la C -norma del residuo, laddove, nell'Algoritmo 4.3, se ne controllava la norma euclidea. Anche ora (vedi Sezione 4.4) il criterio di arresto più appropriato non è $\eta_{i-1} = 0$, ma $\eta_{i-1} \leq \text{tol}$, per una prefissata tolleranza tol .*

Algoritmo 5.1 *Metodo dei gradienti coniugati preconditionati.*

sia assegnata una approssimazione iniziale \mathbf{x}_0
 inizializzo $\mathbf{r}_0 = \mathbf{b} - A\mathbf{x}_0$, $\mathbf{p}_1 = \mathbf{s}_0 \equiv C\mathbf{r}_0$ e $\eta_0 = \mathbf{r}_0^\top \mathbf{s}_0$
 per $i=1, \dots, n$:

se $\eta_{i-1} = 0$, $\mathbf{x}^* = \mathbf{x}_{i-1}$, esci, fine se

$\mathbf{v}_i = A\mathbf{p}_i$
 $\hat{d}_i = \mathbf{p}_i^\top \mathbf{v}_i$
 $\hat{\lambda}_i = \eta_{i-1} / \hat{d}_i$
 $\mathbf{x}_i = \mathbf{x}_{i-1} + \hat{\lambda}_i \mathbf{p}_i$
 $\mathbf{r}_i = \mathbf{r}_{i-1} - \hat{\lambda}_i \mathbf{v}_i$
 $\mathbf{s}_i = C\mathbf{r}_i$
 $\eta_i = \mathbf{r}_i^\top \mathbf{s}_i$
 $\mu_i = \eta_i / \eta_{i-1}$
 $\mathbf{p}_{i+1} = \mathbf{s}_i + \mu_i \mathbf{p}_i$

fine per

se $i = n$, $\mathbf{x}^* = \mathbf{x}_n$, fine se

Osservazione 5.4 *In genere, come vedremo nel seguito, il residuo preconditionato è calcolato risolvendo il sistema lineare*

$$M\mathbf{s}_i = \mathbf{r}_i, \quad M = C^{-1}. \quad (5.6)$$

invece che eseguendo il prodotto (5.4). Pertanto, il preconditionatore M deve essere caratterizzato da una semplice ed economica risoluzione del sistema lineare (5.6).

Esercizio 5.1 *Dimostrare che, per il metodo dei gradienti coniugati preconditionati, se $\mathbf{x}_i \neq \mathbf{x}^*$ allora*

$$[\mathbf{u}_1, \dots, \mathbf{u}_{i+1}] = [\mathbf{u}_1, CA\mathbf{u}_1, \dots, (CA)^i \mathbf{u}_1] = [\mathbf{s}_0, \dots, \mathbf{s}_i].$$

Esercizio 5.2 *Dimostrare che, per il metodo dei gradienti coniugati preconditionati, se $\mathbf{x}_i \neq \mathbf{x}^*$ allora $\mathbf{u}_{i+1} \in [\mathbf{u}_i, \mathbf{s}_i]$.*

Esercizio 5.3 *Riscrivere l'Algoritmo 5.1 tenendo conto della (5.6) e delle sole strutture di memoria effettivamente richieste nella sua implementazione. Riformularlo, inoltre, come metodo iterativo (e non semi-iterativo), inserendo un idoneo criterio di arresto.*

Nelle prossime sezioni, vedremo alcune tecniche per derivare preconditionatori efficienti.

5.2 Fattorizzazioni incomplete

È noto che, se A è sdp, allora essa è fattorizzabile nella forma

$$A = LDL^T, \quad (5.7)$$

(vedi Sezione 2.4) dove

$$D = \begin{pmatrix} d_1 & & \\ & \ddots & \\ & & d_n \end{pmatrix}, \quad d_i > 0, \quad i = 1, \dots, n,$$

e

$$L = \begin{pmatrix} l_{11} & & \\ \vdots & \ddots & \\ l_{n1} & \dots & l_{nn} \end{pmatrix}, \quad l_{ii} = 1, \quad i = 1, \dots, n.$$

Tuttavia, anche se A è una matrice sparsa, non è detto che il suo fattore L sia sparso a sua volta. Ad esempio, la matrice (1.6) in Esercizio 1.1 è una matrice a banda con ampiezza di banda N , ma con solo 5 diagonali significative. Il suo fattore L , benchè preservi l'ampiezza di banda N , ha tutte le N sotto-diagonali non nulle. Pertanto, quando N è grande, l'occupazione di memoria diviene cospicua. Per questo motivo, si ricercano fattorizzazioni approssimate della matrice A , che possano essere utilizzate come preconditionatori. Ovvero, si ricerca una decomposizione del tipo

$$A = \tilde{L}\tilde{D}\tilde{L}^T - R \equiv M - R, \quad (5.8)$$

dove R è la matrice di errore, M è il preconditionatore,

$$\tilde{D} = \begin{pmatrix} \tilde{d}_1 & & \\ & \ddots & \\ & & \tilde{d}_n \end{pmatrix},$$

e \tilde{L} è triangolare inferiore con elementi diagonali uguali ad 1, ma tipicamente molto più sparsa del corrispondente fattore L in (5.7). Poichè siamo interessati ad avere $M = C^{-1}$ sdp, ricerchiamo la fattorizzazione approssimata in modo tale da avere $\tilde{d}_i > 0, i = 1, \dots, n$. Vediamo sotto quali condizioni questo si verifica.

Vi sono vari modi per definire la fattorizzazione approssimata (5.8). Ad esempio, si possono memorizzare solo gli elementi extra-diagonali del fattore \tilde{L} che hanno modulo più grande di una prefissata tolleranza. Un'alternativa, tra le più utilizzate, è quella di fissare *a priori* la struttura di sparsità del fattore \tilde{L} . Formalmente, se

$$G_n = \{(i, j) \in \{1, \dots, n\}^2 : i > j\},$$

si considera un opportuno $\tilde{G}_n \subseteq G_n$. Il sottoinsieme di indici \tilde{G}_n definisce la fattorizzazione approssimata (5.8) tale che:

$$\tilde{L} = \begin{pmatrix} \ell_{11} & & & \\ \vdots & \ddots & & \\ \ell_{n1} & \dots & \ell_{nn} & \end{pmatrix}, \quad \text{dove: } \begin{cases} \ell_{ii} = 1, & i = 1, \dots, n, \\ \ell_{ij} = 0, & (i, j) \notin \tilde{G}_n. \end{cases} \quad (5.9)$$

Osservazione 5.5 *Se $\tilde{G}_n = G_n$, ad esso corrisponde la fattorizzazione esatta (5.7). D'altronde, al sottoinsieme banale, $\tilde{G}_n = \emptyset$, corrisponde $\tilde{L} = I$, mentre $\tilde{D} \equiv M$ contiene gli elementi diagonali di A . Evidentemente, in entrambi i casi il corrispondente preconditionatore M è sdp.*

Studieremo le condizioni per ottenere M sdp nel caso, abbastanza importante, in cui A è una matrice di Stieltjes, ovvero una M -matrice simmetrica (e, quindi, definita positiva). Si premette il seguente risultato.

Lemma 5.1 *Se A è una matrice di Stieltjes, allora il fattore L in (5.7) è una M -matrice.*

Dim. È sufficiente dimostrare che $l_{ij} \leq 0$, se $i > j$. Dimostriamo per induzione sulla dimensione, n , di A . Per $n = 1$, $L_1 = (1)$ e, pertanto, la tesi è vera. Supponiamola vera per $n - 1$ e dimostriamo per n . Si ha:

$$\begin{aligned} A &\equiv A_n = \begin{pmatrix} A_{n-1} & \mathbf{a}_n \\ \mathbf{a}_n^\top & a_{nn} \end{pmatrix} = \begin{pmatrix} L_{n-1} & \\ & \mathbf{l}_n^\top \end{pmatrix} \begin{pmatrix} D_{n-1} & \\ & d_n \end{pmatrix} \begin{pmatrix} L_{n-1}^\top & \mathbf{l}_n \\ & 1 \end{pmatrix} \\ &= \begin{pmatrix} L_{n-1} D_{n-1} L_{n-1}^\top & L_{n-1} D_{n-1} \mathbf{l}_n \\ \mathbf{l}_n^\top D_{n-1} L_{n-1}^\top & d_n + \mathbf{l}_n^\top D_{n-1} \mathbf{l}_n \end{pmatrix}. \end{aligned} \quad (5.10)$$

Pertanto,

$$L_n = \begin{pmatrix} L_{n-1} & \\ \mathbf{l}_n^\top & 1 \end{pmatrix}.$$

Dall'ipotesi di induzione, segue che L_{n-1} è una M -matrice. Rimane quindi da dimostrare che $\mathbf{l}_n \leq 0$. Dalla (5.10) si ottiene, infatti,

$$0 \geq \mathbf{a}_n \equiv L_{n-1} D_{n-1} \mathbf{l}_n.$$

essendo D_{n-1} con elementi diagonali positivi, e L_{n-1} una M -matrice, segue quindi che

$$\mathbf{l}_n = D_{n-1}^{-1} L_{n-1}^{-1} \mathbf{a}_n \leq 0. \quad \square$$

Esercizio 5.4 *Dall'equazione (5.10) ricavare le seguenti espressioni per gli elementi della fattorizzazione (5.7):*

$$\begin{aligned} d_j &= a_{jj} - \sum_{k=1}^{j-1} l_{jk}^2 d_k, & j &= 1, \dots, n, \\ l_{jj} &= 1, & & (5.11) \\ l_{ij} &= \frac{a_{ij} - \sum_{k=1}^{j-1} l_{ik} l_{jk} d_k}{d_j}, & i &= j+1, \dots, n. \end{aligned}$$

Esercizio 5.5 *Generalizzare l'equazione (5.10) al caso della fattorizzazione approssimata (5.8)-(5.9). Verificare che gli elementi dei fattori sono formalmente dati da:*

$$\begin{aligned} \tilde{d}_j &= a_{jj} - \sum_{k=1}^{j-1} \ell_{jk}^2 \tilde{d}_k, & j &= 1, \dots, n, \\ \ell_{jj} &= 1, & & (5.12) \\ \ell_{ij} &= \begin{cases} \frac{a_{ij} - \sum_{k=1}^{j-1} \ell_{ik} \ell_{jk} \tilde{d}_k}{\tilde{d}_j}, & (i, j) \in \tilde{G}_n, \\ 0, & (i, j) \notin \tilde{G}_n. \end{cases} \end{aligned}$$

Possiamo ora enunciare il risultato di stabilità riguardo alle fattorizzazioni approssimate di matrici di Stieltjes.

Teorema 5.1 *Se A è una matrice di Stieltjes e $\tilde{G}_n \subseteq G_n$, allora (vedi (5.7)-(5.8)) $\tilde{D} \geq \tilde{L}\tilde{D} \geq LD$ e $\tilde{D} \geq D$.*

Dim. Dimostriamo per induzione sulla dimensione, n , di A . Per $n = 1$ la tesi è banalmente vera. Supponiamola vera per $n - 1$ e dimostriamo per n . Infatti, la fattorizzazione esatta sarà data da (5.10), mentre per i fattori approssimati si avrà

$$\tilde{L}_n = \begin{pmatrix} \tilde{L}_{n-1} & \\ \boldsymbol{\ell}_n^\top & 1 \end{pmatrix}, \quad \tilde{D}_n = \begin{pmatrix} \tilde{D}_{n-1} & \\ & \tilde{d}_n \end{pmatrix},$$

con $\tilde{D}_{n-1} \geq \tilde{L}_{n-1}\tilde{D}_{n-1} \geq L_{n-1}D_{n-1}$ e $\tilde{D}_{n-1} \geq D_{n-1} (\geq 0)$, per ipotesi di induzione. Gli elementi delle due fattorizzazioni sono dati da (5.11) e (5.12), rispettivamente. Rimane, quindi, da dimostrare che

$$\begin{aligned} 0 &\geq \boldsymbol{\ell}_n^\top \tilde{D}_{n-1} \equiv (\ell_{n1}\tilde{d}_1, \dots, \ell_{n,n-1}\tilde{d}_{n-1}) \\ &\geq (\ell_{n1}d_1, \dots, \ell_{n,n-1}d_{n-1}) \equiv \boldsymbol{l}_n^\top D_{n-1}, \end{aligned} \quad (5.13)$$

in quanto l'altra disequaglianza discende dal fatto che la precedente implica

$$\begin{aligned} 0 &\leq \boldsymbol{\ell}_n^\top \tilde{D}_{n-1} \boldsymbol{\ell}_n = (-\boldsymbol{\ell}_n^\top \tilde{D}_{n-1}) \tilde{D}_{n-1}^{-1} (-\boldsymbol{\ell}_n^\top \tilde{D}_{n-1})^\top \\ &\leq (-\boldsymbol{l}_n^\top D_{n-1}) D_{n-1}^{-1} (-\boldsymbol{l}_n^\top D_{n-1})^\top = \boldsymbol{l}_n^\top D_{n-1} \boldsymbol{l}_n, \end{aligned}$$

da cui segue che

$$\tilde{d}_n = a_{nn} - \boldsymbol{\ell}_n^\top \tilde{D}_{n-1} \boldsymbol{\ell}_n \geq a_{nn} - \boldsymbol{l}_n^\top D_{n-1} \boldsymbol{l}_n = d_n.$$

Dimostriamo la (5.13), ovvero che $\ell_{nj}\tilde{d}_j \geq \ell_{nj}d_j$, per induzione su j . Per $j = 1$ ho due possibilità:

- $(n, 1) \notin \tilde{G}_n$: pertanto $\ell_{n1}\tilde{d}_1 = 0 \geq a_{n1} \equiv \ell_{n1}d_1$;
- $(n, 1) \in \tilde{G}_n$: in questo caso $0 \geq \ell_{n1}\tilde{d}_1 \equiv a_{n1} \equiv \ell_{n1}d_1$.

Supponiamo ora vera la tesi per $k \leq j - 1$, e dimostriamo per $k = j$. Ancora una volta, posso avere i seguenti due casi:

- $(n, j) \notin \tilde{G}_n$: pertanto $\ell_{nj}\tilde{d}_j = 0 \geq \ell_{nj}d_j$, dal Lemma 5.1;

- $(n, j) \in \tilde{G}_n$: in questo caso dall'ipotesi di induzione (sia quella su n che quella su j), e tenendo conto delle (5.11)-(5.12), segue che

$$\begin{aligned} 0 &\geq \tilde{d}_j \ell_{nj} = a_{nj} - \sum_{k=1}^{j-1} \ell_{nk} \ell_{jk} \tilde{d}_k = a_{nj} - \sum_{k=1}^{j-1} (-\ell_{nk} \tilde{d}_k)(-\ell_{jk} \tilde{d}_k) \tilde{d}_k^{-1} \\ &\geq a_{nj} - \sum_{k=1}^{j-1} (-\ell_{nk} d_k)(-\ell_{jk} d_k) d_k^{-1} = a_{nj} - \sum_{k=1}^{j-1} \ell_{nk} \ell_{jk} d_k = d_j \ell_{nj}. \end{aligned}$$

Considerando che $\tilde{d}_j \geq d_j > 0$, segue quindi che $0 \geq \ell_{nj} \geq l_{nj}$. \square

Corollario 5.2 $I \geq \tilde{L} \geq L$ e, pertanto, \tilde{L} è una M -matrice.

Corollario 5.3 La fattorizzazione approssimata di A definita da un qualunque sottoinsieme di G_n è stabile e il corrispondente preconditionatore è sdp .

Corollario 5.4 Se $M \equiv C^{-1}$ è definito come in (5.8), allora

$$A^{-1} \geq M^{-1} = C \geq 0.$$

5.3 Fattorizzazione incompleta di Cholesky

Se $A = (a_{ij}) \in \mathbb{R}^{n \times n}$, un modo abbastanza ovvio di definire il sottoinsieme \tilde{G}_n è il seguente:

$$\tilde{G}_n = \{(i, j) : i > j \wedge a_{ij} \neq 0\},$$

ovvero, imponiamo che \tilde{L} abbia la stessa struttura di sparsità della parte triangolare inferiore di A . Questa scelta dà origine alla *fattorizzazione incompleta di Cholesky*, spesso denotata con *IC* (*incomplete Cholesky*). Deriviamo la sua espressione nel caso in cui A sia una matrice di Stieltjes con una struttura di sparsità assimilabile a quella della matrice del problema (1.6) dell'Esercizio 1.1. In tal caso, la matrice A è pentadiagonale con ampiezza di banda N :

$$A = \begin{pmatrix} a_1 & b_2 & & c_{N+1} & & \\ b_2 & \ddots & \ddots & & \ddots & \\ & \ddots & \ddots & \ddots & & c_n \\ c_{N+1} & & \ddots & \ddots & \ddots & \\ & \ddots & & \ddots & \ddots & b_n \\ & & c_n & & b_n & a_n \end{pmatrix}, \quad a_i > 0, \quad b_i, c_i \leq 0. \quad (5.14)$$

Esercizio 5.7 Verificare che, nel caso della fattorizzazione incompleta (5.15) della matrice (5.14), la matrice di errore R in (5.8) è data da

$$R = \begin{pmatrix} & r_N & & & \\ & & \ddots & & \\ r_N & & & & r_n \\ & & \ddots & & \\ & & & r_n & \end{pmatrix}, \quad (5.16)$$

con

$$r_N = 0, \quad r_i = \frac{b_{i-N+1}c_i}{\tilde{d}_{i-N}}, \quad i = N + 1, \dots, n. \quad (5.17)$$

Osserviamo che $r_i \geq 0$, se A è, come abbiamo assunto, una matrice di Stieltjes.

5.4 Fattorizzazione incompleta modificata

La bontà del preconditionatore M (o, equivalentemente, di $C = M^{-1}$) determina quanto la matrice preconditionata,

$$CA \equiv M^{-1}A$$

“assomiglia” alla matrice identità I . Un modo per misurare questo, è analizzarne lo spettro: più questo avrà gli autovalori addensati intorno a $\lambda = 1$, tanto migliore sarà il preconditionatore. Dalla (5.8), segue che

$$M^{-1}A = I - M^{-1}R.$$

Inoltre, osserviamo che, essendo M^{-1} sdp, allora sarà fattorizzabile nella forma $M^{-1} = G^T G$, con $G = (\tilde{L}\tilde{D}^{\frac{1}{2}})^{-1}$ (fattorizzazione di Cholesky). Pertanto,

$$M^{-1}R = (G^T G)R \sim GRG^T.$$

Tenendo conto del fatto che R è simmetrica, si conclude che gli autovalori di $M^{-1}R$ sono reali ed aventi gli stessi segni di quelli di R .

Osserviamo che, essendo $M^{-1}A \sim GAG^T$ che è definita positiva, allora il numero di condizionamento di quest'ultima matrice sarà dato da

$$\frac{1 - \mu_{min}}{1 - \mu_{max}},$$

dove μ_{min} e μ_{max} sono, rispettivamente, il più piccolo ed il più grande autovalore di $M^{-1}R$. Ricordiamo che $1 > \mu_{max}$, sebbene quest'ultimo potrebbe

essere, in alcuni casi, assai vicino a 1, rendendo la matrice malcondizionata. Tuttavia, se riuscissimo a modificare la fattorizzazione incompleta in modo da garantire che

$$\sigma(R) \subset \mathbb{R}^-, \quad (5.18)$$

allora seguirebbe che $\mu_{max} \leq 0$. Pertanto, l'autovalore più piccolo della matrice preconditionata sarebbe non minore di $\lambda = 1$, migliorandone generalmente il condizionamento. Questa modifica, nel caso della fattorizzazione IC, ne origina la versione *modificata*, denominata *MIC (modified IC)*.

Ricaviamo la espressione della fattorizzazione MIC nel caso della matrice (5.14) che, ricordiamo, assumiamo essere una matrice di Stieltjes. Si premette il seguente risultato, riguardo alla localizzazione degli autovalori di una matrice.

Teorema 5.2 (Gershgorin) *Se $A = (a_{ij}) \in \mathbb{R}^{n \times n}$, allora*

$$\sigma(A) \subset \bigcup_{i=1}^n \mathcal{D}_i,$$

dove

$$\mathcal{D}_i = \left\{ z \in \mathbb{C} : |z - a_{ii}| \leq \sum_{j \neq i} |a_{ij}| \right\}, \quad i = 1, \dots, n.$$

Esercizio 5.8 *Dimostrare il Teorema di Gershgorin.*

Nel caso in esame, quindi, considerando che gli elementi $\{r_i\}$ di R (vedi (5.16)-(5.17)) sono non negativi, un modo semplice per garantire la (5.18) è fare in modo che la matrice R abbia, sulla posizione i -esima della diagonale principale, $-(r_i + r_{i+N-1})$ (per convenzione, $r_j = 0$, se $j < N$ o $j > n$). In tal modo, dal Teorema di Gershgorin segue che gli autovalori di R dovranno essere non positivi. Questo si ottiene semplicemente utilizzando la seguente definizione degli elementi $\{\tilde{d}_i\}$ della fattorizzazione, al posto di quella vista in (5.15):

$$\tilde{d}_i = a_i - \frac{b_i(b_i + c_{i+N-1})}{\tilde{d}_{i-1}} - \frac{c_i(c_i + b_{i-N+1})}{\tilde{d}_{i-N}}, \quad i = 1 \dots, n, \quad (5.19)$$

dove, al solito, $b_i = 0$, per $i \leq 1$, e $c_i = 0$, per $i \leq N$ o $i > n$.

Esercizio 5.9 *Derivare la equazione di ricorrenza (5.19) per la fattorizzazione modificata e verificare che essa soddisfa la (5.18).*

Esercizio 5.10 *Dimostrare che, nel caso della fattorizzazione (5.19), l'autovalore più piccolo della matrice preconditionata è $\lambda = 1$, cui corrisponde un autovettore con componenti tutte uguali.*

A titolo di esempio, in Figura 5.1 riportiamo lo spettro della matrice A in (1.6), $N = 10$ (vedi Esercizio 1.1), assieme a quello della matrice preconditionata mediante IC e mediante la versione modificata MIC. Nell'ultimo caso, è evidente come il più piccolo autovalore della matrice preconditionata sia $\lambda = 1$.

Concludiamo questa sezione comparando il metodo dei gradienti coniugati non preconditionati (CG) con quello preconditionato con IC (PCG-IC) e MIC (PCG-MIC), applicati sempre al problema (1.6) per valori di N compresi tra 10 e 100 (le dimensioni delle matrici corrispondenti vanno, quindi, da 10^2 a 10^4). In Figura 5.2 si riportano le iterazioni richieste dai vari metodi per soddisfare lo stesso criterio di arresto basato sulla norma del residuo ($\|\mathbf{r}_i\| < 10^{-6}$). In tutti i casi, la soluzione iniziale considerata è stata il vettore nullo. Come si evince dalla figura, le versioni preconditionate risultano essere particolarmente vantaggiose, rispetto al metodo senza preconditionatore. Tra le versioni preconditionate, MIC risulta essere decisamente migliore (avendo, tra l'altro, esattamente lo stesso costo per iterazione della IC).

5.5 Generalizzazione a blocchi

La matrice del problema (1.6), come anche la matrice (1.5), è una matrice di Stieltjes pentadiagonale. Tuttavia, se la riguardiamo partizionata a blocchi (di dimensione $N \times N$), essa risulta essere tridiagonale. Ovvero della forma

$$A = \begin{pmatrix} A_1 & B_2^\top & & & \\ B_2 & \ddots & \ddots & & \\ & \ddots & \ddots & B_N^\top & \\ & & B_N & A_N & \end{pmatrix}. \quad (5.20)$$

In particolare, nel caso delle due matrici su menzionate, $B_i = -I_N, i = 2, \dots, N$, ed i blocchi A_i sono tridiagonali. Se la matrice è sdp, allora sarà fattorizzabile nella forma

$$A = LD^{-1}L^\top, \quad (5.21)$$

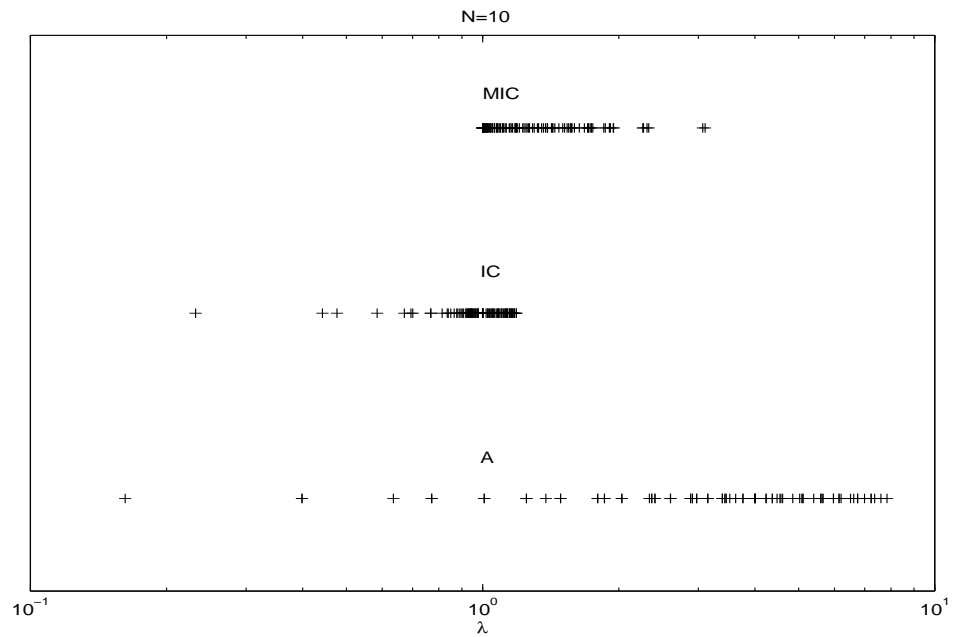


Figura 5.1: Spettro della matrice A in (1.6), e delle corrispondenti versioni preconditionate.

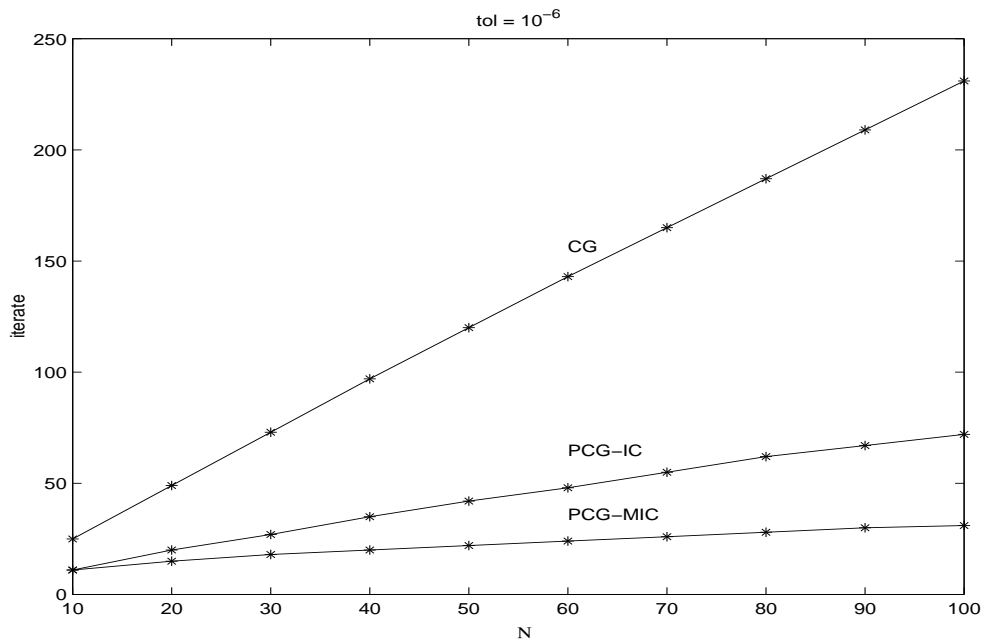


Figura 5.2: Problema (1.6), $N = 10, \dots, 100$; confronto tra CG, IC e MIC.

dove

$$L = \begin{pmatrix} D_1 & & & & \\ B_2 & \ddots & & & \\ & \ddots & \ddots & & \\ & & & B_N & D_N \end{pmatrix}, \quad D = \begin{pmatrix} D_1 & & & & \\ & \ddots & & & \\ & & \ddots & & \\ & & & \ddots & \\ & & & & D_N \end{pmatrix}, \quad (5.22)$$

e i blocchi diagonali sono definiti, ponendo per convenzione $B_1 = O$, da

$$D_i = A_i - B_i D_{i-1}^{-1} B_i^\top, \quad i = 1, \dots, N. \quad (5.23)$$

Esercizio 5.11 Verificare la fattorizzazione (5.21)–(5.23).

Osserviamo che il costo computazionale della fattorizzazione (5.21)–(5.23) risulta essere di $O(N^4)$ operazioni e N^3 posizioni di memoria. Risulta, pertanto, oneroso, quando N è grande, soprattutto quando i blocchi A_i e B_i sono sparsi. È possibile, tuttavia, definire una versione approssimata della (5.21), che definisce un *precondizionatore a blocchi* per la matrice A , da utilizzarsi con il metodo dei gradienti coniugati preconditionati. In maggior dettaglio, in analogia con la (5.8), definiamo

$$A = \tilde{L} \tilde{D}^{-1} \tilde{L} - R \equiv M - R, \quad (5.24)$$

dove M è il preconditionatore, R è la matrice di errore, e

$$\tilde{L} = \begin{pmatrix} \tilde{D}_1 & & & & \\ B_2 & \ddots & & & \\ & \ddots & \ddots & & \\ & & & B_N & \tilde{D}_N \end{pmatrix}, \quad \tilde{D} = \begin{pmatrix} \tilde{D}_1 & & & & \\ & \ddots & & & \\ & & \ddots & & \\ & & & \ddots & \\ & & & & \tilde{D}_N \end{pmatrix}.$$

I blocchi diagonali $\{\tilde{D}_i\}$ sono definiti da

$$\tilde{D}_i = A_i - B_i \Sigma_{i-1} B_i^\top, \quad i = 1, \dots, N,$$

essendo Σ_{i-1} una *approssimazione sparsa* di \tilde{D}_{i-1}^{-1} .

Esercizio 5.12 Verificare che, nella (5.24),

$$R = \begin{pmatrix} R_1 & & & & \\ & \ddots & & & \\ & & \ddots & & \\ & & & \ddots & \\ & & & & R_N \end{pmatrix}, \quad R_i = B_i (\Sigma_{i-1} - \tilde{D}_{i-1}^{-1}) B_i^\top.$$

Osservazione 5.7 In modo analogo a quanto visto nella precedente sezione per la IC, è possibile definire una corrispondente versione modificata del preconditionatore M in (5.24). Tuttavia, questo può non essere sempre conveniente, a causa del costo per ottenerla.

5.6 Precondizionatori polinomiali

Fino ad ora abbiamo derivato, in diversi modi, la matrice di precondizionamento $M \equiv C^{-1} \approx A$. Pertanto M risulta essere una approssimazione di A , la cui inversa sia facilmente (ed efficientemente) calcolabile. In questa sezione cercheremo di derivare, per la prima volta, una espressione per $C \approx A^{-1}$. Questa approssimazione, vedremo, commuta con A , cosicché se C è sdp, allora tale è anche CA . Pertanto, la scelta $B = CA$ per i gradienti coniugati risulta essere la più naturale.

Osservazione 5.8 *Abbiamo visto che il metodo dei gradienti coniugati minimizza, ad ogni passo, la B -norma dell'errore in un opportuno sottospazio. Quindi, se si utilizza la norma $B = CA$, con $C \approx A^{-1}$, segue che $B \approx I$, ovvero la norma dell'errore che viene minimizzata è approssimativamente quella euclidea.*

Ricercheremo il precondizionatore C nella forma

$$C = C(A), \quad C(z) \in \Pi_{m-1},$$

per un certo $m \in \mathbb{N}$ assegnato. Osserviamo che $C(A)$ è simmetrica e, inoltre, commuta con A . Idealmente, si desidererebbe $C(A) \equiv A^{-1}$, ma questo implicherebbe che $C(\lambda)$ dovrebbe essere il polinomio interpolante la funzione $f(\lambda) = \lambda^{-1}$ sui punti dello spettro di A , che indichiamo con

$$\sigma(A) = \{0 < \lambda_{min} \equiv \lambda_1 \leq \lambda_2 \leq \dots \leq \lambda_n \equiv \lambda_{max}\}.$$

Questo implica che il relativo grado è potenzialmente elevato, se A ha molti autovalori distinti e, peraltro, $\sigma(A)$ è generalmente non noto. In realtà, noi ricerchiamo solo una approssimazione dell'inversa, per cui, fissato m , cercheremo il polinomio di grado al più $m - 1$ che minimizza la differenza

$$|\lambda^{-1} - C(\lambda)|, \quad \lambda \in [\lambda_{min}, \lambda_{max}].$$

Se invece di minimizzare l'errore assoluto si minimizza quello relativo (il che è più pertinente, nel nostro caso), si ottiene, infine, il seguente problema di minimissimo vincolato:

$$\begin{aligned} & \min_{C \in \Pi_{m-1}} \max_{\lambda \in [\lambda_{min}, \lambda_{max}]} |1 - C(\lambda)\lambda| \\ & \equiv \min_{p \in \Pi_m, p(0)=0} \max_{\lambda \in [\lambda_{min}, \lambda_{max}]} |1 - p(\lambda)| \\ & \equiv \min_{e \in \Pi_m, e(0)=1} \max_{\lambda \in [\lambda_{min}, \lambda_{max}]} |e(\lambda)|. \end{aligned} \quad (5.25)$$

Poichè il punto di interpolazione, $\lambda = 0$, è esterno all'intervallo $[\lambda_{min}, \lambda_{max}]$, la soluzione del problema (5.25) è noto essere data da (vedi Sezione 2.9)

$$e_m(\lambda) = \frac{T_m(\mu(\lambda))}{T_m(\mu(0))}, \quad \mu(\lambda) = \frac{\lambda_{max} + \lambda_{min} - 2\lambda}{\lambda_{max} - \lambda_{min}}, \quad (5.26)$$

dove $T_m(x)$ è l' m -esimo polinomio di Chebyshev di prima specie. Ne consegue che la corrispondente matrice preconditionata sarà

$$C(A)A \equiv C_{m-1}(A)A = p_m(A) = I - e_m(A) \equiv I - \frac{T_m(\mu(A))}{T_m(\mu(0))}, \quad (5.27)$$

dove, evidentemente,

$$\mu(A) = \frac{(\lambda_{max} + \lambda_{min})I - 2A}{\lambda_{max} - \lambda_{min}}. \quad (5.28)$$

Osserviamo che gli autovalori di $p_m(A)$ sono dati da

$$1 - e_m(\lambda), \quad \lambda \in \sigma(A),$$

per cui, se

$$\varepsilon_m \equiv \max_{\lambda \in [\lambda_{min}, \lambda_{max}]} |e_m(\lambda)| < 1, \quad (5.29)$$

allora $p_m(A)$ è sdp ed è possibile utilizzare la norma indotta da $B = p_m(A)$. Inoltre, in tal caso si verifica facilmente che

$$\kappa(p_m(A)) \leq \frac{1 + \varepsilon_m}{1 - \varepsilon_m}. \quad (5.30)$$

Osserviamo che l'ottimalità di (5.26) implica che la maggiorazione di $\kappa(p_m(A))$ data dalla (5.30) è minimizzata. Valgono i seguenti risultati.

Teorema 5.3 *Per ogni $m \geq 1$ si ha $\varepsilon_m < 1$.*

Dim. Infatti, dalle (5.26)–(5.29) segue che

$$\varepsilon_m = T_m(\mu(0))^{-1}, \quad \mu(0) = \frac{\lambda_{max} + \lambda_{min}}{\lambda_{max} - \lambda_{min}} > 1.$$

Infine (vedi Sezione 2.9) la successione $\{T_m(\mu(0))\}$ è strettamente monotona crescente e divergente, avendosi

$$T_m(\mu(0)) = \cosh \left(m \log \left(\mu(0) + \sqrt{\mu(0)^2 - 1} \right) \right),$$

e, inoltre, $T_1(\mu(0)) = \mu(0) > 1$. \square

Pertanto, la successione $\{\varepsilon_m\}$ è infinitesima. Da questo discende immediatamente, considerando la (5.30), il seguente corollario.

Corollario 5.5 $\kappa(p_m(A)) \rightarrow 1$, per $m \rightarrow \infty$.

In Figura 5.3 riportiamo, a titolo di esempio, la quantità (vedi (5.30))

$$\frac{2\varepsilon_m}{1 - \varepsilon_m} \geq \kappa(p_m(A)) - 1,$$

rispetto ad m , per la matrice A nell'equazione (1.6), $N = 20$.

Ancora dal Teorema 5.3 discende il seguente risultato che, essenzialmente, ci dice che la matrice preconditionata ha un numero di condizionamento minore di quello di A , per quasi ogni valore di m .

Corollario 5.6 $\kappa(p_m(A)) < \kappa(A)$, per ogni $m \geq 2$.

Dim. Dalla (5.30) segue infatti che la tesi è vera se

$$\frac{1 + \varepsilon_m}{1 - \varepsilon_m} < \kappa(A) \equiv \frac{\lambda_{max}}{\lambda_{min}},$$

ovvero quando

$$\varepsilon_m < \frac{\lambda_{max} - \lambda_{min}}{\lambda_{max} + \lambda_{min}} \equiv \mu(0)^{-1} \equiv \varepsilon_1. \quad \square$$

Osservazione 5.9 Evidentemente, $\kappa(p_1(A)) \leq \kappa(A)$.

In Figura 5.4 riportiamo, come esempio, il numero di iterazioni per soddisfare lo stesso criterio di arresto visto per i metodi in Figura 5.2, usando i preconditionatori di grado $m = 9$ e $m = 11$.

Osservazione 5.10 Osserviamo che, per confrontare correttamente i risultati riportati in Figura 5.4 con quelli di Figura 5.2, bisogna considerare che ogni iterazione con il preconditionatore polinomiale ha un costo molto superiore a quello dei preconditionatori IC e MIC. Inoltre, il costo aumenta al crescere del grado m . Questo aspetto sarà approfondito nella prossima sezione.

5.7 Dettagli implementativi

Abbiamo detto che il preconditionatore polinomiale è convenientemente implementato nel metodo preconditionato dei gradienti coniugati con la scelta $B = C_{m-1}(A)A \equiv p_m(A)$. Questo implica che è formalmente possibile utilizzare l'Algoritmo 4.3 con le seguenti sostituzioni formali (vedi (5.27)):

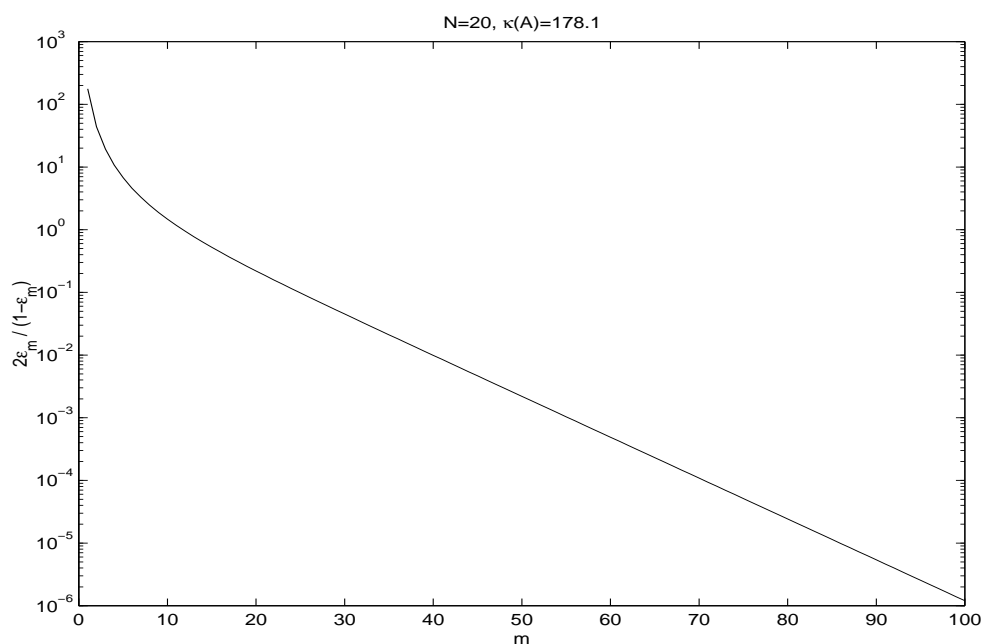


Figura 5.3: Maggiorazione di $\kappa(p_m(A)) - 1$ per la matrice in (1.6), $N = 20$.

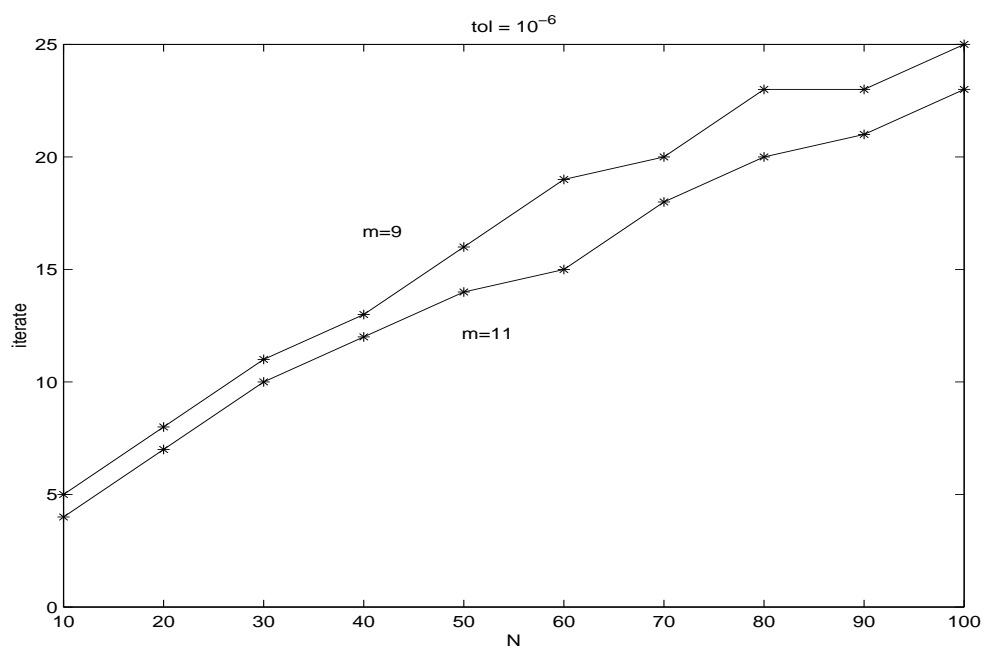


Figura 5.4: Problema (1.6), $N = 10, \dots, 100$; confronto tra i preconditionatori polinomiali di grado $m = 9$ e $m = 11$.

- $A \leftarrow p_m(A)$;
- $\mathbf{b} \leftarrow C_{m-1}(A)\mathbf{b}$.

Ne consegue che abbiamo bisogno di algoritmi efficienti per calcolare la matrice $p_m(A)$ e, inizialmente, il vettore $C_{m-1}(A)\mathbf{b}$.

Preliminarmente, osserviamo che abbiamo bisogno anche di conoscere gli autovalori estremi di A , λ_{min} e λ_{max} , per poter definire la (5.28). Abbiamo già visto in Sezione 4.4 come ottenere buone approssimazioni di queste quantità, quando non fossero note, eseguendo alcune iterazioni del metodo dei gradienti coniugati che, tra l'altro, fornirebbero anche un punto iniziale più favorevole. Va tuttavia sottolineato che le proprietà di convergenza esaminate nella precedente sezione dipendono in modo cruciale da tali stime, per cui se queste non fossero sufficientemente accurate, potrebbe aversi una degradazione significativa della "performance" del preconditionatore.

Dopo questa premessa, passiamo ad esaminare i due punti su evidenziati.

Per il calcolo della matrice preconditionata, osserviamo che nell'Algoritmo 4.3 è solo richiesto di poter effettuare il prodotto (vedi (5.27))

$$\mathbf{v} = p_m(A)\mathbf{p} \equiv \mathbf{p} - T_m(\mu(0))^{-1} (T_m(\mu(A))\mathbf{p}). \quad (5.31)$$

Pertanto, il problema è risolto ricordando che $T_m(\mu(0))$ si calcola ricorsivamente come

$$\begin{aligned} T_0(\mu(0)) &= 1, \\ T_1(\mu(0)) &= \mu(0), \\ T_{i+1}(\mu(0)) &= 2\mu(0)T_i(\mu(0)) - T_{i-1}(\mu(0)), \quad i = 1, \dots, m-1, \end{aligned}$$

ed individuando una procedura efficiente per calcolare $T_m(\mu(A))\mathbf{p}$. A questo fine, osserviamo che risulta essere conveniente assemblare la matrice (vedi (5.28))

$$G \equiv 2\mu(A), \quad (5.32)$$

che richiede un costo lineare in n , se A è sparsa. Osserviamo che, fisicamente, G può essere riscritta su A : pertanto non è necessario un costo addizionale, in termini di memoria. Quindi, si verifica facilmente che $\mathbf{y}_m \equiv T_m(\mu(A))\mathbf{p}$, dove

$$\begin{aligned} \mathbf{y}_0 &= \mathbf{p}, \\ \mathbf{y}_1 &= \frac{1}{2}(G\mathbf{p}), \\ \mathbf{y}_{i+1} &= G\mathbf{y}_i - \mathbf{y}_{i-1}, \quad i = 1, \dots, m-1. \end{aligned}$$

Se ne conclude che il calcolo di \mathbf{v} richiede (vedi (5.31)) m matvec ed m axpy.

Esercizio 5.13 *Scrivere un codice che implementi il calcolo del vettore \mathbf{v} in (5.31).*

Esaminiamo, ora, il calcolo del vettore $C_{m-1}(A)\mathbf{b}$, richiesto per il calcolo del solo residuo iniziale. Teoricamente, essendo

$$C_{m-1}(\lambda) = \frac{p_m(\lambda)}{\lambda} = \frac{1 - e_m(\lambda)}{\lambda} \equiv \frac{T_m(\mu(0)) - T_m(\mu(\lambda))}{\lambda T_m(\mu(0))}, \quad (5.33)$$

potremmo utilizzare la base delle potenze per rappresentare $p_m(\lambda)$ ed effettuare la divisione formale per λ , in quanto, ricordiamo, $p_m(0) = 0$. Tuttavia, questa procedura non è raccomandabile, in quanto, anche per modesti valori di m , i coefficienti di $p_m(\lambda)$, in questa base, risultano essere assai grandi e di segno discorde, rendendo inaffidabile il calcolo in aritmetica finita. Ad esempio, se

$$m = 11, \quad \lambda_{min} = 10^{-3}, \quad \lambda_{max} = 1.001, \quad (5.34)$$

si ottiene che $\mu(\lambda) = 1.002 - 2\lambda$ e $p_{11}(\lambda) = \sum_{i=0}^{11} c_i \lambda^{11-i}$, con i coefficienti della rappresentazione dati, approssimativamente, da:

$$\begin{pmatrix} c_0 \\ \vdots \\ c_{11} \end{pmatrix} = \begin{pmatrix} 1.6752660329527138e + 006 \\ -9.2323911076024063e + 006 \\ 2.1975394326889034e + 007 \\ -2.9566871007963315e + 007 \\ 2.4710334661370583e + 007 \\ -1.3273250212561980e + 007 \\ 4.5826267022750815e + 006 \\ -9.8775156863499968e + 005 \\ 1.2453502849456538e + 005 \\ -8.1003898374282262e + 003 \\ 2.0914774360373008e + 002 \\ 0.0000000000000000e + 000 \end{pmatrix}. \quad (5.35)$$

Per ottenere una rappresentazione computazionalmente più efficiente non conviene, quindi, ricorrere alla usuale base delle potenze. È invece preferibile utilizzare, come polinomi di base, dei polinomi che soddisfino alla stessa relazione di ricorrenza (2.18) dei polinomi di Chebyshev. Dalla (5.33) segue che

$$C_{m-1}(\lambda) = \frac{S_m(\lambda)}{\lambda T_m(\mu(0))}, \quad S_m(\lambda) = T_m(\mu(0)) - T_m(\mu(\lambda)). \quad (5.36)$$

Si verifica che la successione $\{S_i(\lambda)\}$ soddisfa alla equazione alle differenze

$$\begin{aligned} S_0(\lambda) &\equiv 0, \\ S_1(\lambda) &= \frac{2\lambda}{\lambda_{max} - \lambda_{min}}, \\ S_{i+1}(\lambda) &= 2\mu(\lambda)S_i(\lambda) - S_{i-1}(\lambda) + \frac{4\lambda}{\lambda_{max} - \lambda_{min}}T_i(\mu(0)), \quad i = 1, 2, \dots, \end{aligned} \quad (5.37)$$

la cui soluzione si verifica essere

$$S_m(\lambda) = \frac{2\lambda}{\lambda_{max} - \lambda_{min}} \left(2 \sum_{k=0}^{m-1} T_k(\mu(0))U_{m-1-k}(\mu(\lambda)) - U_{m-1}(\mu(\lambda)) \right), \quad (5.38)$$

in cui gli $\{U_k\}$ sono i polinomi di Chebyshev di seconda specie. Dalla (5.36) segue quindi che

$$C_{m-1}(\lambda) = \sum_{k=0}^{m-1} \gamma_k U_{m-1-k}(\mu(\lambda)), \quad (5.39)$$

dove

$$\begin{aligned} \gamma_0 &= \frac{2}{(\lambda_{max} - \lambda_{min})T_m(\mu(0))}, \\ \gamma_k &= \frac{4T_k(\mu(0))}{(\lambda_{max} - \lambda_{min})T_m(\mu(0))}, \quad k = 1, \dots, m-1. \end{aligned}$$

Considerando che la successione $\{T_k(\mu(0))\}$ è crescente e ad elementi positivi, se ne conclude che tutti i coefficienti appartengono all'intervallo

$$(0, 4(\lambda_{max} - \lambda_{min})^{-1}).$$

Nel caso dell'esempio (5.34) si ottiene l'intervallo $(0, 4)$, da confrontare con i coefficienti riportati nella (5.35).

Esercizio 5.14 *Verificare che la successione $\{S_i(\lambda)\}$, definita dalla (5.36), soddisfa alla equazione (5.37).*

Esercizio 5.15 *Verificare che la (5.38) è la soluzione del problema (5.37).*

- $J = J^\top, J^2 = I;$
- $JA_\lambda J = A_\lambda^\top,$
- $JE_1 = E_m;$
- $\hat{\gamma} \equiv J\gamma = (\gamma_0, \dots, \gamma_{m-1})^\top.$

Pertanto, segue che

$$C_{m-1}(\lambda) = \gamma^\top A_\lambda^{-1} E_1 = \gamma^\top J^2 A_\lambda^{-1} J^2 E_1 = \hat{\gamma}^\top A_\lambda^{-T} E_m = E_m^\top A_\lambda^{-1} \hat{\gamma}.$$

La tesi si completa osservando che, dalla (5.40), il vettore

$$\mathbf{y} = (y_0, \dots, y_{m-1})^\top,$$

risulta essere soluzione del sistema lineare

$$A_\lambda \mathbf{y} = \hat{\gamma},$$

da cui si ottiene

$$y_{m-1} = E_m^\top A_\lambda^{-1} \hat{\gamma}. \quad \square$$

Questo risultato può essere utilmente impiegato per il calcolo del vettore $C_{m-1}(A)\mathbf{b}$. Infatti, ricordando la definizione della matrice G in (5.32), dalla (5.40) si ottiene che la successione

$$\begin{aligned} \mathbf{y}_{-1} &= \mathbf{0}, \\ \mathbf{y}_0 &= \gamma_0 \mathbf{b}, \\ \mathbf{y}_k &= G\mathbf{y}_{k-1} - \mathbf{y}_{k-2} + \gamma_k \mathbf{b}, \quad k = 1, \dots, m-1, \end{aligned} \tag{5.41}$$

è tale che $\mathbf{y}_{m-1} = C_{m-1}(A)\mathbf{b}$, con un costo, quindi, di $m-1$ matvec e $2m-2$ axpy.

Esercizio 5.16 *Scrivere un codice che implementi efficientemente l'algoritmo (5.41) per il calcolo di $C_{m-1}(A)\mathbf{b}$.*

Esercizio 5.17 *Si supponga che gli autovalori estremi di una matrice sdp A siano $\lambda_{\min} = 0.5$, e $\lambda_{\max} = 10000.5$. Quale è il grado minimo del polinomio $p(z)$ tale che:*

- $p(0) = 0,$
- $p(A)$ è la migliore approssimazione della matrice identità,
- $\kappa(p(A)) \leq 100?$

(Considerare che $(\log_2(1 + 10^{-2}\sqrt{2}))^{-1} \approx 49.4$).

Capitolo 6

Il caso A simmetrica

In questo capitolo trattiamo il caso della risoluzione di sistemi lineari la cui matrice dei coefficienti sia una matrice simmetrica nonsingolare.

6.1 Introduzione

Nel caso in cui la matrice del sistema lineare

$$A\mathbf{x} = \mathbf{b} \tag{6.1}$$

non sia più sdp, allora i metodi analizzati precedentemente possono non essere più ben definiti, in quanto, essenzialmente, la matrice A non induce più un prodotto scalare ed una norma corrispondente. Si deve, quindi, modificare l'approccio per la risoluzione del problema. Tuttavia, laddove queste esistono, tutte le proprietà della matrice A devono essere convenientemente utilizzate, al fine di ottenere metodi di risoluzione efficienti. Per questo motivo, in questo capitolo e nel successivo, “impoveriremo” progressivamente la matrice A . Il motivo di ciò risiede nel fatto che il caso in cui A sia, oltre che nonsingolare, anche simmetrica, merita una analisi separata dal caso in cui A sia una generica matrice nonsingolare. È questo il caso che andiamo a trattare in questo capitolo, dove assumeremo costantemente la proprietà di simmetria della matrice A del sistema lineare (6.1).

Concludiamo questa introduzione osservando che la via di risolvere il problema (6.1) mediante la risoluzione del sistema equivalente (*equazioni normali*)

$$A^\top A\mathbf{x} = A^\top \mathbf{b}, \tag{6.2}$$

la cui matrice è sdp, se A è nonsingolare, non è una prassi raccomandabile. Questo è dovuto al fatto che, generalmente, $\kappa(A^\top A) \gg \kappa(A)$. Ad esempio,

se si utilizza la norma 2,

$$\kappa(A^\top A) = \kappa(A)^2.$$

6.2 Il metodo di Lanczos

Nel caso in cui A sia una matrice simmetrica, se ne ricerca la seguente fattorizzazione, alternativa alla (4.2) esaminata nel caso sdp,

$$AU = UT \equiv (\mathbf{u}_1 \dots \mathbf{u}_n) \begin{pmatrix} \gamma_1 & \beta_1 & & & \\ \beta_1 & \ddots & \ddots & & \\ & \ddots & \ddots & \beta_{n-1} & \\ & & \beta_{n-1} & \gamma_n & \end{pmatrix}, \quad U^\top U = I. \quad (6.3)$$

Questa fattorizzazione, se esiste, definisce la riduzione a forma tridiagonale della matrice A mediante una trasformazione ortogonale. La corrispondente procedura di tridiagonalizzazione è nota come *metodo di Lanczos*.

Osservazione 6.1 Osserviamo che, rispetto alla (4.2), la matrice B , che definisce il prodotto scalare, è scelta uguale alla matrice identità I .

Vediamo di derivare l'algoritmo corrispondente alla (6.3). Osserviamo che, essendo U una matrice ortogonale,

$$U^\top AU = U^\top UT = T.$$

Questa equazione:

- conferma che la matrice T deve essere simmetrica;
- ci dice che le matrici A e T sono simili;
- permette di derivare le seguenti espressioni per i coefficienti di T :

$$\mathbf{u}_i^\top A \mathbf{u}_i = \gamma_i, \quad \mathbf{u}_i^\top A \mathbf{u}_{i+1} = \beta_i, \quad i = 1, \dots, n, \quad (6.4)$$

dove, come nel caso della (4.2), assumiamo $\mathbf{u}_{n+1} = \mathbf{0}$.

Inoltre, considerando le colonne i -esime dei due membri della prima equazione in (6.3) e ponendo per convenzione $\beta_0 = 0$, si ottiene la seguente equazione di ricorrenza,

$$A \mathbf{u}_i = \beta_i \mathbf{u}_{i+1} + \gamma_i \mathbf{u}_i + \beta_{i-1} \mathbf{u}_{i-1}, \quad i = 1, \dots, n. \quad (6.5)$$

Algoritmo 6.1 *Fattorizzazione (6.3).*

sia assegnato un vettore iniziale \mathbf{u}_1 , $\|\mathbf{u}_1\| = 1$

inizializzo $\beta_0 = 0$

per $i=1, \dots, n$:

$$\mathbf{v}_i = A\mathbf{u}_i$$

$$\gamma_i = \mathbf{u}_i^\top \mathbf{v}_i$$

$$\mathbf{v}_i \leftarrow \mathbf{v}_i - \gamma_i \mathbf{u}_i - \beta_{i-1} \mathbf{u}_{i-1}$$

$$\beta_i = \|\mathbf{v}_i\|$$

se $\beta_i = 0$, esci, fine se

$$\mathbf{u}_{i+1} = \mathbf{v}_i / \beta_i$$

fine per

Questa relazione, tenendo conto della simmetria della matrice T , induce il seguente modo alternativo per calcolare β_i ed il nuovo vettore \mathbf{u}_{i+1} :

$$\mathbf{v}_i = A\mathbf{u}_i - \gamma_i \mathbf{u}_i - \beta_{i-1} \mathbf{u}_{i-1}, \quad (6.6)$$

$$\beta_i = \|\mathbf{v}_i\|, \quad \mathbf{u}_{i+1} = \mathbf{v}_i / \beta_i, \quad i = 1, \dots, n-1.$$

Possiamo riassumere le precedenti espressioni (6.4)–(6.6) nell' Algoritmo 6.1.

Osservazione 6.2 *Osserviamo che, qualora l'Algoritmo 6.1 termini ad un passo $i < n$ (cioè si verifichi $\beta_i = 0$), allora, dette*

$$U_i = (\mathbf{u}_1 \dots \mathbf{u}_i), \quad T_i = \begin{pmatrix} \gamma_1 & \beta_1 & & & \\ \beta_1 & \ddots & \ddots & & \\ & \ddots & \ddots & \beta_{i-1} & \\ & & \beta_{i-1} & \gamma_i & \end{pmatrix}, \quad (6.7)$$

avremo determinato

$$AU_i = U_i T_i, \quad U_i^\top U_i = I_i, \quad (6.8)$$

ovvero una base ortonormale per un sottospazio i -dimensionale invariante di A . Ne consegue che gli autovalori di T_i sono i degli autovalori di A .

Viceversa, se $\beta_i \neq 0$, allora dalla (6.3) si ottiene che

$$AU_i = U_{i+1}\hat{T}_i \equiv U_{i+1} \begin{pmatrix} \gamma_1 & \beta_1 & & & \\ \beta_1 & \ddots & \ddots & & \\ & \ddots & \ddots & \beta_{i-1} & \\ & & & \beta_{i-1} & \gamma_i \\ \hline & & & & \beta_i \end{pmatrix} \equiv U_{i+1} \left(\frac{T_i}{\beta_i(E_i^{(i)})^\top} \right). \quad (6.9)$$

Per verificare che il precedente Algoritmo 6.1 determina proprio la fattorizzazione (6.3), rimane da dimostrare il seguente risultato.

Teorema 6.1 *I vettori $\{\mathbf{u}_i\}$ sono ortogonali.*

Dim. Dimostriamo, per induzione su $k \leq n$, che $\{\mathbf{u}_1, \dots, \mathbf{u}_k\}$ sono ortogonali. Per $k = 2$ la tesi segue facilmente dalle (6.4) e (6.5) per $i = 1$. Supponiamo ora vera la tesi per k e dimostriamo che $\mathbf{u}_j^\top \mathbf{u}_{k+1} = 0, j \leq k$, assumendo che $\mathbf{u}_{k+1} \neq \mathbf{0}$. Per $j \leq k-2$ la tesi segue dall'ipotesi di induzione osservando che $\beta_k \neq 0$ e, dalla (6.5),

$$\begin{aligned} \beta_k \mathbf{u}_j^\top \mathbf{u}_{k+1} &= \mathbf{u}_j^\top (A\mathbf{u}_k - \gamma_k \mathbf{u}_k - \beta_{k-1} \mathbf{u}_{k-1}) = \mathbf{u}_j^\top A\mathbf{u}_k \\ &= (\beta_j \mathbf{u}_{j+1} + \gamma_j \mathbf{u}_j + \beta_{j-1} \mathbf{u}_{j-1})^\top \mathbf{u}_k = 0. \end{aligned}$$

Per $j = k-1$ e $j = k$, la tesi discende da simili argomenti, in virtù della (6.4), con $i = k-1$ e $i = k$, rispettivamente. \square

Esercizio 6.1 *Scrivere un codice che implementi efficientemente l'Algoritmo 6.1.*

6.3 MINRES

Vediamo come la fattorizzazione (6.3) possa essere utilizzata per definire un metodo iterativo di risoluzione per (6.1). In questo caso, data una approssimazione iniziale \mathbf{x}_0 della soluzione, scegliamo il vettore \mathbf{u}_1 come

$$\mathbf{u}_1 = \frac{\mathbf{r}_0}{\|\mathbf{r}_0\|}, \quad \mathbf{r}_0 = \mathbf{b} - A\mathbf{x}_0. \quad (6.10)$$

Osserviamo che, a meno di un fattore di scalamento, si tratta della stessa scelta fatta nel caso del metodo dei gradienti coniugati (vedi (4.13)), nel caso A sdp. Se procedessimo con questa analogia, potremmo ricercare

$$\mathbf{x}_i \in S_i = \mathbf{x}_0 + [\mathbf{u}_1, \dots, \mathbf{u}_i], \quad (6.11)$$

imponendo la seguente condizione di ortogonalità sul residuo corrente, $\mathbf{r}_i = \mathbf{b} - A\mathbf{x}_i$,

$$\mathbf{u}_j^\top \mathbf{r}_i = 0, \quad j \leq i, \quad (6.12)$$

che è formalmente uguale alla (4.9).

Osservazione 6.3 *Se A fosse sdp, e imponessimo la (6.12) per ottenere la nuova soluzione, riotterremmo, in pratica, il metodo dei gradienti coniugati. Questo segue osservando che:*

- la matrice tridiagonale T e la matrice ortogonale U della fattorizzazione (6.3) sono univocamente determinate (a meno dei segni degli elementi extra-diagonali di T e delle colonne di U) dalla scelta del vettore iniziale \mathbf{u}_1 (vedi Algoritmo 6.1);
- il cambiamento di segno di un generico elemento extra-diagonale β_i equivale (dimostrarlo per esercizio) a cambiare di segno ai vettori

$$\mathbf{u}_{i+1}, \dots, \mathbf{u}_n.$$

Evidentemente, questo non altera la proprietà $U^\top U = I$, come anche la condizione di ortogonalità (6.12);

- nel caso sdp (vedi Osservazione 4.2), il metodo dei gradienti coniugati definisce implicitamente la fattorizzazione (4.20), con le condizioni di ortogonalità riscrivibili nella forma (4.21), che sono rispettivamente equivalenti alle (6.3) e (6.12), dal momento che $\mathbf{u}_1 = \mathbf{z}_1$.

Tuttavia, la condizione (6.12) comporta un serio inconveniente. Essa, infatti, risulta essere equivalente a richiedere che $\mathbf{x}_i = \mathbf{x}_0 + U_i \mathbf{y}_i$, con il vettore $\mathbf{y}_i \in \mathbb{R}^i$ tale che (vedi (6.7)-(6.9), e posto $\beta = \|\mathbf{r}_0\|$),

$$\begin{aligned} \mathbf{0} &= U_i^\top (\mathbf{b} - A(\mathbf{x}_0 + U_i \mathbf{y}_i)) = U_i^\top (\mathbf{r}_0 - U_{i+1} \hat{T}_i \mathbf{y}_i) \\ &= \beta E_1^{(i)} - (I_i \mathbf{0}) \hat{T}_i \mathbf{y}_i = \beta E_1^{(i)} - T_i \mathbf{y}_i. \end{aligned} \quad (6.13)$$

Osserviamo, tuttavia che, se A è solo simmetrica, allora la matrice T_i potrebbe essere singolare. Pertanto, risulta essere più appropriato ricercare la nuova soluzione (6.11) imponendo che la norma del corrispondente residuo sia minimizzata. Il metodo così ottenuto è denominato *MINRES* (*MINimal RESidual method*). Dalle (6.7) e (6.11) segue, quindi, che

$$\mathbf{x}_i = \mathbf{x}_0 + U_i \mathbf{y}_i, \quad \mathbf{y}_i \in \mathbb{R}^i, \quad i = 1, 2, \dots, \quad (6.14)$$

dove

$$\mathbf{y}_i = \arg \min_{\mathbf{y} \in \mathbb{R}^i} \|\mathbf{b} - A(\mathbf{x}_0 + U_i \mathbf{y})\|. \quad (6.15)$$

Considerando la (6.9), e ponendo al solito $\beta = \|\mathbf{r}_0\|$, dalla (6.10) e dalle (6.14)–(6.15) segue che

$$\begin{aligned} \min_{\mathbf{y} \in \mathbb{R}^i} \|\mathbf{b} - A(\mathbf{x}_0 + U_i \mathbf{y})\| &= \min_{\mathbf{y} \in \mathbb{R}^i} \|\mathbf{r}_0 - AU_i \mathbf{y}\| = \min_{\mathbf{y} \in \mathbb{R}^i} \|\beta \mathbf{u}_1 - U_{i+1} \hat{T}_i \mathbf{y}\| \\ &= \min_{\mathbf{y} \in \mathbb{R}^i} \|\beta E_1^{(i+1)} - \hat{T}_i \mathbf{y}\|. \end{aligned} \quad (6.16)$$

A questo punto, osserviamo che \hat{T}_i ha rango massimo, ovvero i . Ne consegue che è fattorizzabile QR nella forma

$$\hat{T}_i = Q_i \hat{R}_i, \quad \hat{R}_i = \begin{pmatrix} R_i \\ \mathbf{0}^\top \end{pmatrix}_{i+1 \times i}, \quad (6.17)$$

con Q_i matrice ortogonale e R_i triangolare superiore e nonsingolare. Ne consegue che, denotato con

$$\mathbf{g}_i = \begin{pmatrix} \mathbf{g}_{i1} \\ g_{i2} \end{pmatrix} \equiv \beta Q_i^\top E_1^{(i+1)}, \quad (6.18)$$

la soluzione risulta essere

$$\begin{aligned} \mathbf{y}_i &\equiv R_i^{-1} \mathbf{g}_{i1} = \arg \min_{\mathbf{y} \in \mathbb{R}^i} \|\beta E_1^{(i+1)} - Q_i \hat{R}_i \mathbf{y}\| \\ &= \arg \min_{\mathbf{y} \in \mathbb{R}^i} \sqrt{\|\mathbf{g}_{i1} - R_i \mathbf{y}\|^2 + |g_{i2}|^2}. \end{aligned} \quad (6.19)$$

Inoltre, con tale scelta si ottiene che $\|\mathbf{r}_i\| = |g_{i2}|$. Questo implica che possiamo calcolare la norma del residuo senza calcolare esplicitamente né \mathbf{r}_i né \mathbf{x}_i . Pertanto, potremmo iterare fino ad avere la norma del residuo più piccola di una prefissata tolleranza e, quindi, calcolare la soluzione alla fine.

Esaminiamo, brevemente, il caso in cui, al generico passo i dell'Algoritmo 6.1, si abbia $\mathbf{u}_{i+1} = \mathbf{0}$, ovvero $\beta_i = 0$. In tal caso, come visto nella Osservazione 6.2, avremo determinato un sottospazio invariante di A , per cui la (6.8) vale in luogo della (6.9). Si ottengono, di conseguenza, i seguenti risultati, del tutto analoghi, rispettivamente, ai Corollari 4.3 e 4.4 visti per il metodo dei gradienti coniugati.

Teorema 6.2 $\mathbf{u}_{i+1} = \mathbf{0} \Rightarrow \mathbf{x}_i = \mathbf{x}^*$.

Dim. Dalle (6.7)-(6.8) segue che la matrice T_i deve essere nonsingolare, infatti

$$i = \text{rank}(AU_i) \leq \min\{\text{rank}(U_i), \text{rank}(T_i)\} \leq i.$$

Pertanto, vedi (6.16),

$$\begin{aligned} \min_{\mathbf{y} \in \mathbb{R}^i} \|\mathbf{b} - A(\mathbf{x}_0 + U_i \mathbf{y})\| &= \min_{\mathbf{y} \in \mathbb{R}^i} \|\mathbf{r}_0 - AU_i \mathbf{y}\| = \min_{\mathbf{y} \in \mathbb{R}^i} \|\beta \mathbf{u}_1 - U_i T_i \mathbf{y}\| \\ &= \min_{\mathbf{y} \in \mathbb{R}^i} \|\beta E_1^{(i)} - T_i \mathbf{y}\| = 0, \end{aligned}$$

scegliendo $\mathbf{y} = \beta T_i^{-1} E_1^{(i)}$. \square

Corollario 6.1 $\mathbf{x}_i = \mathbf{x}^*$, per qualche $i \leq n$.

Dim. È sufficiente osservare che, se si arrivasse al passo n , (vedi (6.11)) $S_n \equiv \mathbb{R}^n$. \square

Osservazione 6.4 *Va tuttavia sottolineato che, come nel caso del metodo dei gradienti coniugati, la proprietà di terminazione del Corollario 6.1 potrebbe non valere più in aritmetica finita.*

Osservazione 6.5 *Osserviamo che, nel caso in cui la matrice A sia solo simmetrica, l'Algoritmo 4.3 visto per il metodo dei gradienti coniugati potrebbe essere non definito anche se la matrice T_i in (6.13) fosse nonsingolare. Infatti (vedi Esercizio 4.4) esso risulta essere equivalente alla fattorizzazione LU di tale matrice, che potrebbe non essere definita, anche se T_i fosse nonsingolare.*

6.4 Implementazione efficiente di MINRES

La procedura definita dalle (6.14)–(6.19) ha, tuttavia, un serio inconveniente, legato al fatto che, per calcolare \mathbf{x}_i (in corrispondenza dell'indice di terminazione) dalla (6.14), è richiesta la memorizzazione di tutti i vettori $\{\mathbf{u}_j\}$ generati (vedi (6.7)). Questo fatto implica che il costo computazionale, in termini di occupazione di memoria, potrebbe diventare elevato, quando n è molto grande. Ciò è ancor più vero se si pensa che per calcolare gli elementi della fattorizzazione, mediante l'Algoritmo 6.1 sono necessari solo gli ultimi 2 vettori generati.

Per ovviare a questo problema, vediamo di esaminare le relazioni tra l'approssimazione al passo i -esimo, \mathbf{x}_i , e quella al passo precedente, \mathbf{x}_{i-1} . Supponiamo, quindi, di avere già calcolato, al passo $i - 1$, quanto segue:

- $Q_{i-1}\hat{R}_{i-1} \equiv Q_{i-1} \begin{pmatrix} R_{i-1} \\ \mathbf{0}^\top \end{pmatrix} = \hat{T}_{i-1};$
- $\mathbf{g}_{i-1} \equiv \begin{pmatrix} \mathbf{g}_{i-1,1} \\ g_{i-1,2} \end{pmatrix} = \beta Q_{i-1}^\top E_1^{(i)};$
- $\mathbf{x}_{i-1} \equiv \mathbf{x}_0 + U_{i-1}R_{i-1}^{-1}\mathbf{g}_{i-1,1}.$

Osserviamo anche che Q_{i-1} sarà data dal prodotto di $i-1$ matrici elementari di Givens di dimensione i :

$$Q_{i-1} = \left(G_i^{(i-1)} \cdots G_2^{(i-1)} \right)^\top. \quad (6.20)$$

Inoltre, R_{i-1} è triangolare superiore con al più 3 diagonali (vedi Osservazione 2.5):

$$R_{i-1} = \begin{pmatrix} r_{11} & r_{12} & r_{13} & & & \\ & \ddots & \ddots & \ddots & & \\ & & \ddots & \ddots & r_{i-3,i-1} & \\ & & & \ddots & r_{i-2,i-1} & \\ & & & & r_{i-1,i-1} & \end{pmatrix}.$$

Al passo i -esimo, d'altronde, abbiamo che

$$\begin{aligned} \hat{T}_i &= \left(\begin{array}{c|c} & 0 \\ \hat{T}_{i-1} & \vdots \\ & 0 \\ & \beta_{i-1} \\ \hline \mathbf{0}^\top & \beta_i \end{array} \right) = \left(\begin{array}{c|c} & 0 \\ Q_{i-1}\hat{R}_{i-1} & \vdots \\ & 0 \\ & \beta_{i-1} \\ \hline \mathbf{0}^\top & \beta_i \end{array} \right) \\ &= \left(\begin{array}{c|c} Q_{i-1} & \\ \hline & 1 \end{array} \right) \left(\begin{array}{c|c} \hat{R}_{i-1} & \mathbf{w}_i \\ \hline \mathbf{0}^\top & \beta_i \end{array} \right), \end{aligned}$$

dove

$$\mathbf{w}_i = Q_{i-1}^\top \begin{pmatrix} 0 \\ \vdots \\ 0 \\ \beta_{i-1} \\ \gamma_i \end{pmatrix} \equiv \begin{pmatrix} 0 \\ \vdots \\ 0 \\ r_{i-2,i} \\ r_{i-1,i} \\ w_i \end{pmatrix}.$$

Osservazione 6.6 Osserviamo che, data la struttura del vettore moltiplicato, il calcolo di \mathbf{w}_i richiede solo le ultime due matrici di Givens, $G_{i-1}^{(i-1)}$ e $G_i^{(i-1)}$, che danno Q_{i-1} (vedi (6.20)).

Definendo una ulteriore matrice di Givens,

$$G_{i+1}^{(i)} = \left(\begin{array}{c|cc} I_{i-1} & & \\ \hline & c_i & s_i \\ & -s_i & c_i \end{array} \right),$$

tale che

$$\begin{pmatrix} c_i & s_i \\ -s_i & c_i \end{pmatrix} \begin{pmatrix} w_i \\ \beta_i \end{pmatrix} = \begin{pmatrix} r_{ii} \\ 0 \end{pmatrix},$$

si ottiene, quindi, la fattorizzazione QR di \hat{T}_i :

$$\hat{T}_i = \left(\begin{array}{c|c} Q_{i-1} & \\ \hline & 1 \end{array} \right) (G_{i+1}^{(i)})^\top \begin{pmatrix} & 0 \\ & \vdots \\ \hat{R}_{i-1} & 0 \\ & r_{i-2,i} \\ & r_{i-1,i} \\ & r_{ii} \\ \hline \mathbf{0}^\top & 0 \end{pmatrix} \equiv Q_i \hat{R}_i = Q_i \begin{pmatrix} R_i \\ \mathbf{0}^\top \end{pmatrix}. \quad (6.21)$$

Definiamo ora la matrice

$$P_i \equiv (\mathbf{p}_1 \dots \mathbf{p}_i) = U_i R_i^{-1}. \quad (6.22)$$

Tenendo conto delle (6.18)-(6.19), questo implica che

$$\mathbf{x}_i = \mathbf{x}_0 + P_i (I_i \mathbf{0}) Q_i^\top (\beta E_1^{(i+1)}).$$

Inoltre, dalla (6.22) segue che

$$P_i R_i = U_i.$$

Considerando le ultime colonne di ambo i membri, da quest'ultima equazione e dalla (6.21) si ottiene che

$$\mathbf{p}_i = \frac{\mathbf{u}_i - r_{i-1,i} \mathbf{p}_{i-1} - r_{i-2,i} \mathbf{p}_{i-2}}{r_{ii}}.$$

Pertanto, il nuovo vettore \mathbf{p}_i si ottiene dagli ultimi 2 e dal vettore \mathbf{u}_i . Osserviamo, inoltre, che

$$R_i^{-1} = \left(\begin{array}{c|c} R_{i-1}^{-1} & -(r_{ii}R_{i-1})^{-1} \begin{pmatrix} 0 \\ \vdots \\ 0 \\ r_{i-2,i} \\ r_{i-1,i} \end{pmatrix} \\ \hline & r_{ii}^{-1} \end{array} \right),$$

e, pertanto, dalla (6.22) segue che

$$P_i \equiv (P_{i-1} \mathbf{p}_i).$$

Questo ci permette di concludere, dalle (6.14)–(6.21), che

$$\begin{aligned} \mathbf{x}_i &= \mathbf{x}_0 + U_i R_i^{-1} \mathbf{g}_{i1} = \mathbf{x}_0 + P_i (I_i \mathbf{0}) Q_i^\top (\beta E_1^{(i+1)}) \\ &= \mathbf{x}_0 + P_i \left(\begin{array}{c|cc} I_{i-1} & \mathbf{0} & \mathbf{0} \\ \mathbf{0}^\top & 1 & 0 \end{array} \right) G_{i+1}^{(i)} \left(\begin{array}{c|c} Q_{i-1}^\top & \\ \hline & 1 \end{array} \right) \begin{pmatrix} \beta E_1^{(i)} \\ 0 \end{pmatrix} \\ &= \mathbf{x}_0 + P_{i-1} (I_{i-1} \mathbf{0}) Q_{i-1}^\top (\beta E_1^{(i)}) + (E_i^{(i+1)})^\top Q_i^\top (\beta E_1^{(i+1)}) \mathbf{p}_i \\ &\equiv \mathbf{x}_{i-1} + \xi_i \mathbf{p}_i, \end{aligned}$$

dove (vedi (6.18))

$$\xi_i = (E_i^{(i+1)})^\top Q_i^\top (\beta E_1^{(i+1)}) \equiv (E_i^{(i)})^\top \mathbf{g}_{i1}$$

è l'ultima componente del vettore \mathbf{g}_{i1} .

Gli argomenti su esposti, ci permettono di derivare l'Algoritmo 6.2 per il metodo MINRES. Chiaramente, per l'utilizzo in aritmetica finita, una versione iterativa, invece che semi-iterativa, risulta essere, in realtà, più appropriata.

Esercizio 6.2 *Scrivere un codice che implementi in modo efficiente l'Algoritmo 6.2.*

Come esempio, si consideri il sistema lineare (6.1) in cui

$$A = T_1 \otimes I_{10} + I_{10} \otimes T_1, \quad T_1 = \begin{pmatrix} 1 & -1 & & & \\ -1 & \ddots & \ddots & & \\ & \ddots & \ddots & -1 & \\ & & -1 & 1 & \end{pmatrix}_{10 \times 10}, \quad (6.23)$$

Algoritmo 6.2 MINRES.

sia assegnato un vettore iniziale \mathbf{x}_0

calcolo $\mathbf{r}_0 = \mathbf{b} - A\mathbf{x}_0$ e $\beta = \|\mathbf{r}_0\|$

inizializzo $\beta_0 = 0$, $\mathbf{u}_1 = \mathbf{r}_0/\beta$, $g_0 = \beta$

per $i=1, \dots, n$:

$$\mathbf{v}_i = A\mathbf{u}_i$$

$$\gamma_i = \mathbf{u}_i^\top \mathbf{v}_i$$

$$\mathbf{v}_i \leftarrow \mathbf{v}_i - \gamma_i \mathbf{u}_i - \beta_{i-1} \mathbf{u}_{i-1}$$

$$\beta_i = \|\mathbf{v}_i\|$$

$$\mathbf{p}_i = \mathbf{u}_i$$

$$r_{i-1,i} = \beta_{i-1}$$

$$r_{ii} = \gamma_i$$

$$\text{se } i > 2, \begin{pmatrix} r_{i-2,i} \\ r_{i-1,i} \end{pmatrix} \leftarrow \begin{pmatrix} c_{i-2} & s_{i-2} \\ -s_{i-2} & c_{i-2} \end{pmatrix} \begin{pmatrix} 0 \\ \beta_{i-1} \end{pmatrix}$$

$$\mathbf{p}_i \leftarrow \mathbf{p}_i - r_{i-2,i} \mathbf{p}_{i-2}, \text{ fine se}$$

$$\text{se } i > 1, \begin{pmatrix} r_{i-1,i} \\ r_{ii} \end{pmatrix} \leftarrow \begin{pmatrix} c_{i-1} & s_{i-1} \\ -s_{i-1} & c_{i-1} \end{pmatrix} \begin{pmatrix} r_{i-1,i} \\ \gamma_i \end{pmatrix}$$

$$\mathbf{p}_i \leftarrow \mathbf{p}_i - r_{i-1,i} \mathbf{p}_{i-1}, \text{ fine se}$$

$$\text{calcolo } c_i, s_i \text{ tali che } \begin{pmatrix} r_{ii} \\ 0 \end{pmatrix} \leftarrow \begin{pmatrix} c_i & s_i \\ -s_i & c_i \end{pmatrix} \begin{pmatrix} r_{ii} \\ \beta_i \end{pmatrix}$$

$$\mathbf{p}_i \leftarrow \mathbf{p}_i / r_{ii}$$

$$\begin{pmatrix} \xi_i \\ g_i \end{pmatrix} = \begin{pmatrix} c_i & s_i \\ -s_i & c_i \end{pmatrix} \begin{pmatrix} g_{i-1} \\ 0 \end{pmatrix}$$

$$\mathbf{x}_i = \mathbf{x}_{i-1} + \xi_i \mathbf{p}_i$$

se $\beta_i = 0$ oppure $|g_i| \leq \text{tol}$, $\mathbf{x}^* = \mathbf{x}_i$, esci, fine se

$$\mathbf{u}_{i+1} = \mathbf{v}_i / \beta_i$$

fine per

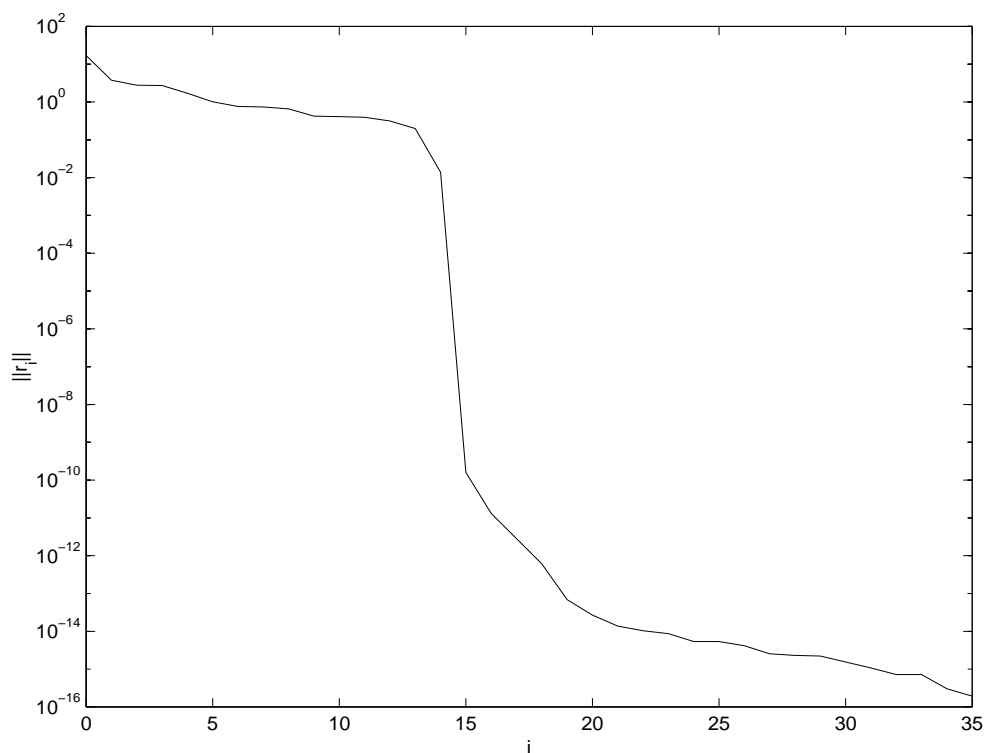


Figura 6.1: MINRES applicato al problema (6.1)-(6.23).

la cui matrice dei coefficienti è simmetrica ma non definita. Il termine noto è stato scelto in modo da avere come soluzione il vettore

$$\mathbf{x}^* = (1, \dots, 1)^T.$$

Applicando MINRES a partire dal vettore nullo, la soluzione è determinata, entro il limite della precisione di macchina, in 35 iterazioni. In Figura 6.1 si riporta il grafico della norma del residuo rispetto all'indice di iterazione.

Capitolo 7

Il caso A non simmetrica

Il caso in cui la matrice A è non simmetrica (ma, ricordiamo, nonsingolare) è quello più difficile tra quelli esaminati. In effetti, vedremo che i metodi iterativi di risoluzione o sono particolarmente costosi o presentano la possibilità di breakdown. Quest'ultimo avviene quando la procedura non è più definita, senza che la soluzione sia stata raggiunta.

7.1 Il metodo di Arnoldi

Sia, dunque,

$$A\mathbf{x} = \mathbf{b} \quad (7.1)$$

il sistema lineare da risolvere, la cui matrice dei coefficienti, $A \in \mathbb{R}^{n \times n}$, assumeremo essere nonsingolare.

Il primo metodo che andiamo ad esaminare è una generalizzazione del metodo di Lanczos visto per il caso simmetrico: esso si basa sulla trasformazione di A in una matrice con struttura più semplice, mediante una matrice ortogonale. In maggior dettaglio, si ricerca la fattorizzazione

$$AU = UH \equiv (\mathbf{u}_1 \dots \mathbf{u}_n) \begin{pmatrix} h_{11} & \dots & \dots & h_{1n} \\ h_{21} & & & \vdots \\ & \ddots & & \vdots \\ & & h_{n,n-1} & h_{nn} \end{pmatrix}, \quad U^\top U = I, \quad (7.2)$$

ovvero la trasformazione di A a forma di Hessenberg superiore. Dalla (7.2) si ottiene che $U^\top AU = H$, che permette di derivare il *metodo di Arnoldi*, di cui si riporta il corrispondente Algoritmo 7.1.

Algoritmo 7.1 *Metodo di Arnoldi.*

```

sia assegnato un vettore iniziale  $\mathbf{u}_1, \|\mathbf{u}_1\| = 1$ 
per  $i=1, \dots, n$ :
     $\mathbf{v}_i = A\mathbf{u}_i$ 
    per  $j=1, \dots, i$ :
         $h_{ji} = \mathbf{u}_j^\top \mathbf{v}_i$ 
         $\mathbf{v}_i \leftarrow \mathbf{v}_i - h_{ji}\mathbf{u}_j$ 
    fine per
     $h_{i+1,i} = \|\mathbf{v}_i\|$ 
    se  $h_{i+1,i} = 0$ , esci, fine se
     $\mathbf{u}_{i+1} = \mathbf{v}_i/h_{i+1,i}$ 
fine per

```

Si osserva che:

- come per tutte le fattorizzazioni esaminate nei Capitoli 4–6, anche ora la fattorizzazione (7.2) risulta essere univocamente determinata (avendo fissato il segno degli elementi sottodiagonali di H) dalla scelta del primo vettore, \mathbf{u}_1 ;
- il costo dell'Algoritmo 7.1 è crescente con l'indice di iterazione i : al passo i -esimo dovrò aver memorizzato tutti i vettori $\mathbf{u}_1, \dots, \mathbf{u}_i$, e dovrò eseguire 1 matvec, $i + 1$ scal ed $i + 1$ axpy;
- se, per qualche $i < n$ dovesse risultare $h_{i+1,i} = 0$ si sarebbe determinato un sottospazio invariante destro per la matrice A : dette

$$U_i = (\mathbf{u}_1 \dots, \mathbf{u}_i), \quad H_i = \begin{pmatrix} h_{11} & \dots & \dots & h_{1i} \\ h_{21} & & & \vdots \\ & \ddots & & \vdots \\ & & h_{i,i-1} & h_{ii} \end{pmatrix},$$

esse verificano l'equazione

$$AU_i = U_i H_i. \quad (7.3)$$

In particolare, gli autovalori di H_i sono autovalori di A .

Relativamente all'ultimo punto, osserviamo che, qualora $h_{i+1,i} \neq 0$, allora, invece della (7.3), risulta aversi, considerando le prime i colonne dei membri della prima equazione in (7.2),

$$AU_i = U_{i+1}\hat{H}_i \equiv U_{i+1} \begin{pmatrix} h_{11} & \dots & \dots & h_{1i} \\ h_{21} & & & \vdots \\ & \ddots & & \vdots \\ \hline & & h_{i,i-1} & h_{ii} \\ & & & h_{i+1,i} \end{pmatrix} \equiv U_{i+1} \left(\frac{H_i}{h_{i+1,i}(E_i^{(i)})^\top} \right). \quad (7.4)$$

7.2 GMRES

Per utilizzare la fattorizzazione (7.2) al fine di risolvere il sistema lineare (7.1), le modalità sono le stesse viste per derivare MINRES dal metodo di Lanczos:

- data una approssimazione iniziale \mathbf{x}_0 , si sceglie, quale vettore iniziale,

$$\mathbf{u}_1 = \frac{\mathbf{r}_0}{\|\mathbf{r}_0\|}, \quad \mathbf{r}_0 = \mathbf{b} - A\mathbf{x}_0; \quad (7.5)$$

- al passo i -esimo si ricerca

$$\mathbf{x}_i \in S_i \equiv \mathbf{x}_0 + [\mathbf{u}_1, \dots, \mathbf{u}_i],$$

in modo da minimizzare la norma del corrispondente residuo, $\mathbf{r}_i = \mathbf{b} - A\mathbf{x}_i$.

Il metodo così ottenuto è denominato *GMRES (Generalized Minimal RESidual methods)*. In maggior dettaglio, se $\mathbf{x}_i \in S_i$, allora si avrà

$$\mathbf{x}_i = \mathbf{x}_0 + U_i \mathbf{y}_i,$$

con

$$\mathbf{y}_i = \arg \min_{\mathbf{y} \in \mathbb{R}^i} \|\mathbf{b} - A(\mathbf{x}_0 + U_i \mathbf{y})\|.$$

Ponendo $\beta = \|\mathbf{r}_0\|$, dalle (7.4)-(7.5) si ottiene che

$$\begin{aligned} \min_{\mathbf{y} \in \mathbb{R}^i} \|\mathbf{b} - A(\mathbf{x}_0 + U_i \mathbf{y})\| &= \min_{\mathbf{y} \in \mathbb{R}^i} \|\mathbf{r}_0 - AU_i \mathbf{y}\| \\ &= \min_{\mathbf{y} \in \mathbb{R}^i} \|\beta \mathbf{u}_1 - U_{i+1} \hat{H}_i \mathbf{y}\| = \min_{\mathbf{y} \in \mathbb{R}^i} \|\beta E_1^{(i+1)} - \hat{H}_i \mathbf{y}\|. \end{aligned} \quad (7.6)$$

A questo punto, ricordiamo che \hat{H}_i ha rango massimo, per cui sarà fattorizzabile nella forma

$$\hat{H}_i = Q_i \hat{R}_i \equiv Q_i \begin{pmatrix} R_i \\ \mathbf{0}^\top \end{pmatrix},$$

con Q_i ortogonale e $R_i \in \mathbb{R}^{i \times i}$ triangolare superiore e nonsingolare. Ponendo

$$\mathbf{g}_i = \beta Q_i^\top E_1^{(i+1)} \equiv \begin{pmatrix} \mathbf{g}_{i1} \\ g_{i2} \end{pmatrix},$$

dalla (7.6) si ottiene che

$$\|\mathbf{r}_i\| = \min_{\mathbf{y} \in \mathbb{R}^i} \|Q_i(\mathbf{g}_i - \hat{R}_i \mathbf{y})\| = \min_{\mathbf{y} \in \mathbb{R}^i} \|\mathbf{g}_i - \hat{R}_i \mathbf{y}\| = |g_{i2}|,$$

in corrispondenza della scelta $\mathbf{y} = \mathbf{y}_i \equiv R_i^{-1} \mathbf{g}_{i1}$. Osserviamo che la norma del residuo si può conoscere senza calcolare il residuo stesso.

In modo del tutto analogo a quanto visto per MINRES (vedi il Teorema 6.2 ed il Corollario 6.1), si dimostrano, quindi, i seguenti risultati.

Teorema 7.1 $\mathbf{u}_{i+1} = \mathbf{0} \Rightarrow \mathbf{x}_i = \mathbf{x}^*$, soluzione di (7.1).

Corollario 7.1 GMRES converge (in aritmetica esatta) in al più n iterazioni.

Al fine di ottenere un efficiente algoritmo per GMRES, analizziamo la relazione esistente tra la fattorizzazione di \hat{H}_{i-1} e quella di \hat{H}_i . Supponiamo, quindi, di aver ottenuto la fattorizzazione

$$\hat{H}_{i-1} = Q_{i-1} \hat{R}_{i-1} \equiv Q_{i-1} \begin{pmatrix} R_{i-1} \\ \mathbf{0}^\top \end{pmatrix},$$

in cui Q_{i-1} sarà, al solito, esprimibile come il prodotto di $i - 1$ matrici elementari di Givens di dimensione i :

$$Q_{i-1} = \left(G_i^{(i-1)} \cdots G_2^{(i-1)} \right)^\top.$$

Si ottiene, quindi, che

$$\begin{aligned} \hat{H}_i &= \left(\begin{array}{c|c} \hat{H}_{i-1} & \begin{matrix} h_{1i} \\ \vdots \\ h_{ii} \end{matrix} \\ \hline & h_{i+1,i} \end{array} \right) = \left(\begin{array}{c|c} Q_{i-1} \hat{R}_{i-1} & \begin{matrix} h_{1i} \\ \vdots \\ h_{ii} \end{matrix} \\ \hline & h_{i+1,i} \end{array} \right) \\ &= \left(\begin{array}{c|c} Q_{i-1} & \\ \hline & 1 \end{array} \right) \left(\begin{array}{c|c} \hat{R}_{i-1} & \begin{matrix} \mathbf{r}_{i1} \\ w_i \end{matrix} \\ \hline & h_{i+1,i} \end{array} \right), \end{aligned}$$

dove

$$\begin{pmatrix} \mathbf{r}_{i1} \\ w_i \end{pmatrix} \equiv Q_{i-1}^\top \begin{pmatrix} h_{1i} \\ \vdots \\ h_{ii} \end{pmatrix}.$$

Segue che, definendo la matrice di Givens

$$G_{i+1}^{(i)} = \left(\begin{array}{c|cc} I_{i-1} & & \\ \hline & c_i & s_i \\ & -s_i & c_i \end{array} \right),$$

tale che

$$\begin{pmatrix} c_i & s_i \\ -s_i & c_i \end{pmatrix} \begin{pmatrix} w_i \\ h_{i+1,i} \end{pmatrix} = \begin{pmatrix} r_{ii} \\ 0 \end{pmatrix},$$

si ottiene, infine, la fattorizzazione QR di \hat{H}_i :

$$\hat{H}_i = \left(\begin{array}{c|c} Q_{i-1} & \\ \hline & 1 \end{array} \right) (G_{i+1}^{(i)})^\top \left(\begin{array}{c|cc} \hat{R}_{i-1} & \mathbf{r}_{i1} \\ \hline \mathbf{0}^\top & r_{ii} \\ & & 0 \end{array} \right) \equiv Q_i \hat{R}_i = Q_i \begin{pmatrix} R_i \\ \mathbf{0}^\top \end{pmatrix}.$$

Osservazione 7.1 *Evidentemente, è possibile rappresentare efficientemente la matrice Q_i (ed effettuare in modo altrettanto efficiente i prodotti matrice-vettore e matrice trasposta-vettore) mediante le coppie (c_j, s_j) , $j = 1, \dots, i$, che definiscono le corrispondenti matrici elementari di Givens.*

Questi argomenti, ci consentono di definire l'Algoritmo 7.2 per GMRES.

Esercizio 7.1 *Scrivere un codice che implementi efficientemente l'Algoritmo 7.2, anche tenendo conto di quanto detto nell'Osservazione 7.1.*

Osservazione 7.2 *È possibile definire la versione preconditionata di GMRES con le sostituzioni formali*

$$A \leftarrow CA, \quad \mathbf{b} \leftarrow C\mathbf{b},$$

dove $C \approx A^{-1}$ è la matrice di preconditionamento.

Osservazione 7.3 *Va sottolineato come, a causa degli errori dovuti all'aritmetica finita, possa accadere che non si abbia convergenza entro n iterazioni. In questo caso, è prassi ripartire da \mathbf{x}_n come soluzione iniziale (restart).*

Algoritmo 7.2 *GMRES*.

sia assegnato un vettore iniziale \mathbf{x}_0

calcolo $\mathbf{r}_0 = \mathbf{b} - A\mathbf{x}_0$ e $\beta = \|\mathbf{r}_0\|$

inizializzo $U \equiv \mathbf{u}_1 = \mathbf{r}_0/\beta$, $g_0 = \beta$, $Q_0^\top = 1$

per $i=1, \dots, n$:

$$\mathbf{v}_i = A\mathbf{u}_i$$

per $j=1, \dots, i$:

$$h_{ji} = \mathbf{u}_j^\top \mathbf{v}_i$$

$$\mathbf{v}_i \leftarrow \mathbf{v}_i - h_{ji}\mathbf{u}_j$$

fine per

$$h_{i+1,i} = \|\mathbf{v}_i\|$$

$$\begin{pmatrix} r_{i1} \\ r_{ii} \end{pmatrix} = Q_{i-1}^\top \begin{pmatrix} h_{1i} \\ \vdots \\ h_{ii} \end{pmatrix}$$

$$\text{calcolo } c_i, s_i \text{ tali che } \begin{pmatrix} r_{ii} \\ 0 \end{pmatrix} \leftarrow \begin{pmatrix} c_i & s_i \\ -s_i & c_i \end{pmatrix} \begin{pmatrix} r_{ii} \\ h_{i+1,i} \end{pmatrix}$$

se $i = 1$, $R = (r_{11})$

$$\text{altrimenti, } R \leftarrow \left(\begin{array}{c|c} R & \mathbf{r}_{i1} \\ \hline \mathbf{0}^\top & r_{ii} \end{array} \right)$$

fine se

$$\begin{pmatrix} g_{i-1} \\ g_i \end{pmatrix} = \begin{pmatrix} c_i & s_i \\ -s_i & c_i \end{pmatrix} \begin{pmatrix} g_{i-1} \\ 0 \end{pmatrix}$$

se $h_{i+1,i} = 0$ oppure $|g_i| \leq \text{tol}$, esci, fine se

$$\mathbf{u}_{i+1} = \mathbf{v}_i/h_{i+1,i}$$

$$Q_i^\top = \begin{pmatrix} I_{i-1} & \\ & \begin{pmatrix} c_i & s_i \\ -s_i & c_i \end{pmatrix} \end{pmatrix} \begin{pmatrix} Q_{i-1}^\top & \\ & 1 \end{pmatrix}$$

$$U \leftarrow (U \ \mathbf{u}_{i+1})$$

fine per

risolvo $R\mathbf{y} = \mathbf{g}(0 : i - 1)$

$$\mathbf{x}^* = \mathbf{x}_0 + U\mathbf{y}$$

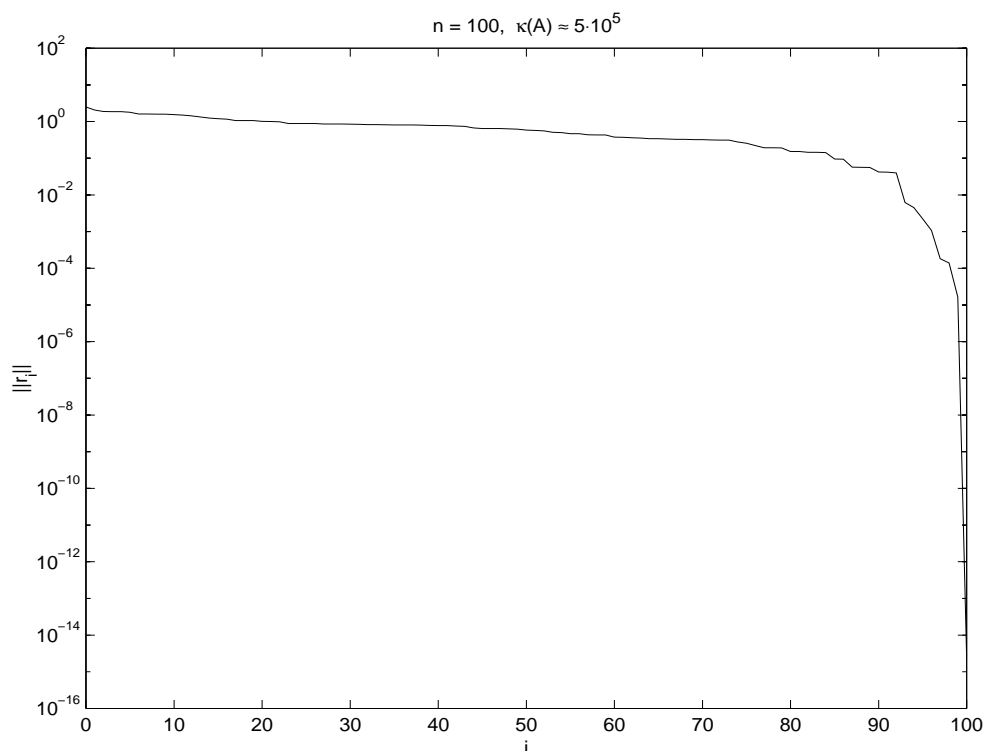


Figura 7.1: GMRES applicato al problema (7.1).

Come esempio, consideriamo l'applicazione di GMRES al sistema lineare (7.1), la cui matrice A ha dimensione $n = 100$ ed una densità del 4%. Il corrispondente numero di condizione vale approssimativamente $5 \cdot 10^5$. In Figura 7.1 è riportata la norma del residuo rispetto all'indice di iterazione.

In ultimo, osserviamo che, se n è molto grande, allora l'occupazione di memoria ed il numero di operazioni richiesti da GMRES potrebbero diventare troppo elevati. In sostanza, il motivo di questo costo è legato alla struttura della matrice H in (7.2), che è di Hessenberg superiore. Il costo per iterazione era, invece, assai più contenuto nel caso delle fattorizzazioni (4.2) e (6.3), in cui la matrice A era portata a forma tridiagonale.

Per ovviare a questo problema, si potrebbe, *in primis*, utilizzare sistematicamente il restart dopo un numero (in genere assai esiguo) di iterazioni di GMRES. Tuttavia, con questa, seppur semplice, strategia non è più possibile assicurare, anche in aritmetica esatta, la proprietà di terminazione finita del metodo.

Un'altra alternativa potrebbe essere quella di tentare di portare a forma

tridiagonale la matrice A anche nel caso non simmetrico, sebbene questo precluda, in pratica, l'utilizzo di una matrice di trasformazione U ortogonale. Proprio questo ultimo approccio costituirà l'argomento delle prossime sezioni.

7.3 Il metodo di Lanczos non simmetrico

Modificando la fattorizzazione (6.3), per portare la matrice A a forma tridiagonale anche nel caso in cui essa non sia simmetrica, si ottiene, considerando che in genere U non è più ortogonale, la seguente fattorizzazione:

$$\begin{aligned} AU &= UT \equiv (\mathbf{u}_1 \dots \mathbf{u}_n) \begin{pmatrix} \gamma_1 & \beta_1 & & & \\ \alpha_1 & \ddots & \ddots & & \\ & \ddots & \ddots & \beta_{n-1} & \\ & & & \alpha_{n-1} & \gamma_n \end{pmatrix}, \\ A^\top W &= WT^\top \equiv (\mathbf{w}_1 \dots \mathbf{w}_n) T^\top, \\ W^\top U &= I. \end{aligned} \quad (7.7)$$

Ad essa corrisponde il *metodo di Lanczos non simmetrico*. In pratica, la prima equazione della (7.7) coincide con l'omologa nella (6.3); la seconda si ottiene riscrivendo la prima come $U^{-1}A = TU^{-1}$ e, considerando le trasposte di ambo i membri, ponendo, infine, $W = U^{-T}$, come sancito dall'ultima equazione.

Per ottenere la fattorizzazione (7.7) osserviamo che, ponendo per convenzione $\alpha_0 = \beta_0 = 0$ e

$$\mathbf{u}_{n+1} = \mathbf{w}_{n+1} = \mathbf{0}, \quad (7.8)$$

le colonne i -esime delle prime due equazioni danno le seguenti relazioni:

$$\begin{aligned} A\mathbf{u}_i &= \alpha_i \mathbf{u}_{i+1} + \gamma_i \mathbf{u}_i + \beta_{i-1} \mathbf{u}_{i-1}, \\ A^\top \mathbf{w}_i &= \beta_i \mathbf{w}_{i+1} + \gamma_i \mathbf{w}_i + \alpha_{i-1} \mathbf{w}_{i-1}, \quad i = 1, \dots, n. \end{aligned} \quad (7.9)$$

Inoltre, moltiplicando la prima equazione per W^\top , e tenendo conto della terza, si ottiene la relazione

$$W^\top AU = T,$$

da cui si ottengono le seguenti espressioni per i coefficienti della matrice T :

$$\begin{aligned} \gamma_i &= \mathbf{w}_i^\top A\mathbf{u}_i, \quad i = 1, \dots, n, \\ \beta_i &= \mathbf{w}_i^\top A\mathbf{u}_{i+1}, \\ \alpha_i &= \mathbf{w}_{i+1}^\top A\mathbf{u}_i, \quad i = 1, \dots, n-1. \end{aligned} \quad (7.10)$$

Algoritmo 7.3 *Metodo di Lanczos non simmetrico.*

siano assegnati due vettori $\mathbf{r}_0, \hat{\mathbf{r}}_0$ tali che $\eta \equiv \mathbf{r}_0^\top \hat{\mathbf{r}}_0 \neq 0$
 inizializzo $\mathbf{u}_1 = \mathbf{r}_0 / \|\mathbf{r}_0\|$, $\mathbf{w}_1 = \hat{\mathbf{r}}_0 / (\mathbf{u}_1^\top \hat{\mathbf{r}}_0)$, $\beta_0 = \alpha_0 = 0$
 per $i=1, \dots, n$:

$$\mathbf{v}_i = A\mathbf{u}_i$$

$$\gamma_i = \mathbf{w}_i^\top \mathbf{v}_i$$

se $i = n$, esci, fine se

$$\hat{\mathbf{u}}_i = \mathbf{v}_i - \gamma_i \mathbf{u}_i - \beta_{i-1} \mathbf{u}_{i-1}$$

$$\hat{\mathbf{w}}_i = A^\top \mathbf{w}_i - \gamma_i \mathbf{w}_i - \alpha_{i-1} \mathbf{w}_{i-1}$$

$$\alpha_i = \|\hat{\mathbf{u}}_i\|$$

se $\alpha_i = 0$, errore 1, esci, fine se

$$\mathbf{u}_{i+1} = \hat{\mathbf{u}}_i / \alpha_i$$

$$\beta_i = \mathbf{u}_{i+1}^\top \hat{\mathbf{w}}_i$$

se $\beta_i = 0$, errore 2, esci, fine se

$$\mathbf{w}_{i+1} = \hat{\mathbf{w}}_i / \beta_i$$

fine per

Le (7.9)-(7.10) permettono di definire l'Algoritmo 7.3 per il metodo di Lanczos non simmetrico.

È facile vedere che il precedente algoritmo corrisponde proprio alla fattorizzazione (7.7), a patto che i vettori $\{\mathbf{u}_i\}$ e $\{\mathbf{w}_i\}$ siano bi-ortonormali, ovvero tali che

$$\mathbf{w}_i^\top \mathbf{u}_i = 1, \quad \mathbf{w}_j^\top \mathbf{u}_i = 0, \quad i \neq j. \quad (7.11)$$

Questo è sancito dal seguente risultato.

Teorema 7.2 *I vettori $\{\mathbf{u}_i\}$ e $\{\mathbf{w}_i\}$ soddisfano le (7.11).*

Dim. La prima condizione è soddisfatta, avendosi, per definizione di β_i ,

$$\mathbf{u}_{i+1}^\top \mathbf{w}_{i+1} = \mathbf{u}_{i+1}^\top \frac{\hat{\mathbf{w}}_i}{\beta_i} = \frac{\mathbf{u}_{i+1}^\top \hat{\mathbf{w}}_i}{\mathbf{u}_{i+1}^\top \hat{\mathbf{w}}_i} = 1.$$

La seconda condizione in (7.11) equivale alle seguenti,

$$\mathbf{w}_j^\top \mathbf{u}_i = 0, \quad \mathbf{u}_j^\top \mathbf{w}_i = 0, \quad j < i,$$

che dimostriamo per induzione su i . Per $i = 2$ si ha:

$$\mathbf{w}_1^\top \mathbf{u}_2 = \mathbf{w}_1^\top \hat{\mathbf{u}}_1 \alpha_1^{-1} = \mathbf{w}_1^\top (A\mathbf{u}_1 - \gamma_1 \mathbf{u}_1) \alpha_1^{-1} = 0,$$

in quanto $\gamma_1 = \mathbf{w}_1^\top A\mathbf{u}_1$ e $\mathbf{w}_1^\top \mathbf{u}_1 = 1$. Similmente,

$$\mathbf{u}_1^\top \mathbf{w}_2 = \mathbf{u}_1^\top \hat{\mathbf{w}}_1 \beta_1^{-1} = \mathbf{u}_1^\top (A^\top \mathbf{w}_1 - \gamma_1 \mathbf{w}_1) \beta_1^{-1} = 0.$$

Supponiamo ora vera la tesi per i e dimostriamo per $i + 1$. Dimostriamo solo che

$$\mathbf{w}_j^\top \mathbf{u}_{i+1} = 0, \quad j \leq i,$$

in quanto l'altra relazione si dimostra analogamente. Possono aversi i seguenti 3 casi:

$j < i - 1$: in tal caso, dall'ipotesi di induzione segue

$$\begin{aligned} \mathbf{w}_j^\top \mathbf{u}_{i+1} &= \mathbf{w}_j^\top (A\mathbf{u}_i - \gamma_i \mathbf{u}_i - \beta_{i-1} \mathbf{u}_{i-1}) \alpha_i^{-1} = (\mathbf{w}_j^\top A) \mathbf{u}_i \alpha_i^{-1} \\ &= (\beta_j \mathbf{w}_{j+1} + \gamma_j \mathbf{w}_j + \alpha_{j-1} \mathbf{w}_{j-1})^\top \mathbf{u}_i \alpha_i^{-1} = 0; \end{aligned}$$

$j = i - 1$: in tal caso

$$\mathbf{w}_{i-1}^\top \mathbf{u}_{i+1} = \mathbf{w}_{i-1}^\top (A\mathbf{u}_i - \gamma_i \mathbf{u}_i - \beta_{i-1} \mathbf{u}_{i-1}) \alpha_i^{-1} = 0,$$

per la definizione di β_{i-1} (vedi (7.10));

$j = i$: in tal caso

$$\mathbf{w}_i^\top \mathbf{u}_{i+1} = \mathbf{w}_i^\top (A\mathbf{u}_i - \gamma_i \mathbf{u}_i - \beta_{i-1} \mathbf{u}_{i-1}) \alpha_i^{-1} = 0,$$

per la definizione di γ_i (vedi (7.10)).

□

La dimostrazione del seguente corollario è lasciata come semplice esercizio.

Corollario 7.2 *Se i vettori $\{\mathbf{u}_i\}$ e $\{\mathbf{w}_i\}$ sono bi-ortonormali, allora sia gli uni che gli altri sono linearmente indipendenti.*

Osservazione 7.4 *Dal precedente Corollario 7.2, segue che la convenzione (7.8) rispecchia un dato di fatto, perchè, dopo n passi, i vettori \mathbf{u}_{n+1} e \mathbf{w}_{n+1} sarebbero (in aritmetica esatta) necessariamente nulli.*

Riguardo alle condizioni di errore per l'uscita dall'Algoritmo 7.3, osserviamo che:

- la condizione denominata *errore 1* equivale ad aver determinato un sottospazio invariante destro per la matrice A . In questo caso, in modo del tutto analogo a quanto visto per il metodo di Lanczos, si sarà ottenuta la soluzione, quando si utilizzerà il metodo per risolvere il problema (7.1);
- la condizione denominata *errore 2* è più seria ed è legata, in generale, al problema di ridurre a forma tridiagonale una generica matrice quadrata (*breakdown*). In tal caso, sarebbe possibile modificare l'intera procedura, in modo da poter continuare l'iterazione (*look ahead*), ma per brevità non tratteremo questo aspetto.

Osservazione 7.5 *Nell'Algoritmo 7.3, i vettori \mathbf{r}_0 e $\hat{\mathbf{r}}_0$ sono scelti in modo da avere $\mathbf{r}_0^\top \hat{\mathbf{r}}_0 \neq 0$. Un modo semplice per soddisfare questo requisito è scegliere $\hat{\mathbf{r}}_0 = \mathbf{r}_0 \neq \mathbf{0}$.*

7.4 I gradienti bi-coniugati (Bi-CG)

Al fine di utilizzare la fattorizzazione (7.7) per risolvere il problema (7.1), data una approssimazione iniziale \mathbf{x}_0 , si sceglie

$$\mathbf{r}_0 = \mathbf{b} - A\mathbf{x}_0, \quad (7.12)$$

il residuo iniziale, per definire il vettore iniziale \mathbf{u}_1 nell'Algoritmo 7.3 (e, seguendo quanto detto nella Osservazione 7.5, anche \mathbf{w}_1). Successivamente, al passo i -esimo, si ricerca, al solito,

$$\mathbf{x}_i \in S_i = \mathbf{x}_0 + [\mathbf{u}_1, \dots, \mathbf{u}_i], \quad (7.13)$$

in modo che siano soddisfatte le condizioni di ortogonalità (analoghe alle (4.9) viste per il metodo dei gradienti coniugati)

$$\mathbf{w}_j^\top \mathbf{r}_i = 0, \quad j \leq i. \quad (7.14)$$

Le (7.12)–(7.14) definiscono il *metodo dei gradienti bi-coniugati (Bi-CG)*. Se la procedura può essere eseguita fino al passo n , questo ne garantisce la terminazione, essendo i vettori $\{\mathbf{w}_i\}$ linearmente indipendenti. Tuttavia, vi sono vari motivi per cui questo può non avvenire. Infatti, anche supponendo che nell'Algoritmo 7.3 non si abbiano condizioni di errore, definendo le sottomatrici

$$U_i = (\mathbf{u}_1 \dots, \mathbf{u}_i), \quad W_i = (\mathbf{w}_1 \dots \mathbf{w}_i),$$

e osservando che, dalla (7.7),

$$AU_i = U_{i+1}\hat{T}_i \equiv U_{i+1} \begin{pmatrix} \gamma_1 & \beta_1 & & & \\ \alpha_1 & \ddots & \ddots & & \\ & \ddots & \ddots & \beta_{i-1} & \\ & & \alpha_{i-1} & \gamma_i & \\ \hline & & & & \alpha_i \end{pmatrix} \equiv U_{i+1} \left(\frac{T_i}{\alpha_i(E_i^{(i)})^\top} \right), \quad (7.15)$$

le (7.13)-(7.14) equivalgono a ricercare $\mathbf{x}_i = \mathbf{x}_0 + U_i\mathbf{y}_i$, in modo tale che, definendo $\beta = \|\mathbf{r}_0\|$,

$$\begin{aligned} \mathbf{0} &= W_i^\top \mathbf{r}_i = W_i^\top (\mathbf{r}_0 - AU_i\mathbf{y}_i) = \beta E_1^{(i)} - W_i^\top U_{i+1} \hat{T}_i \mathbf{y}_i \\ &= \beta E_1^{(i)} - (I_i \mathbf{0}) \hat{T}_i \mathbf{y}_i = \beta E_1^{(i)} - T_i \mathbf{y}_i. \end{aligned} \quad (7.16)$$

Tuttavia, potrebbe aversi T_i singolare, anche se \hat{T}_i ha rango massimo.

Osservazione 7.6 *Nel caso in cui si arrivi al passo i -esimo e si abbia $\mathbf{u}_{i+1} = \mathbf{0}$ (ovvero, la condizione di “errore 1” nell’Algoritmo 7.3), allora si avrebbe $AU_i = U_i T_i$, con T_i nonsingolare. Questo implica che $\mathbf{x}_i = \mathbf{x}^*$. Infatti:*

$$\begin{aligned} \mathbf{r}_i &= \mathbf{b} - A\mathbf{x}_i = \mathbf{b} - A(\mathbf{x}_0 + U_i\mathbf{y}_i) = \mathbf{r}_0 - AU_i\mathbf{y}_i \\ &= \mathbf{r}_0 - U_i T_i \mathbf{y}_i = U_i (\beta E_1^{(i)} - T_i \mathbf{y}_i) = \mathbf{0}, \end{aligned}$$

in virtù della (7.16).

Dai precedenti argomenti, discende il seguente risultato.

Teorema 7.3 *In aritmetica esatta, i Bi-CG convergono alla soluzione, salvo breakdown, in al più n iterazioni.*

Infine, sulla scorta di quanto detto nella Osservazione 6.3 riguardo alla derivazione del metodo dei gradienti coniugati dal metodo di Lanczos, anche in questo caso è possibile derivare un algoritmo, corrispondente all’Algoritmo 4.3 visto per i gradienti coniugati, per il metodo Bi-CG. Questo è descritto dall’Algoritmo 7.4 (vedi Esercizi 7.5–7.8).

Osservazione 7.7 *In analogia con l’Algoritmo 5.1, è possibile definire la versione preconditionata del Bi-CG.*

Esercizio 7.2 *Determinare il costo computazionale dell’Algoritmo 7.4.*

Algoritmo 7.4 Metodo dei gradienti bi-coniugati (Bi-CG).

sia assegnata una approssimazione iniziale \mathbf{x}_0

calcolo $\mathbf{r}_0 = \mathbf{b} - A\mathbf{x}_0$

inizializzo $\hat{\mathbf{r}}_0 = \mathbf{p}_1 = \hat{\mathbf{p}}_1 = \mathbf{r}_0$, $\eta_0 = \hat{\mathbf{r}}_0^\top \mathbf{r}_0$

per $i=1, \dots, n$:

$$\mathbf{v}_i = A\mathbf{p}_i$$

$$\hat{\mathbf{v}}_i = A^\top \hat{\mathbf{p}}_i$$

$$\hat{d}_i = \hat{\mathbf{p}}_i^\top \mathbf{v}_i$$

$$\hat{\lambda}_i = \eta_{i-1} / \hat{d}_i$$

$$\mathbf{x}_i = \mathbf{x}_{i-1} + \hat{\lambda}_i \mathbf{p}_i$$

$$\mathbf{r}_i = \mathbf{r}_{i-1} - \hat{\lambda}_i \mathbf{v}_i$$

$$\hat{\mathbf{r}}_i = \hat{\mathbf{r}}_{i-1} - \hat{\lambda}_i \hat{\mathbf{v}}_i$$

$$\eta_i = \hat{\mathbf{r}}_i^\top \mathbf{r}_i$$

$$\mu_i = \eta_i / \eta_{i-1}$$

$$\mathbf{p}_{i+1} = \mathbf{r}_i + \mu_i \mathbf{p}_i$$

$$\hat{\mathbf{p}}_{i+1} = \hat{\mathbf{r}}_i + \mu_i \hat{\mathbf{p}}_i$$

fine per

$$\mathbf{x}^* = \mathbf{x}_n$$

Esercizio 7.3 Scrivere l'algoritmo corrispondente alla versione preconditionata del Bi-CG.

Esercizio 7.4 Scrivere un codice che implementi efficientemente l'Algoritmo 7.4, inserendo un idoneo criterio di arresto sul residuo ed un controllo sul breakdown.

Osservazione 7.8 Se A è sdp, gli Algoritmi 4.3 e 7.4 forniscono, in aritmetica esatta, la stessa successione di approssimazioni, in quanto, in tal caso, essendo $A = A^\top$, le successioni $\{\hat{\mathbf{r}}_i\}$, $\{\mathbf{r}_i\}$, e $\{\hat{\mathbf{p}}_i\}$, $\{\mathbf{p}_i\}$, coincidono.

Esercizio 7.5 *Se l'Algoritmo 7.4 può essere eseguito regolarmente fino al passo i -esimo, dimostrare che:*

$$\begin{aligned}
 1. \quad \mathbf{r}_i &= \sum_{j=0}^i b_j^{(i)} A^j \mathbf{p}_1, & \hat{\mathbf{r}}_i &= \sum_{j=0}^i b_j^{(i)} (A^\top)^j \hat{\mathbf{p}}_1, \\
 \mathbf{p}_{i+1} &= \sum_{j=0}^i c_j^{(i)} A^j \mathbf{p}_1, & \hat{\mathbf{p}}_{i+1} &= \sum_{j=0}^i c_j^{(i)} (A^\top)^j \hat{\mathbf{p}}_1, \quad \text{con} \\
 & & b_i^{(i)} = c_i^{(i)} &= (-1)^i \prod_{r=1}^i \hat{\lambda}_r; \tag{7.17}
 \end{aligned}$$

$$\begin{aligned}
 2. \quad [\mathbf{r}_0, \dots, \mathbf{r}_i] &= [\mathbf{p}_1, \dots, \mathbf{p}_{i+1}] = [\mathbf{p}_1, A\mathbf{p}_1, \dots, A^i \mathbf{p}_1], \\
 [\hat{\mathbf{r}}_0, \dots, \hat{\mathbf{r}}_i] &= [\hat{\mathbf{p}}_1, \dots, \hat{\mathbf{p}}_{i+1}] = [\hat{\mathbf{p}}_1, A^\top \hat{\mathbf{p}}_1, \dots, (A^\top)^i \hat{\mathbf{p}}_1]; \\
 3. \quad \hat{\mathbf{p}}_j^\top \mathbf{r}_i &= \mathbf{p}_j^\top \hat{\mathbf{r}}_i = 0, & \hat{\mathbf{p}}_j^\top A \mathbf{p}_{i+1} &= \mathbf{p}_j^\top A^\top \hat{\mathbf{p}}_{i+1} = 0, \quad j \leq i.
 \end{aligned}$$

Esercizio 7.6 *Dimostrare che, se T è la matrice in (7.7) e*

$$F = \begin{pmatrix} f_1 & & \\ & \ddots & \\ & & f_n \end{pmatrix}, \quad f_1 = 1, \quad f_{i+1} = f_i \frac{\beta_i}{\alpha_i}, \quad i = 1, \dots, n-1, \tag{7.18}$$

allora $F T F^{-1} = T^\top$.

Esercizio 7.7 *Supponendo che l'Algoritmo 7.4 possa essere eseguito regolarmente per n passi, dimostrare che esso equivale ad ottenere la fattorizzazione:*

$$\begin{aligned}
 AP &= R L \Lambda^{-1} \equiv P \hat{T}, \\
 A^\top \hat{P} &= \hat{R} L \Lambda^{-1} \equiv \hat{P} \hat{T}, \\
 \hat{P}^\top AP &= \hat{D}, \tag{7.19}
 \end{aligned}$$

dove (confrontare con (4.17) e (4.19))

$$\begin{aligned}
 P &= (\mathbf{p}_1, \dots, \mathbf{p}_n), & R &= (\mathbf{r}_0, \dots, \mathbf{r}_{n-1}), & R &= PB, \\
 \hat{P} &= (\hat{\mathbf{p}}_1, \dots, \hat{\mathbf{p}}_n), & \hat{R} &= (\hat{\mathbf{r}}_0, \dots, \hat{\mathbf{r}}_{n-1}), & \hat{R} &= \hat{P} B, \\
 B &= \begin{pmatrix} 1 & -\mu_1 & & \\ & \ddots & \ddots & \\ & & \ddots & -\mu_{n-1} \\ & & & 1 \end{pmatrix}, & L &= \begin{pmatrix} 1 & & & \\ -1 & \ddots & & \\ & \ddots & \ddots & \\ & & & -1 & 1 \end{pmatrix},
 \end{aligned}$$

$$\Lambda = \begin{pmatrix} \hat{\lambda}_1 & & \\ & \ddots & \\ & & \hat{\lambda}_n \end{pmatrix}, \quad \hat{D} = \begin{pmatrix} \hat{d}_1 & & \\ & \ddots & \\ & & \hat{d}_n \end{pmatrix},$$

$$\hat{T} = B\Lambda^{-1}, \quad \hat{R}^\top R = \Sigma \equiv \begin{pmatrix} \eta_0 & & \\ & \ddots & \\ & & \eta_{m-1} \end{pmatrix}.$$

Esercizio 7.8 *Dimostrare che la fattorizzazione (7.19) equivale alla fattorizzazione (7.7) (vedi l'Algoritmo 7.3), con*

$$U = R\Delta^{-1}, \quad W = \hat{R}\Delta\Sigma^{-1}, \quad \Delta = \begin{pmatrix} \|\mathbf{r}_0\| & & \\ & \ddots & \\ & & \|\mathbf{r}_{n-1}\| \end{pmatrix}.$$

(Confrontare con l'Esercizio 4.4 e l'Osservazione 4.2).

Per concludere questa sezione, consideriamo l'applicazione del Bi-CG al sistema lineare (7.1), di dimensione $n = 100$, densità del 4% e numero di condizione $\approx 5 \cdot 10^5$, su cui abbiamo già testato GMRES (vedi Figura 7.1). In Figura 7.2 è riportata la norma del residuo rispetto all'indice di iterazione. Sono ora necessarie ben 1289 iterazioni per avere il residuo con norma inferiore a 10^{-12} . Come si vede, in aritmetica finita la proprietà di terminazione del Teorema 7.3 può non essere più valida.

7.5 QMR

Il metodo che andiamo ora ad esaminare sta al Bi-CG come MINRES sta ai gradienti coniugati. Infatti, sempre considerando al passo i -esimo la soluzione come in (7.13), la si ricerca in modo da minimizzare una maggiorazione della norma del residuo corrente. I passi sono assai simili a quelli visti per MINRES. Si avrà $\mathbf{x}_i = \mathbf{x}_0 + U_i\mathbf{y}_i$, dove si vorrebbe (vedi (7.15) e, al solito, ponendo $\beta = \|\mathbf{r}_0\|$):

$$\begin{aligned} \mathbf{y}_i &= \arg \min_{\mathbf{y} \in \mathbb{R}^i} \|\mathbf{b} - A(\mathbf{x}_0 + U_i\mathbf{y})\| = \arg \min_{\mathbf{y} \in \mathbb{R}^i} \|\mathbf{r}_0 - U_{i+1}\hat{T}_i\mathbf{y}\| \\ &= \arg \min_{\mathbf{y} \in \mathbb{R}^i} \|U_{i+1}(\beta E_1^{(i+1)} - \hat{T}_i)\mathbf{y}\|. \end{aligned}$$

A questo punto, se si fattorizzasse QR la matrice U_{i+1} , si otterrebbe nuovamente GMRES, in quanto il prodotto del fattore R (triangolare superiore)

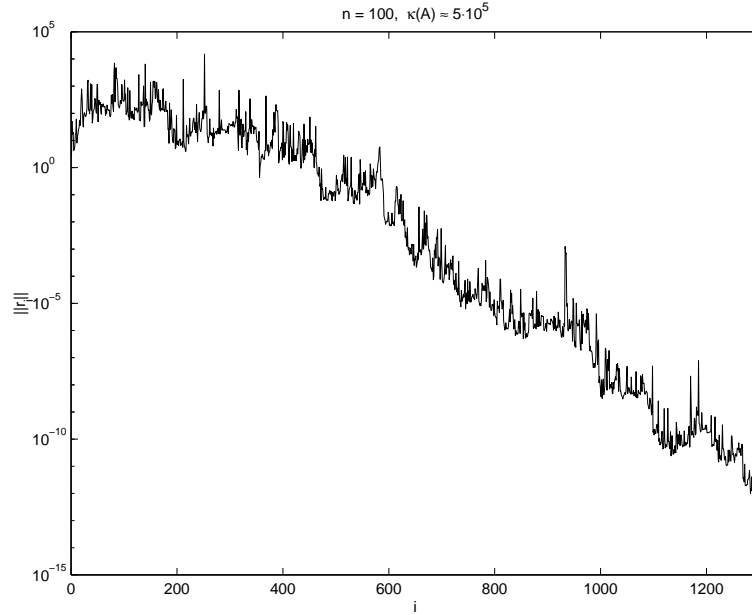


Figura 7.2: Bi-CG applicato al problema (7.1).

con \hat{T}_i (tridiagonale), darebbe una matrice di Hessemberg superiore che, a meno dei segni degli elementi sottodiagonali, risulta essere proprio la sottomatrice \hat{H}_i (vedi (7.4)) della matrice H della fattorizzazione (7.2). Invece, al fine di evitare i problemi di costo computazionale visti per GMRES, si osserva che

$$\|U_{i+1}(\beta E_1^{(i+1)} - \hat{T}_i \mathbf{y})\| \leq \|U_{i+1}\| \cdot \|\beta E_1^{(i+1)} - \hat{T}_i \mathbf{y}\|,$$

per cui si sceglierà

$$\mathbf{y}_i = \arg \min_{\mathbf{y} \in \mathbb{R}^i} \|\beta E_1^{(i+1)} - \hat{T}_i \mathbf{y}\|. \quad (7.20)$$

Il corrispondente metodo è denominato *QMR* (*Quasi Minimal Residual method*). La minimizzazione dell'argomento della norma in (7.20) si ottiene in un modo del tutto analogo a quello visto per MINRES, con tutti i dettagli implementativi (con le opportune, minime, modifiche) esaminati in Sezione 6.4. Questo permette di derivare il corrispondente Algoritmo 7.5.

La proprietà di terminazione finita, salvo breakdown, continua a valere anche per QMR.

Osserviamo infine che, considerando la eventuale matrice preconditionata CA al posto di A , si ottiene la versione preconditionata del metodo.

Algoritmo 7.5 QMR.

sia assegnata una approssimazione iniziale \mathbf{x}_0

calcolo $\mathbf{r}_0 = \mathbf{b} - A\mathbf{x}_0$ e $\beta = \|\mathbf{r}_0\|$

inizializzo $\mathbf{w}_1 = \mathbf{u}_1 = \mathbf{r}_0/\beta$, $\beta_0 = \alpha_0 = 0$, $g_0 = \beta$

per $i=1, \dots, n$:

$$\mathbf{v}_i = A\mathbf{u}_i$$

$$\gamma_i = \mathbf{w}_i^\top \mathbf{v}_i$$

$$\hat{\mathbf{u}}_i = \mathbf{v}_i - \gamma_i \mathbf{u}_i - \beta_{i-1} \mathbf{u}_{i-1}$$

$$\alpha_i = \|\hat{\mathbf{u}}_i\|$$

$$\mathbf{p}_i = \mathbf{u}_i$$

$$r_{i-1,i} = \beta_{i-1}$$

$$r_{ii} = \gamma_i$$

$$\text{se } i > 2, \begin{pmatrix} r_{i-2,i} \\ r_{i-1,i} \end{pmatrix} \leftarrow \begin{pmatrix} c_{i-2} & s_{i-2} \\ -s_{i-2} & c_{i-2} \end{pmatrix} \begin{pmatrix} 0 \\ \beta_{i-1} \end{pmatrix}$$

$$\mathbf{p}_i \leftarrow \mathbf{p}_i - r_{i-2,i} \mathbf{p}_{i-2}, \text{ fine se}$$

$$\text{se } i > 1, \begin{pmatrix} r_{i-1,i} \\ r_{ii} \end{pmatrix} \leftarrow \begin{pmatrix} c_{i-1} & s_{i-1} \\ -s_{i-1} & c_{i-1} \end{pmatrix} \begin{pmatrix} r_{i-1,i} \\ \gamma_i \end{pmatrix}$$

$$\mathbf{p}_i \leftarrow \mathbf{p}_i - r_{i-1,i} \mathbf{p}_{i-1}, \text{ fine se}$$

$$\text{calcolo } c_i, s_i \text{ tali che } \begin{pmatrix} r_{ii} \\ 0 \end{pmatrix} \leftarrow \begin{pmatrix} c_i & s_i \\ -s_i & c_i \end{pmatrix} \begin{pmatrix} r_{ii} \\ \alpha_i \end{pmatrix}$$

$$\mathbf{p}_i \leftarrow \mathbf{p}_i / r_{ii}$$

$$\begin{pmatrix} \xi_i \\ g_i \end{pmatrix} = \begin{pmatrix} c_i & s_i \\ -s_i & c_i \end{pmatrix} \begin{pmatrix} g_{i-1} \\ 0 \end{pmatrix}$$

$$\mathbf{x}_i = \mathbf{x}_{i-1} + \xi_i \mathbf{p}_i$$

se $\alpha_i = 0$ oppure $|g_i| \leq \text{tol}$, $\mathbf{x}^* = \mathbf{x}_i$, esci, fine se

$$\mathbf{u}_{i+1} = \hat{\mathbf{u}}_i / \alpha_i$$

$$\hat{\mathbf{w}}_i = A^\top \mathbf{w}_i - \gamma_i \mathbf{w}_i - \alpha_{i-1} \mathbf{w}_{i-1}$$

$$\beta_i = \mathbf{u}_{i+1}^\top \hat{\mathbf{w}}_i$$

se $\beta_i = 0$, breakdown, esci, fine se

$$\mathbf{w}_{i+1} = \hat{\mathbf{w}}_i / \beta_i$$

fine per

Esercizio 7.9 *Determinare il costo computazionale dell'Algoritmo 7.5.*

Esercizio 7.10 *Scrivere la versione preconditionata dell'Algoritmo 7.5.*

7.6 Implementazione alternativa del QMR

Una implementazione più efficiente del QMR si ottiene riscrivendo la seconda equazione in (7.7) nella forma equivalente (vedi (7.18)) $A^T W = W F T F^{-1}$, ovvero $A^T W F = W F T$. Ponendo, quindi, $V = W F \equiv (\mathbf{v}_1 \dots \mathbf{v}_n)$, si ottiene la fattorizzazione equivalente

$$AU = UT, \quad A^T V = VT, \quad V^T U = F.$$

A questo punto, supponendo che la matrice T sia fattorizzabile LU , si ottiene

$$T = LH \equiv \begin{pmatrix} \ell_1 & & & & \\ \alpha_1 & \ell_2 & & & \\ & \ddots & \ddots & & \\ & & & \alpha_{n-1} & \ell_n \end{pmatrix} \begin{pmatrix} 1 & \varphi_1 & & & \\ & \ddots & \ddots & & \\ & & \ddots & \varphi_{n-1} & \\ & & & & 1 \end{pmatrix}, \quad (7.21)$$

dove (vedi (7.7)) $\ell_1 = \gamma_1$, $\varphi_i = \beta_i/\ell_i$, $\ell_{i+1} = \gamma_{i+1} - \varphi_i \alpha_i$, $i = 1, \dots, n-1$. Pertanto, ponendo

$$Q = UH^{-1} \equiv (\mathbf{q}_1 \dots \mathbf{q}_n), \quad Z = VH^{-1} \equiv (\mathbf{z}_1 \dots \mathbf{z}_n),$$

si ottiene, infine, la fattorizzazione

$$AQ = UL, \quad U = QH, \quad A^T Z = VL, \quad V = ZH, \quad V^T U = F. \quad (7.22)$$

Per poter univocamente determinare la fattorizzazione, è tuttavia necessaria una ulteriore condizione, che andiamo adesso a definire.

Esercizio 7.11 *Dimostrare che (vedi (7.18) e (7.21))*

$$F^{-1}H^T F = LL_D^{-1} \equiv L \begin{pmatrix} \ell_1 & & & \\ & \ddots & & \\ & & & \ell_n \end{pmatrix}^{-1}.$$

Dalla (7.22), tenendo conto del risultato nel precedente esercizio, si ottiene:

$$\begin{aligned} Z^T A Q &= H^{-T} V^T A Q = H^{-T} V^T U L = H^{-T} F L \\ &= F (F^{-1} H^{-T} F) L = F L_D \equiv D. \end{aligned}$$

Algoritmo 7.6 Fattorizzazione (7.22)-(7.23).

sia assegnato il vettore \mathbf{u}_1 , $\|\mathbf{u}_1\| = 1$

inizializzo $\mathbf{v}_1 = \mathbf{q}_1 = \mathbf{z}_1 = \mathbf{u}_1$, $f_1 = 1$, $\ell_1 = \mathbf{z}_1^\top A \mathbf{q}_1$

per $i=1, \dots, n-1$:

$$\hat{\mathbf{u}}_i = A \mathbf{q}_i - \ell_i \mathbf{u}_i$$

$$\alpha_i = \|\hat{\mathbf{u}}_i\|$$

se $\alpha_i = 0$, errore 1, fine se

$$\mathbf{u}_{i+1} = \hat{\mathbf{u}}_i / \alpha_i$$

$$\mathbf{v}_{i+1} = (A^\top \mathbf{z}_i - \ell_i \mathbf{v}_i) / \alpha_i$$

$$f_{i+1} = \mathbf{v}_{i+1}^\top \mathbf{u}_{i+1}$$

se $f_{i+1} = 0$, errore 2, fine se

$$\beta_i = \alpha_i f_{i+1} / f_i$$

$$\mathbf{q}_{i+1} = \mathbf{u}_{i+1} - (\beta_i / \ell_i) \mathbf{q}_i$$

$$\mathbf{z}_{i+1} = \mathbf{v}_{i+1} - (\beta_i / \ell_i) \mathbf{z}_i$$

$$\ell_{i+1} = \mathbf{z}_{i+1}^\top A \mathbf{q}_{i+1} / f_{i+1}$$

se $\ell_{i+1} = 0$, errore 3, fine se

fine per

Pertanto, alle (7.22) associamo l'ulteriore equazione

$$Z^\top A Q = D \equiv \begin{pmatrix} f_1 \ell_1 & & \\ & \ddots & \\ & & f_n \ell_n \end{pmatrix}. \quad (7.23)$$

Dalle (7.18), (7.21)–(7.23), si ottiene, quindi, l'Algoritmo 7.6, dove abbiamo posto $\mathbf{v}_1 = \mathbf{u}_1$.

Osservazione 7.9 *Nell'Algoritmo 7.6, le condizioni denominate errore 1 ed errore 2 sono equivalenti alle condizioni omonime viste nell'Algoritmo 7.3. La condizione denominata errore 3 è invece legata alla possibile non esistenza della fattorizzazione (7.21).*

Osservazione 7.10 Anche per la fattorizzazione di Lanczos (6.3), vista nel caso simmetrico, si potrebbe definire una variante analoga alla fattorizzazione (7.22)-(7.23). Questa determinerebbe una corrispondente variante del metodo MINRES.

Utilizziamo, ora, la fattorizzazione (7.22)-(7.23) per risolvere il sistema lineare (7.1). Come visto per il QMR, al passo i -esimo si ricercherà la approssimazione corrente nella forma $\mathbf{x}_i = \mathbf{x}_0 + U_i \mathbf{y}_i$, in cui il vettore \mathbf{y}_i è soluzione del problema di minimo (7.20). Considerando che, dalla (7.21),

$$\hat{T}_i = \hat{L}_i H_i \equiv \begin{pmatrix} \ell_1 & & & \\ \alpha_1 & \ddots & & \\ & \ddots & \ell_i & \\ & & & \alpha_i \end{pmatrix} \begin{pmatrix} 1 & \varphi_1 & & \\ & \ddots & \ddots & \\ & & \ddots & \varphi_{i-1} \\ & & & 1 \end{pmatrix},$$

e ponendo $\mathbf{c} = H_i \mathbf{y}$, si ottiene quindi che

$$\min_{\mathbf{y} \in \mathbb{R}^i} \|\beta E_1^{(i+1)} - \hat{T}_i \mathbf{y}\| = \min_{\mathbf{c} \in \mathbb{R}^i} \|\beta E_1^{(i+1)} - \hat{L}_i \mathbf{c}\|. \quad (7.24)$$

Se \mathbf{c}_i è la soluzione del secondo problema, segue che $\mathbf{y}_i = H_i^{-1} \mathbf{c}_i$ è soluzione del primo e, pertanto,

$$\mathbf{x}_i = \mathbf{x}_0 + U_i \mathbf{y}_i = \mathbf{x}_0 + U_i H_i^{-1} \mathbf{c}_i = \mathbf{x}_0 + Q_i \mathbf{c}_i,$$

dove, al solito $Q_i = (\mathbf{q}_1 \dots \mathbf{q}_i)$. I rimanenti dettagli implementativi sono simili a quelli visti per il QMR (e, precedentemente, esaminati per MINRES); essi sono riassunti nell'Algoritmo 7.7.

Esercizio 7.12 Determinare il costo computazionale dell'Algoritmo 7.7 e confrontarlo con quello dell'Algoritmo 7.5.

Esercizio 7.13 Scrivere la versione preconditionata dell'Algoritmo 7.7.

Esercizio 7.14 Scrivere un codice che implementi efficientemente l'Algoritmo 7.7, riformulandolo come un metodo iterativo puro ed inserendo un controllo su possibili breakdown.

Per concludere, in Figura 7.3 si riporta la norma del residuo per QMR e Bi-CG applicati allo stesso problema relativo alle Figure 7.1-7.2. Dalla figura si evince come il comportamento del primo metodo sia più regolare di quello del secondo, come ci si aspetta dalla sua derivazione.

Algoritmo 7.7 QMR, implementazione alternativa.

sia assegnata una approssimazione iniziale \mathbf{x}_0

calcolo $\mathbf{r}_0 = \mathbf{b} - A\mathbf{x}_0$ e $\beta = \|\mathbf{r}_0\|$

inizializzo $\mathbf{u}_1 = \mathbf{v}_1 = \mathbf{q}_1 = \mathbf{z}_1 = \mathbf{r}_0/\beta$, $g_0 = \beta$, $f_1 = 1$

per $i=1, \dots, n$:

$$\hat{\mathbf{q}}_i = A\mathbf{q}_i$$

$$\ell_i = \mathbf{z}_i^\top \hat{\mathbf{q}}_i / f_i$$

se $\ell_i = 0$, breakdown, esci, fine se

$$\hat{\mathbf{u}}_i = \hat{\mathbf{q}}_i - \ell_i \mathbf{u}_i$$

$$\alpha_i = \|\hat{\mathbf{u}}_i\|$$

$$r_{ii} = \ell_i$$

$$\mathbf{p}_i = \mathbf{q}_i$$

$$\text{se } i > 1, \begin{pmatrix} r_{i-1,i} \\ r_{ii} \end{pmatrix} \leftarrow \begin{pmatrix} c_{i-1} & s_{i-1} \\ -s_{i-1} & c_{i-1} \end{pmatrix} \begin{pmatrix} 0 \\ \ell_i \end{pmatrix}$$

$$\mathbf{p}_i \leftarrow \mathbf{p}_i - r_{i-1,i} \mathbf{p}_{i-1}, \text{ fine se}$$

$$\text{calcolo } c_i, s_i \text{ tali che } \begin{pmatrix} r_{ii} \\ 0 \end{pmatrix} \leftarrow \begin{pmatrix} c_i & s_i \\ -s_i & c_i \end{pmatrix} \begin{pmatrix} r_{ii} \\ \alpha_i \end{pmatrix}$$

$$\mathbf{p}_i \leftarrow \mathbf{p}_i / r_{ii}$$

$$\begin{pmatrix} \xi_i \\ g_i \end{pmatrix} = \begin{pmatrix} c_i & s_i \\ -s_i & c_i \end{pmatrix} \begin{pmatrix} g_{i-1} \\ 0 \end{pmatrix}$$

$$\mathbf{x}_i = \mathbf{x}_{i-1} + \xi_i \mathbf{p}_i$$

se $\alpha_i = 0$ oppure $|g_i| \leq \text{tol}$, $\mathbf{x}^* = \mathbf{x}_i$, esci, fine se

$$\mathbf{u}_{i+1} = \hat{\mathbf{u}}_i / \alpha_i$$

$$\mathbf{v}_{i+1} = (A^\top \mathbf{z}_i - \ell_i \mathbf{v}_i) / \alpha_i$$

$$f_{i+1} = \mathbf{v}_{i+1}^\top \mathbf{u}_{i+1}$$

se $f_{i+1} = 0$, breakdown, esci, fine se

$$\varphi_i = (\alpha_i f_{i+1}) / (\ell_i f_i)$$

$$\mathbf{q}_{i+1} = \mathbf{u}_{i+1} - \varphi_i \mathbf{q}_i$$

$$\mathbf{z}_{i+1} = \mathbf{v}_{i+1} - \varphi_i \mathbf{z}_i$$

fine per

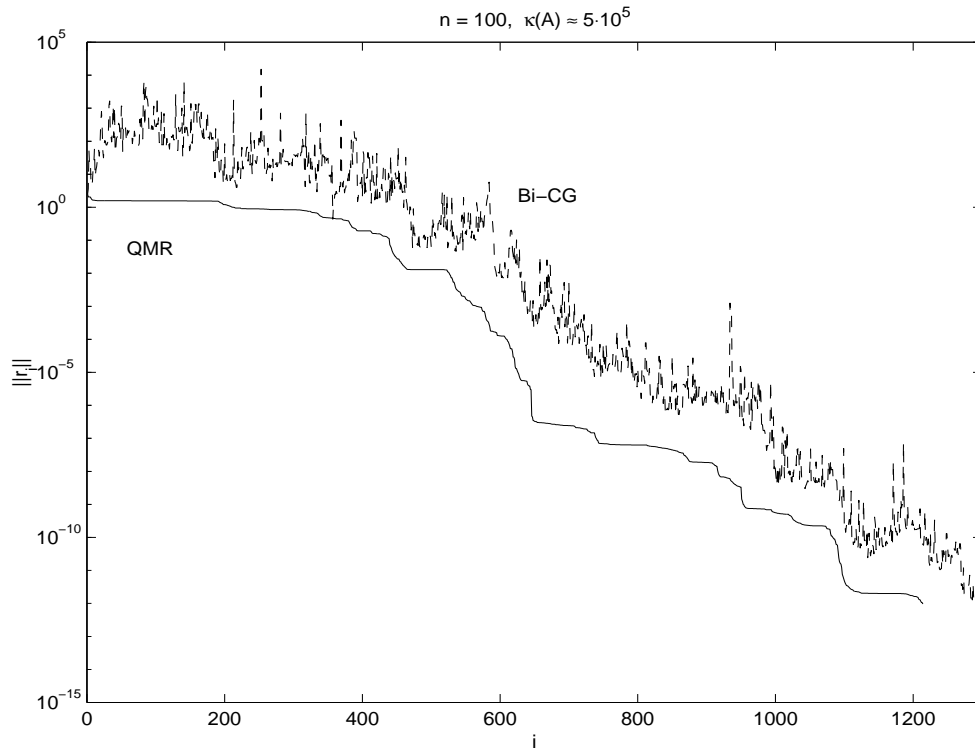


Figura 7.3: QMR e Bi-CG applicati al problema (7.1).

7.7 Bidiagonalizzazione

Una fattorizzazione alternativa, per ottenere un metodo di risoluzione iterativo, è data da

$$AV = UL, \quad A^T U = VL^T, \quad U^T U = V^T V = I, \quad (7.25)$$

dove

$$U = (\mathbf{u}_1 \dots \mathbf{u}_n), \quad V = (\mathbf{v}_1 \dots \mathbf{v}_n), \quad L = \begin{pmatrix} \alpha_1 & & & & \\ \beta_1 & \alpha_2 & & & \\ & \ddots & \ddots & & \\ & & & \beta_{n-1} & \alpha_n \end{pmatrix}.$$

Si tratta, quindi, di portare a forma bidiagonale la matrice A mediante moltiplicazione, a sinistra e a destra, per due matrici ortogonali.

Dalla (7.25) si ottengono le seguenti relazioni di ricorrenza,

$$\begin{aligned} A\mathbf{v}_i &= \alpha_i \mathbf{u}_i + \beta_i \mathbf{u}_{i+1}, \\ A^T \mathbf{u}_i &= \alpha_i \mathbf{v}_i + \beta_{i-1} \mathbf{v}_{i-1}, \quad i = 1, \dots, n, \end{aligned} \quad (7.26)$$

Algoritmo 7.8 *Fattorizzazione (7.25).*

sia assegnato un vettore non nullo $\hat{\mathbf{u}}_1$

inizializzo $\beta_0 = 0$, $\mathbf{u}_1 = \hat{\mathbf{u}}_1 / \|\hat{\mathbf{u}}_1\|$

per $i = 1, \dots, n$:

$$\hat{\mathbf{v}}_i = A^\top \mathbf{u}_i - \beta_{i-1} \mathbf{v}_{i-1}$$

$$\alpha_i = \|\hat{\mathbf{v}}_i\|$$

$$\mathbf{v}_i = \hat{\mathbf{v}}_i / \alpha_i$$

se $i = n$, esci, fine se

$$\hat{\mathbf{u}}_i = A \mathbf{v}_i - \alpha_i \mathbf{u}_i$$

$$\beta_i = \|\hat{\mathbf{u}}_i\|$$

se $\beta_i = 0$, esci, fine se

$$\mathbf{u}_{i+1} = \hat{\mathbf{u}}_i / \beta_i$$

fine per

dove, al solito, $\beta_0 = 0$, $\mathbf{u}_{n+1} = \mathbf{0}$. Queste permettono di ottenere il corrispondente Algoritmo 7.8.

Per utilizzare questa fattorizzazione al fine di risolvere il problema (7.1), assegnata una approssimazione iniziale \mathbf{x}_0 si sceglie, nell'Algoritmo 7.8,

$$\hat{\mathbf{u}}_1 = \mathbf{r}_0 \equiv \mathbf{b} - A \mathbf{x}_0. \quad (7.27)$$

Quindi, al passo i -esimo, si ricercherà $\mathbf{x}_i \in \mathbf{x}_0 + [\mathbf{v}_1, \dots, \mathbf{v}_i]$ in modo da soddisfare le seguenti condizioni di ortogonalità per il corrispondente residuo \mathbf{r}_i :

$$\mathbf{u}_j^\top \mathbf{r}_i = 0, \quad j \leq i, \quad (7.28)$$

o, alternativamente, in modo da minimizzare $\|\mathbf{r}_i\|$. In entrambi i casi, si ottiene una semplice relazione di ricorrenza per le approssimazioni $\{\mathbf{x}_i\}$.

Esercizio 7.15 *Verificare che, se si utilizza il criterio (7.28), allora*

$$\mathbf{x}_i = \mathbf{x}_{i-1} + \xi_i \mathbf{v}_i, \quad i = 1, 2, \dots,$$

dove

$$\xi_1 = \|\mathbf{r}_0\| / \alpha_1, \quad \xi_i = -\xi_{i-1} \beta_{i-1} / \alpha_i, \quad i = 2, \dots, n.$$

Inoltre, in virtù della scelta (7.27), si dimostra valere il seguente risultato.

Teorema 7.4 *Se, nell'Algoritmo 7.8-(7.27), si verifica $\beta_i = 0$, allora $\mathbf{x}_i = \mathbf{x}^*$, soluzione di (7.1).*

Esercizio 7.16 *Dimostrare il Teorema 7.4.*

Esercizio 7.17 *Dimostrare che, per l'Algoritmo 7.8, $\alpha_1 > 0$. Inoltre, per $i > 1$, se $\beta_{i-1} \neq 0$, allora $\alpha_i > 0$ (suggerimento: utilizzare la fattorizzazione (7.25)).*

Purtroppo, la fattorizzazione (7.25) che, apparentemente non ha più il problema del breakdown tipico del metodo di Lanczos non simmetrico, ha un serio inconveniente. Infatti, moltiplicando la prima equazione in (7.25) per A^\top , e tenendo conto della seconda equazione, si ottiene:

$$A^\top AV = A^\top UL = VL^\top L \equiv VT, \quad V^\top V = I,$$

dove $T \equiv L^\top L$ è una matrice tridiagonale e simmetrica. Si evince, quindi, che la fattorizzazione (7.25) è equivalente alla fattorizzazione di Lanczos (6.3) applicata alla matrice $A^\top A$. In definitiva, il corrispondente metodo iterativo equivale a risolvere le equazioni normali (6.2) associate al problema (7.1), peggiorando grandemente il condizionamento del problema. Pertanto, il suo utilizzo ha scarso interesse pratico.

7.8 CGS

I metodi derivati dalla fattorizzazione (7.7), ovvero Bi-CG e QMR, richiedono, ad ogni iterazione, due matvec: uno con la matrice A , l'altro con la matrice A^\top (vedi gli Algoritmi 7.4 e 7.7). Quest'ultimo prodotto, quando A è una matrice sparsa di grandi dimensioni, può talora risultare difficoltoso, se si è utilizzata una tecnica di memorizzazione per matrici sparse. Per questo motivo, cercheremo ora di derivare una variante dei Bi-CG che non necessita di matvec con A^\top .

Il punto di partenza della nostra analisi sarà l'Algoritmo 7.4 del metodo dei Bi-CG. Infatti, se si considerano le direzioni $\{\mathbf{p}_i\}$, $\{\hat{\mathbf{p}}_i\}$, i residui $\{\mathbf{r}_i\}$ e gli *pseudo-residui* $\{\hat{\mathbf{r}}_i\}$, si verifica facilmente che

$$\begin{aligned} \mathbf{r}_i &= \varphi_i(A)\mathbf{r}_0, & \hat{\mathbf{r}}_i &= \varphi_i(A^\top)\hat{\mathbf{r}}_0, \\ \mathbf{p}_i &= \psi_i(A)\mathbf{r}_0, & \hat{\mathbf{p}}_i &= \psi_i(A^\top)\hat{\mathbf{r}}_0, \end{aligned} \tag{7.29}$$

dove $\varphi_i, \psi_{i+1} \in \Pi_i$ sono polinomi definiti ricorsivamente come segue (sia $\theta(x) = x$):

$$\begin{aligned}\varphi_0 &\equiv 1, & \varphi_i &= \varphi_{i-1} - \hat{\lambda}_i \theta \psi_i, \\ \psi_1 &\equiv 1, & \psi_{i+1} &= \varphi_i + \mu_i \psi_i, \quad i = 1, 2, \dots\end{aligned}\quad (7.30)$$

Gli scalari $\{\hat{\lambda}_i\}, \{\mu_i\}$ che definiscono tali polinomi sono

$$\mu_i = \eta_i / \eta_{i-1}, \quad \hat{\lambda}_i = \eta_{i-1} / \hat{d}_i, \quad (7.31)$$

dove:

$$\begin{aligned}\eta_i &= \hat{\mathbf{r}}_i^\top \mathbf{r}_i = (\varphi_i(A^\top) \hat{\mathbf{r}}_0)^\top \varphi_i(A) \mathbf{r}_0 = \hat{\mathbf{r}}_0^\top \varphi_i^2(A) \mathbf{r}_0, \\ \hat{d}_i &= \hat{\mathbf{p}}_i^\top A \mathbf{p}_i = (\psi_i(A^\top) \hat{\mathbf{r}}_0)^\top A \psi_i(A) \mathbf{r}_0 = \hat{\mathbf{r}}_0^\top A \psi_i^2(A) \mathbf{r}_0.\end{aligned}\quad (7.32)$$

Pertanto, potremmo ottenere un metodo iterativo assimilabile ai Bi-CG, che consiste nel tener fisso il primo pseudo-residuo, $\hat{\mathbf{r}}_0$, e che non richiede l'utilizzo di A^\top , a patto che si possano generare ricorsivamente i polinomi $\{\psi_i^2\}$ e $\{\varphi_i^2\}$. Dalla (7.30) si ottiene:

$$\begin{aligned}\varphi_0^2 &\equiv 1, & \psi_1^2 &\equiv 1, \\ \varphi_i^2 &= \varphi_{i-1}^2 + \hat{\lambda}_i^2 \theta^2 \psi_i^2 - 2\hat{\lambda}_i \theta \varphi_{i-1} \psi_i, \\ \psi_{i+1}^2 &= \varphi_i^2 + \mu_i^2 \psi_i^2 + 2\mu_i \varphi_i \psi_i, \quad i = 1, 2, \dots\end{aligned}\quad (7.33)$$

Per quanto riguarda i prodotti $\{\varphi_{i-1} \psi_i\}$ e $\{\varphi_i \psi_i\}$, si ottengono le relazioni di ricorrenza:

$$\begin{aligned}\varphi_0 \psi_1 &\equiv 1, \\ \varphi_i \psi_i &= (\varphi_{i-1} - \hat{\lambda}_i \theta \psi_i) \psi_i = \varphi_{i-1} \psi_i - \hat{\lambda}_i \theta \psi_i^2, \\ \varphi_i \psi_{i+1} &= \varphi_i (\varphi_i + \mu_i \psi_i) = \varphi_i^2 + \mu_i \varphi_i \psi_i, \quad i = 1, 2, \dots\end{aligned}\quad (7.34)$$

Definendo i polinomi

$$\Phi_i = \varphi_i^2, \quad \Psi_i = \psi_i^2, \quad \Omega_i = \varphi_i \psi_i, \quad \Gamma_i = \varphi_i \psi_{i+1},$$

e la forma bilineare

$$[p, q] \equiv (p(A^\top) \hat{\mathbf{r}}_0)^\top q(A) \mathbf{r}_0 \equiv [1, pq] \equiv [1, qp], \quad (7.35)$$

possiamo quindi formulare l'Algoritmo 7.9 per la generazione degli stessi.

Algoritmo 7.9 *Procedura per la generazione dei polinomi (7.33)-(7.34).*

Inizializzo $\Phi_0 \equiv \Psi_1 \equiv \Gamma_0 \equiv 1$, $\eta_0 = [1, \Phi_0]$

per $i = 1, \dots, n$:

$$\hat{d}_i = [1, \theta\Psi_i]$$

$$\hat{\lambda}_i = \eta_{i-1}/\hat{d}_i$$

$$\Omega_i = \Gamma_{i-1} - \hat{\lambda}_i\theta\Psi_i$$

$$\Phi_i = \Phi_{i-1} - \hat{\lambda}_i\theta(\Gamma_{i-1} + \Omega_i)$$

$$\eta_i = [1, \Phi_i]$$

$$\mu_i = \eta_i/\eta_{i-1}$$

$$\Gamma_i = \Phi_i + \mu_i\Omega_i$$

$$\Psi_{i+1} = \Gamma_i + \mu_i(\Omega_i + \mu_i\Psi_i)$$

fine per

Algoritmo 7.10 *Metodo CGS.*

sia assegnata una approssimazione iniziale \mathbf{x}_0

calcolo $\mathbf{r}_0 = \mathbf{b} - A\mathbf{x}_0$

inizializzo $\hat{\mathbf{r}}_0 = \mathbf{p}_1 = \mathbf{g}_0 = \mathbf{r}_0$, $\eta_0 = \hat{\mathbf{r}}_0^\top \mathbf{r}_0$

per $i = 1, \dots, n$:

$$\mathbf{v}_i = A\mathbf{p}_i$$

$$\hat{d}_i = \hat{\mathbf{r}}_0^\top \mathbf{v}_i$$

$$\hat{\lambda}_i = \eta_{i-1}/\hat{d}_i$$

$$\mathbf{w}_i = \mathbf{g}_{i-1} - \hat{\lambda}_i\mathbf{v}_i$$

$$\mathbf{x}_i = \mathbf{x}_{i-1} + \hat{\lambda}_i(\mathbf{g}_{i-1} + \mathbf{w}_i)$$

$$\mathbf{r}_i = \mathbf{r}_{i-1} - \hat{\lambda}_i A(\mathbf{g}_{i-1} + \mathbf{w}_i)$$

$$\eta_i = \hat{\mathbf{r}}_0^\top \mathbf{r}_i$$

$$\mu_i = \eta_i/\eta_{i-1}$$

$$\mathbf{g}_i = \mathbf{r}_i + \mu_i\mathbf{w}_i$$

$$\mathbf{p}_{i+1} = \mathbf{g}_i + \mu_i(\mathbf{w}_i + \mu_i\mathbf{p}_i)$$

fine per

Tenendo conto del fatto che i residui generati sono ora dati da

$$\mathbf{r}_i = \Phi_i(A)\mathbf{r}_0 = \varphi_i^2(A)\mathbf{r}_0,$$

si ottiene che essi sono i “quadrati” dei corrispondenti residui generati dai Bi-CG (vedi (7.29)). Per questo motivo, il corrispondente metodo iterativo è denominato *CGS* (*CG Squared*): esso è descritto dall’Algoritmo 7.10, ottenuto dal precedente Algoritmo 7.9. Al solito, è stata utilizzata la scelta

$$\hat{\mathbf{r}}_0 = \mathbf{r}_0 = \mathbf{b} - A\mathbf{x}_0. \quad (7.36)$$

La versione preconditionata del metodo si ottiene mediante le sostituzioni formali

$$\mathbf{b} \leftarrow C\mathbf{b}, \quad A \leftarrow CA,$$

dove $C \approx A^{-1}$ è la matrice di preconditionamento.

Osservazione 7.11 *Dall’Algoritmo 7.10 si evince che non sono più richiesti, ad ogni iterata, il matvec per A e quello per A^\top ma solo due matvec con A .*

Esercizio 7.18 *Determinare il costo computazionale del metodo CGS.*

Esercizio 7.19 *Riscrivere in forma più efficiente l’Algoritmo 7.10, implementando un metodo iterativo puro e controllando eventuali breakdown.*

Esercizio 7.20 *Scrivere una procedura che implementi efficientemente l’Algoritmo 7.10.*

Se il metodo Bi-CG converge monotonicamente, allora questo significa che (vedi (7.29)) $\|\varphi_i(A)\mathbf{r}_0\|$ è una contrazione, al crescere di i . In tal caso, è da aspettarsi che CGS, per il quale i residui sono dati da $\varphi_i^2(A)\mathbf{r}_0$, converga ancora più rapidamente. Questo, generalmente, avviene nel caso di problemi ben condizionati (vedi Figura 7.4). Tuttavia, abbiamo visto (vedi ad esempio Figura 7.2) che talora il residuo del Bi-CG può oscillare grandemente. In tal caso, CGS oscillerà ancora più violentemente, e questo generalmente comporta seri problemi, quando si utilizza l’aritmetica finita. Ad esempio, in Figura 7.5 si riporta la norma del residuo per CGS e Bi-CG applicati allo stesso problema relativo alle Figure 7.1-7.2, da cui si evince come il comportamento del primo metodo sia più irregolare di quello del secondo, proprio in virtù delle oscillazioni di quest’ultimo (Bi-CG). In questo caso, il Bi-CG impiega 755 iterazioni per ridurre la norma del residuo al di sotto di 10^{-6} , mentre il CGS richiede poco meno di 11500 iterazioni per ottenere lo stesso risultato. Per ovviare a questo problema, nella prossima sezione verrà esaminata una ulteriore variante del metodo Bi-CG, anche questa non richiedente il matvec per A^\top .

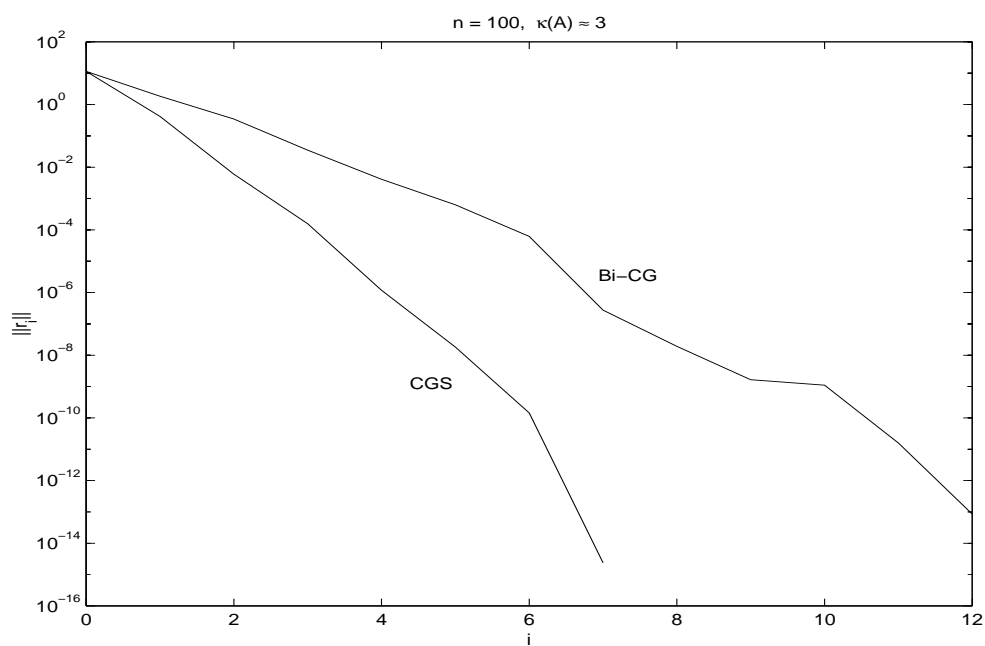


Figura 7.4: CGS e Bi-CG applicati ad un problema ben condizionato.

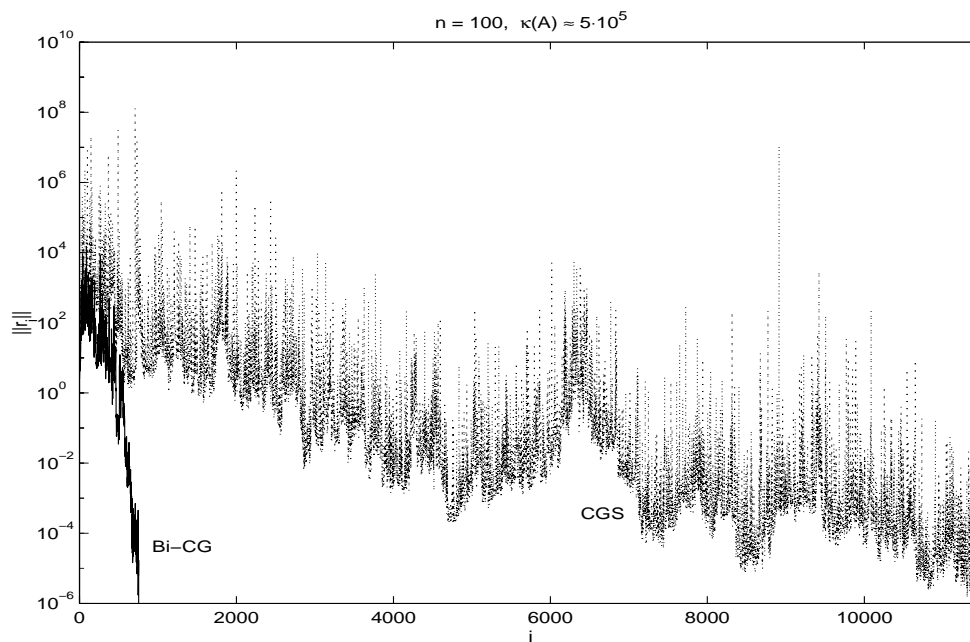


Figura 7.5: CGS e Bi-CG applicati ad un problema mal condizionato.

7.9 Bi-CGstab

Per evitare l'inconveniente di avere residui con una norma elevata, come abbiamo visto può avvenire nel caso del CGS, invece di ricercare i residui e le direzioni nella forma $\varphi_i^2(A)\mathbf{r}_0$ e $\psi_i^2(A)\mathbf{r}_0$, rispettivamente, dove i polinomi $\{\varphi_i\}$ e $\{\psi_i\}$ sono quelli associati ai Bi-CG (vedi (7.29)-(7.30)), li ricercheremo nella forma

$$\mathbf{r}_i = \chi_i(A)\varphi_i(A)\mathbf{r}_0, \quad \mathbf{p}_i = \chi_{i-1}(A)\psi_i(A)\mathbf{r}_0, \quad i = 1, 2, \dots, \quad (7.37)$$

dove

$$\chi_i(z) = (1 - \omega_i z)\chi_{i-1}(z), \quad i = 1, 2, \dots, \quad \chi_0 \equiv 1, \quad (7.38)$$

ed il parametro ω_i è scelto, al passo i -esimo, in modo da minimizzare $\|\mathbf{r}_i\|$. Supporremo, nel seguito, che $\omega_j \neq 0$, per ogni $j \geq 1$: in tal caso, $\chi_i(z)$ ha grado esatto i . Il problema, al solito, è quello di generare i polinomi $\{\varphi_i\}$ e $\{\psi_i\}$, ovvero i parametri (7.31)-(7.32).

Tenendo in conto di quanto all'Esercizio 7.5, si ottiene, tuttavia, che, essendo $\varphi_i(A)\mathbf{r}_0$ ortogonale al sottospazio

$$[\hat{\mathbf{r}}_0, A^\top \hat{\mathbf{r}}_0, \dots, (A^\top)^{i-1} \hat{\mathbf{r}}_0] \equiv [\hat{\mathbf{r}}_0, \chi_1(A^\top) \hat{\mathbf{r}}_0, \dots, \chi_{i-1}(A^\top) \hat{\mathbf{r}}_0],$$

allora (vedi (7.35)):

$$\eta_i \equiv [\varphi_i, \varphi_i] = b_i^{(i)} \hat{\mathbf{r}}_0^\top A^i \varphi_i(A) \mathbf{r}_0,$$

dove il coefficiente $b_i^{(i)}$ è dato da (7.17). Tuttavia, noi possiamo in realtà calcolare

$$\tilde{\eta}_i \equiv [\chi_i, \varphi_i] = \tilde{b}_i^{(i)} \hat{\mathbf{r}}_0^\top A^i \varphi_i(A) \mathbf{r}_0,$$

dove

$$\tilde{b}_i^{(i)} = (-1)^i \prod_{j=1}^i \omega_j \quad (7.39)$$

è il coefficiente principale di $\chi_i(z)$ (vedi (7.38)). Dalle precedenti equazioni, si ricava quindi che

$$\mu_i = \frac{\eta_i}{\eta_{i-1}} = \frac{\tilde{\eta}_i}{\tilde{\eta}_{i-1}} \frac{\hat{\lambda}_i}{\omega_i}.$$

In modo del tutto analogo, sempre dall'Esercizio 7.5, si ha che, essendo $\psi_i(A)\mathbf{r}_0$ A -ortogonale a

$$[\hat{\mathbf{r}}_0, A^\top \hat{\mathbf{r}}_0, \dots, (A^\top)^{i-2} \hat{\mathbf{r}}_0],$$

allora (vedi (7.17))

$$\hat{d}_i \equiv [\psi_i, \theta\psi_i] = b_{i-1}^{(i-1)} \hat{\mathbf{r}}_0^\top A^i \psi_i(A) \mathbf{r}_0,$$

mentre noi possiamo calcolare (vedi (7.39))

$$\tilde{d}_i \equiv [\chi_{i-1}, \theta\psi_i] = \tilde{b}_{i-1}^{(i-1)} \hat{\mathbf{r}}_0^\top A^i \psi_i(A) \mathbf{r}_0.$$

Ne consegue che

$$\hat{\lambda}_i = \frac{\eta_{i-1}}{\hat{d}_i} = \frac{\tilde{\eta}_{i-1}}{\tilde{d}_i}.$$

Rimane da vedere la scelta del parametro ω_i (vedi (7.38)), che serve a minimizzare la norma di \mathbf{r}_i in (7.37). Si ottiene:

$$\begin{aligned} \mathbf{r}_i^\top \mathbf{r}_i &= (\chi_{i-1}(A)\varphi_i(A)\mathbf{r}_0)^\top (I - \omega_i A)^\top (I - \omega_i A) (\chi_{i-1}(A)\varphi_i(A)\mathbf{r}_0) \\ &\equiv \mathbf{r}_{i-\frac{1}{2}}^\top (I + \omega_i^2 A^\top A - 2\omega_i A) \mathbf{r}_{i-\frac{1}{2}}, \end{aligned}$$

che è minimizzata dalla scelta

$$\omega_i = \frac{\mathbf{r}_{i-\frac{1}{2}}^\top \mathbf{t}_i}{\mathbf{t}_i^\top \mathbf{t}_i}, \quad \mathbf{t}_i = A \mathbf{r}_{i-\frac{1}{2}}.$$

Osserviamo che la precedente quantità è definita, a meno che il vettore

$$\mathbf{r}_{i-\frac{1}{2}} = \chi_{i-1}(A)\varphi_i(A)\mathbf{r}_0 = \chi_{i-1}(A)(\varphi_{i-1}(A) - \hat{\lambda}_i A\psi_i(A))\mathbf{r}_0 = \mathbf{r}_{i-1} - \hat{\lambda}_i A\mathbf{p}_i$$

non si annulli. Ma questo altro non è che il residuo del corrispondente passo di Bi-CG, premoltiplicato per $\chi_{i-1}(A)$. Pertanto, se esso è nullo, vuol dire che abbiamo raggiunto la soluzione. Proprio per la caratteristica di rendere più *smooth* il residuo, il metodo appena definito è stato denominato *Bi-CGStab* (*Bi-CG Stabilized*). Esso è descritto dall'Algoritmo 7.11, in cui, al solito, si è utilizzata la scelta (7.36) per $\hat{\mathbf{r}}_0$.

Osservazione 7.12 *Il modo più semplice per ottenere una versione preconditionata del Bi-CGStab è, al solito, quello di effettuare le sostituzioni formali*

$$A \leftarrow CA, \quad \mathbf{b} \leftarrow C\mathbf{b},$$

dove C è la matrice di preconditionamento.

Osservazione 7.13 *Un criterio di arresto basato sulla norma del residuo può controllare, alla generica iterata i -esima, sia $\|\mathbf{r}_i\|$ che $\|\mathbf{r}_{i-\frac{1}{2}}\|$.*

Algoritmo 7.11 *Bi-CGStab.*

sia assegnata una approssimazione iniziale \mathbf{x}_0

calcolo $\mathbf{r}_0 = \mathbf{b} - A\mathbf{x}_0$

inizializzo $\hat{\mathbf{r}}_0 = \mathbf{p}_1 = \mathbf{r}_0$, $\eta_0 = \hat{\mathbf{r}}_0^\top \mathbf{r}_0$

per $i = 1, \dots, n$:

$$\mathbf{v}_i = A\mathbf{p}_i$$

$$\hat{d}_i = \hat{\mathbf{r}}_0^\top \mathbf{v}_i$$

$$\hat{\lambda}_i = \eta_{i-1} / \hat{d}_i$$

$$\mathbf{x}_{i-\frac{1}{2}} = \mathbf{x}_{i-1} + \hat{\lambda}_i \mathbf{p}_i$$

$$\mathbf{r}_{i-\frac{1}{2}} = \mathbf{r}_{i-1} - \hat{\lambda}_i \mathbf{v}_i$$

$$\mathbf{t}_i = A\mathbf{r}_{i-\frac{1}{2}}$$

$$\omega_i = \mathbf{t}_i^\top \mathbf{r}_{i-\frac{1}{2}} / \mathbf{t}_i^\top \mathbf{t}_i$$

$$\mathbf{x}_i = \mathbf{x}_{i-\frac{1}{2}} + \omega_i \mathbf{r}_{i-\frac{1}{2}}$$

$$\mathbf{r}_i = \mathbf{r}_{i-\frac{1}{2}} - \omega_i \mathbf{t}_i$$

$$\eta_i = \hat{\mathbf{r}}_0^\top \mathbf{r}_i$$

$$\mu_i = (\eta_i / \eta_{i-1}) (\hat{\lambda}_i / \omega_i)$$

$$\mathbf{p}_{i+1} = \mathbf{r}_i + \mu_i (\mathbf{p}_i - \omega_i \mathbf{v}_i)$$

fine per

Esercizio 7.21 *Determinare il costo computazionale dell'Algoritmo 7.11.*

Esercizio 7.22 *Scrivere un codice che implementi efficientemente l'Algoritmo 7.11, riformulandolo come un metodo iterativo puro.*

Per concludere, consideriamo l'applicazione del Bi-CGStab allo stesso problema di Figura 7.5. In tal caso, il residuo del Bi-CGStab “stagna” a circa 1600 iterazioni (vedi Figura 7.6), sebbene il suo comportamento risulti essere più favorevole di quello di CGS. Generalmente, la performance di questo metodo migliora grandemente con l'utilizzo di un idoneo preconditionatore.

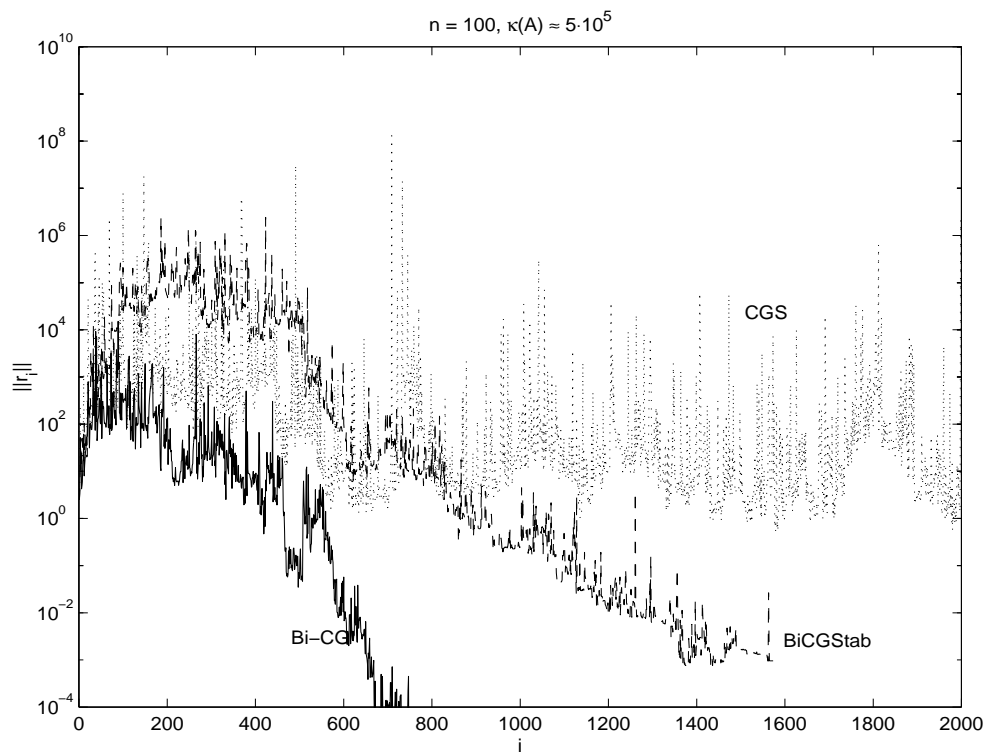


Figura 7.6: CGS, Bi-CGStab e Bi-CG applicati al problema di Figura 7.5.

Appendice A

Memorizzazione di matrici sparse

In questa appendice si descrivono brevemente alcune delle più comuni tecniche di memorizzazione per matrici sparse, con il corrispondente algoritmo per effettuare il matvec. Si sottolinea, comunque, che spesso la memorizzazione di matrici con struttura può richiedere tecniche ibride o ad hoc. Inoltre, sostanziosi miglioramenti della performance possono derivare dall'utilizzo efficiente del linguaggio di programmazione (ad esempio, memorizzare le matrici nella forma più conveniente, rispetto alla allocazione interna utilizzata).

A.1 Memorizzazione compressa per righe

Questo tipo di memorizzazione è indicato per matrici sparse che hanno un (basso) numero di elementi non nulli su ciascuna riga. Sia, dunque:

k = massimo numero di elementi non nulli su ciascuna riga della matrice, sia essa A , di dimensione $n \times n$.

Gli elementi della matrice saranno quindi memorizzati utilizzando due array:

$A(1..n, 1..k)$: $A(i, j)$ contiene il j -esimo elemento significativo (ovvero non nullo) sulla riga i -esima di A . Gli elementi non utilizzati sono posti uguali a 0;

$COL(1..n, 1..k)$: $COL(i, j)$ contiene l'indice di colonna del j -esimo elemento significativo sulla riga i -esima di A .

Osservazione A.1 *Pertanto, se $A = (a_{ij})$, allora $A(i, j)$ conterrà l'elemento $a_{i, COL(i, j)}$.*

Osservazione A.2 *Al fine di minimizzare gli spostamenti da memoria, è conveniente utilizzare la seguente strategia: se*

$$A(i, \ell) \neq 0 \quad e \quad A(i, j) = 0, \quad j = \ell + 1, \dots, k,$$

allora si pone

$$COL(i, j) = COL(i, \ell), \quad j = \ell + 1, \dots, k.$$

Di seguito, si riporta l'algoritmo per effettuare il corrispondente matvec.

Algoritmo A.1 *Matvec $\mathbf{y} = \mathbf{A}\mathbf{x}$: memorizzazione compressa per righe.*

```

per i = 1, ..., n:
    y(i) = 0
    per j = 1, ..., k:
        y(i) = y(i) + A(i,j) * x(COL(i,j))
    fine per
fine per

```

A.2 Memorizzazione compressa per colonne

Questo tipo di memorizzazione è, in un certo senso, complementare a quello precedentemente esaminato. Esso è, infatti, indicato per matrici sparse che hanno un (basso) numero di elementi non nulli su ciascuna colonna. Sia, dunque:

k = massimo numero di elementi non nulli su ciascuna colonna della matrice, sia essa A , di dimensione $n \times n$.

Gli elementi della matrice saranno quindi memorizzati utilizzando due array:

$A(1..k, 1..n)$: $A(i, j)$ contiene l' i -esimo elemento significativo sulla colonna j -esima di A . Gli elementi non utilizzati sono posti uguali a 0;

$ROW(1..k, 1..n)$: $ROW(i, j)$ contiene l'indice di riga dell' i -esimo elemento significativo sulla colonna j -esima di A .

Osservazione A.3 *Pertanto, se $A = (a_{ij})$, allora $A(i, j)$ conterrà l'elemento $a_{ROW(i,j),j}$.*

Osservazione A.4 *Al fine di minimizzare gli spostamenti da memoria, è conveniente utilizzare la seguente strategia: se*

$$A(\ell, j) \neq 0 \quad e \quad A(i, j) = 0, \quad i = \ell + 1, \dots, k,$$

allora si pone

$$ROW(i, j) = ROW(\ell, j), \quad i = \ell + 1, \dots, k.$$

Di seguito, si riporta l'algoritmo per effettuare il corrispondente matvec.

Algoritmo A.2 *Matvec $\mathbf{y} = \mathbf{Ax}$: memorizzazione compressa per colonne.*

```

per i = 1, ..., n:
    y(i) = 0
fine per
per j = 1, ..., n:
    per i = 1, ..., k:
        y(ROW(i,j)) = y(ROW(i,j)) + A(i,j) * x(j)
    fine per
fine per

```

A.3 Memorizzazione compressa per diagonal li

Un caso abbastanza rilevante nelle applicazioni è quello in cui la matrice A ha struttura di sparsità *diagonale*, ovvero i suoi elementi significativi sono situati lungo (poche) diagonal della matrice stessa. Gli esempi dei problemi esaminati nel Capitolo 1 sono, per l'appunto, di questo tipo.

Osserviamo che, se $A = (a_{ij})$, allora consideriamo la sua ν -esima diagonale, con la convenzione che:

- a $\nu = 0$ corrisponde la diagonale principale;

- a $\nu > 0$ corrisponde la ν -esima sopradiagonale;
- a $\nu < 0$ corrisponde la $(-\nu)$ -esima sottodiagonale.

Osserviamo che ν coincide con la differenza $j - i$ degli indici degli elementi a_{ij} lungo la corrispondente diagonale. Pertanto, se $A \in \mathbb{R}^{n \times n}$ ha gli elementi significativi disposti lungo k (generalmente, $k \ll n$) diagonali, potremo memorizzare questi elementi nei due seguenti array:

$A(1..n, 1..k)$: $A(i, r)$ contiene l'elemento sulla riga i -esima lungo la diagonale memorizzata in colonna r ;

$NU(1..k)$: $NU(r)$ contiene l'indice $\nu \equiv j - i$ relativo alla diagonale memorizzata in $A(1..n, r)$.

Di seguito si riporta l'algoritmo per effettuare il corrispondente matvec.

Algoritmo A.3 *Matvec $\mathbf{y} = \mathbf{Ax}$: memorizzazione compressa per diagonali.*

```

per i = 1, ..., n:
    y(i) = 0
fine per
per r = 1, ..., k:
    start = max(1, 1-NU(r))
    end   = min(n, n-NU(r))
    per i = start, ..., end:
        y(i) = y(i) + A(i, r) * x(i+NU(r))
    fine per
fine per

```

Osservazione A.5 *Laddove sia convenientemente applicabile, la memorizzazione compressa per diagonali risulta essere quella piú conveniente, dal punto di vista del costo computazionale, tra quelle esaminate.*

Bibliografia

- [1] S. F. Ashby. Minimax polynomial preconditioning for Hermitian linear systems. *SIAM J. Matrix Anal. Appl.* **12** (1991) 766–789.
- [2] O. Axellson. A survey of preconditioned iterative methods for linear systems of algebraic equations. *BIT* **25** (1985) 166–187.
- [3] S. Barnett. *Matrices, Methods and Applications*. Clarendon Press, Oxford, 1990.
- [4] R. Barret et alii. *Templates for the solution of linear systems: building blocks for iterative methods*. SIAM, Philadelphia, 1994.
- [5] W. L. Briggs. *A multigrid tutorial*. SIAM, Philadelphia, 1987.
- [6] L. Brugnano, D. Trigiante. *Solving differential problems by multistep initial and boundary value methods*. Taylor & Francis, 1998.
- [7] P. Concus, G. H. Golub, G. Meurant. Block preconditioning for the conjugate gradient method. *SIAM J. Sci. Comput.* **6** (1985) 220–252.
- [8] R. W. Freund. A transpose-free quasi-minimal residual algorithm for non-Hermitian linear systems. *SIAM J. Sci. Comput.* **14** (1993) 470–482.
- [9] R. W. Freund, N. M. Nachtigal. QMR: a quasi-minimal residual methods for non-Hermitian linear systems. *Numer. Math.* **60** (1991) 315–339.
- [10] R. W. Freund, N. M. Nachtigal. An implementation of the QMR method based on coupled two-term recurrences. *SIAM J. Sci. Comput.* **15** (1994) 313–337.
- [11] G. A. Geist. Reduction of a general matrix to tridiagonal form. *SIAM J. Matrix Anal. Appl.* **12** (1991) 362–373.
- [12] G. H. Golub, C. Van Loan. *Matrix Computations, 3rd ed.* Johns Hopkins U.P., Baltimore, 1996.

- [13] A. Greenbaum. *Iterative methods for solving linear systems*. SIAM, Philadelphia, 1997.
- [14] M. H. Gutknecht. Variants of BICGSTAB for matrices with complex spectrum. *SIAM J. Sci. Comput.* **14** (1993) 1020–1033.
- [15] V. Lakshmikantham, D. Trigiante. *Theory of Difference Equations: Numerical Methods and Applications*. Academic Press, San Diego, 1988.
- [16] P. Lancaster, M. Tismenetsky. *The Theory of Matrices, 2nd ed.* Academic Press, San Diego, 1985.
- [17] D. G. Luenberger. *Linear and Nonlinear Programming, 2nd ed.* Addison-Wesley, Reading, MA, 1989.
- [18] C. C. Paige, M. A. Saunders. LSQR: an algorithm for sparse linear equations and sparse least squares. *ACM Trans. Math. Software* **8** (1982) 43–71.
- [19] B. N. Parlett. Reduction to tridiagonal form and minimal realizations. *SIAM J. Matrix Anal. Appl.* **13** (1992) 567–593.
- [20] Y. Saad, M. H. Schultz. GMRES: a generalized minimal residual algorithm for solving nonsymmetric linear systems. *SIAM J. Sci. Stat. Comput.* **7** (1986) 856–869.
- [21] P. Sonneveld. CGS, a fast Lanczos-type solver for nonsymmetric linear systems. *SIAM J. Sci. Sta. Comput.* **10** (1989) 36–52.
- [22] D. Trigiante. *Dispense del corso di Analisi Numerica*, Corso estivo SMI, Perugia, 1989.
- [23] H. A. Van der Vorst. BI-CGSTAB: a fast and smoothly converging variant of BI-CG for the solution of nonsymmetric linear systems. *SIAM J. Sci. Comput.* **13** (1992) 631–644.
- [24] R. S. Varga. *Matrix iterative analysis*. Prentice Hall, Englewood Cliffs, NJ, 1962.
- [25] D. M. Young. *Iterative solution of large linear systems*. Academic Press, New York, 1971.

Il presente volume ha l'obiettivo di fornire le nozioni principali riguardo ai metodi iterativi per la risoluzione di sistemi di equazioni lineari sparsi di grandi dimensioni.

La trattazione, sebbene non esaustiva, ha comunque l'obiettivo di fornire, in un contesto il più possibile omogeneo ed autoconsistente, le idee principali che hanno ispirato le tecniche di risoluzione più note.

Il materiale presentato è sufficiente a coprire i contenuti di un modulo di 40-45 ore di lezione. Inoltre, gli esercizi proposti possono essere argomento di ulteriori ore di esercitazione. Esso è convenientemente utilizzabile per un corso avanzato, o di dottorato, di Matematica e/o Informatica. In alternativa, i primi capitoli possono essere utilizzati anche all'interno di corsi più introduttivi di Calcolo Numerico o Analisi Numerica.

Luigi Brugnano è nato a Brindisi il 16.12.1962. Si è laureato in Scienze dell'Informazione nel 1985 presso l'Università degli Studi di Bari. Nel 1990 è ricercatore di Analisi Numerica presso la stessa Università. Nel 1992 è professore associato di Analisi Numerica presso l'Università degli Studi di Firenze e, dal 2001, professore ordinario di Analisi Numerica presso la stessa Università.

Cecilia Magherini (22.6.1972–19.11.2020[†]) si è laureata in Scienze dell'Informazione nel 1999 presso l'Università degli Studi di Firenze. Negli anni 1999-2000 è stata borsista presso il CINECA, dove si è occupata di calcolo parallelo. Ha quindi conseguito il Dottorato di Ricerca in Matematica (XV ciclo), presso l'Università degli Studi di Firenze, con una tesi riguardante metodi e software numerici per equazioni differenziali. Dal 2010 è stata prima ricercatore e poi, dal 2020, professore associato di Analisi Numerica presso l'Università di Pisa.
